

ÍNDICE

1. GEOMETRÍA.....	2
1.1. Barras.....	2
1.1.1. Materiales utilizados.....	2
1.1.2. Descripción.....	2
1.1.3. Características mecánicas.....	2
1.1.4. Tabla de medición.....	3
1.1.5. Resumen de medición.....	3
1.1.6. Medición de las presillas.....	3
1.1.7. Medición de superficies.....	3
2. CARGAS.....	3
2.1. Barras.....	3
3. RESULTADOS.....	4
3.1. Barras.....	4
3.1.1. Esfuerzos.....	4
3.1.2. Resistencia.....	18
3.1.3. Flechas.....	19
3.1.4. Comprobaciones E.L.U. (Completo).....	20
3.1.5. Comprobaciones E.L.U. (Resumido).....	80



Listados

FORJADORADIOQIROFANOCUBIERTADEF20220908

Fecha: 08/09/22

1. GEOMETRÍA

1.1. Barras

1.1.1. Materiales utilizados

Materiales utilizados							
Material		E (kp/cm ²)	ν	G (kp/cm ²)	f _y (kp/cm ²)	α _t (m/m°C)	γ (t/m ³)
Tipo	Designación						
Acero laminado	S275	2140672.8	0.300	825688.1	2803.3	0.000012	7.850
Notación: E: Módulo de elasticidad ν: Módulo de Poisson G: Módulo de cortadura f _y : Límite elástico α _t : Coeficiente de dilatación γ: Peso específico							

1.1.2. Descripción

Descripción									
Material		Barra (Ni/Nf)	Pieza (Ni/Nf)	Perfil(Serie)	Longitud (m)	β_{xy}	β_{xz}	Lb _{Sup.} (m)	Lb _{Inf.} (m)
Tipo	Designación								
Acero laminado	S275	N42/N18	N42/N18	2xUPN 100([=]) (UPN)	3.740	0.70	0.70	-	-
		N43/N19	N43/N19	2xUPN 100([=]) (UPN)	3.740	0.70	0.70	-	-
		N46/N23	N46/N23	2xUPN 100([=]) (UPN)	3.740	0.70	0.70	-	-
		N47/N24	N47/N24	2xUPN 100([=]) (UPN)	3.740	0.70	0.70	-	-
		N50/N28	N50/N28	2xUPN 100([=]) (UPN)	3.740	0.70	0.70	-	-
		N51/N29	N51/N29	2xUPN 100([=]) (UPN)	3.740	0.70	0.70	-	-
Notación: Ni: Nudo inicial Nf: Nudo final β_{xy} : Coeficiente de pandeo en el plano 'XY' β_{xz} : Coeficiente de pandeo en el plano 'XZ' Lb _{Sup.} : Separación entre arriostramientos del ala superior Lb _{Inf.} : Separación entre arriostramientos del ala inferior									

1.1.3. Características mecánicas

Tipos de pieza	
Ref.	Piezas
1	N42/N18, N43/N19, N46/N23, N47/N24, N50/N28 y N51/N29

Características mecánicas									
Material		Ref.	Descripción	A (cm ²)	A _{vy} (cm ²)	A _{vz} (cm ²)	I _{yy} (cm ⁴)	I _{zz} (cm ⁴)	It (cm ⁴)
Tipo	Designación								
Acero laminado	S275	1	UPN 100, Doble en cajón con presillas, (UPN) Separación entre los perfiles: 180.0 / 180.0 mm	27.00	12.75	8.96	412.00	4243.67	5.62
Notación: Ref.: Referencia A: Área de la sección transversal A _{vy} : Área de cortante de la sección según el eje local 'Y' A _{vz} : Área de cortante de la sección según el eje local 'Z' I _{yy} : Inercia de la sección alrededor del eje local 'Y' I _{zz} : Inercia de la sección alrededor del eje local 'Z' It: Inercia a torsión Las características mecánicas de las piezas corresponden a la sección en el punto medio de las mismas.									



Listados

FORJADORADIOQIROFANOCUBIERTADEF20220908

Fecha: 08/09/22

1.1.4. Tabla de medición

Tabla de medición						
Material		Pieza (Ni/Nf)	Perfil(Serie)	Longitud (m)	Volumen (m³)	Peso (kg)
Tipo	Designación					
Acero laminado	S275	N42/N18	2xUPN 100([=]) (UPN)	3.740	0.010	79.27
		N43/N19	2xUPN 100([=]) (UPN)	3.740	0.010	79.27
		N46/N23	2xUPN 100([=]) (UPN)	3.740	0.010	79.27
		N47/N24	2xUPN 100([=]) (UPN)	3.740	0.010	79.27
		N50/N28	2xUPN 100([=]) (UPN)	3.740	0.010	79.27
		N51/N29	2xUPN 100([=]) (UPN)	3.740	0.010	79.27
Notación: Ni: Nudo inicial Nf: Nudo final						

1.1.5. Resumen de medición

Resumen de medición												
Material		Serie	Perfil	Longitud			Volumen			Peso		
Tipo	Designación			Perfil (m)	Serie (m)	Material (m)	Perfil (m³)	Serie (m³)	Material (m³)	Perfil (kg)	Serie (kg)	Material (kg)
Acero laminado	S275	UPN	UPN 100, Doble en cajón con presillas	22.440			0.061			475.62		
					22.440	22.440		0.061	0.061		475.62	475.62

1.1.6. Medición de las presillas

Medición empresillado					
Acero	Espesor (mm)	Canto (mm)	Longitud (m)	Peso (kg)	Total (kg)
S275	7	70	20.160	77.5	
					77.5
					77.5

1.1.7. Medición de superficies

Acero laminado: Medición de las superficies a pintar				
Serie	Perfil	Superficie unitaria (m²/m)	Longitud (m)	Superficie (m²)
UPN	UPN 100, Doble en cajón con presillas	0.776	22.440	17.413
Total				17.413
Notas: Dado que no se define el tipo de empresillado, no se ha tenido en cuenta la superficie de las presillas en la medición.				

2. CARGAS

2.1. Barras

Referencias:

'P1', 'P2':

- Cargas puntuales, uniformes, en faja y momentos puntuales: 'P1' es el valor de la carga. 'P2' no se utiliza.
- Cargas trapeziales: 'P1' es el valor de la carga en el punto donde comienza (L1) y 'P2' es el valor de la carga en el punto donde termina (L2).
- Cargas triangulares: 'P1' es el valor máximo de la carga. 'P2' no se utiliza.
- Incrementos de temperatura: 'P1' y 'P2' son los valores de la temperatura en las caras exteriores o paramentos de la pieza. La orientación de la variación del incremento de



Listados

FORJADORADIOQIROFANOCUBIERTADEF20220908

Fecha: 08/09/22

temperatura sobre la sección transversal dependerá de la dirección seleccionada.

'L1', 'L2':

- Cargas y momentos puntuales: 'L1' es la distancia entre el nudo inicial de la barra y la posición donde se aplica la carga. 'L2' no se utiliza.
- Cargas trapeziales, en faja, y triangulares: 'L1' es la distancia entre el nudo inicial de la barra y la posición donde comienza la carga, 'L2' es la distancia entre el nudo inicial de la barra y la posición donde termina la carga.

Unidades:

- Cargas puntuales: t
- Momentos puntuales: t·m.
- Cargas uniformes, en faja, triangulares y trapeziales: t/m.
- Incrementos de temperatura: °C.

Cargas en barras										
Barra	Hipótesis	Tipo	Valores		Posición		Dirección			
			P1	P2	L1 (m)	L2 (m)	Ejes	X	Y	Z
N42/N18	Peso propio	Uniforme	0.021	-	-	-	Globales	0.000	0.000	-1.000
N43/N19	Peso propio	Uniforme	0.021	-	-	-	Globales	0.000	0.000	-1.000
N46/N23	Peso propio	Uniforme	0.021	-	-	-	Globales	0.000	0.000	-1.000
N47/N24	Peso propio	Uniforme	0.021	-	-	-	Globales	0.000	0.000	-1.000
N50/N28	Peso propio	Uniforme	0.021	-	-	-	Globales	0.000	0.000	-1.000
N51/N29	Peso propio	Uniforme	0.021	-	-	-	Globales	0.000	0.000	-1.000

3. RESULTADOS

3.1. Barras

3.1.1. Esfuerzos

Referencias:

N: Esfuerzo axil (t)

Vy: Esfuerzo cortante según el eje local Y de la barra. (t)

Vz: Esfuerzo cortante según el eje local Z de la barra. (t)

Mt: Momento torsor (t·m)

My: Momento flector en el plano 'XZ' (giro de la sección respecto al eje local 'Y' de la barra). (t·m)

Mz: Momento flector en el plano 'XY' (giro de la sección respecto al eje local 'Z' de la barra). (t·m)

3.1.1.1. Hipótesis

Esfuerzos en barras, por hipótesis											
Barra	Hipótesis	Esfuerzo	Posiciones en la barra								
			0.000 m	0.468 m	0.935 m	1.403 m	1.870 m	2.338 m	2.805 m	3.273 m	3.740 m
N42/N18	Peso propio	N	-14.932	-14.922	-14.912	-14.903	-14.893	-14.883	-14.873	-14.863	-14.853
		Vy	0.000	0.000	0.000	0.000	0.000	0.000	0.000	0.000	0.000
		Vz	0.153	0.153	0.153	0.153	0.153	0.153	0.153	0.153	0.153
		Mt	0.000	0.000	0.000	0.000	0.000	0.000	0.000	0.000	0.000
		My	0.184	0.112	0.041	-0.030	-0.102	-0.173	-0.244	-0.316	-0.387
		Mz	0.000	0.000	0.000	0.000	0.000	0.000	0.000	0.000	0.000
	Q 1	N	-2.009	-2.009	-2.009	-2.009	-2.009	-2.009	-2.009	-2.009	-2.009
		Vy	0.000	0.000	0.000	0.000	0.000	0.000	0.000	0.000	0.000
		Vz	0.024	0.024	0.024	0.024	0.024	0.024	0.024	0.024	0.024
		Mt	0.000	0.000	0.000	0.000	0.000	0.000	0.000	0.000	0.000
		My	0.028	0.017	0.006	-0.005	-0.016	-0.027	-0.038	-0.049	-0.060
		Mz	0.000	0.000	0.000	0.000	0.000	0.000	0.000	0.000	0.000
	V 1 (1)	N	0.000	0.000	0.000	0.000	0.000	0.000	0.000	0.000	0.000
		Vy	0.001	0.001	0.001	0.001	0.001	0.001	0.001	0.001	0.001



Listados

FORJADORADIOQIROFANOCUBIERTADEF20220908

Fecha: 08/09/22

Esfuerzos en barras, por hipótesis											
Barra	Hipótesis	Esfuerzo	Posiciones en la barra								
			0.000 m	0.468 m	0.935 m	1.403 m	1.870 m	2.338 m	2.805 m	3.273 m	3.740 m
		Vz	0.000	0.000	0.000	0.000	0.000	0.000	0.000	0.000	0.000
		Mt	0.000	0.000	0.000	0.000	0.000	0.000	0.000	0.000	0.000
		My	0.001	0.001	0.000	0.000	0.000	0.000	0.000	-0.001	-0.001
		Mz	0.004	0.004	0.003	0.003	0.002	0.002	0.001	0.001	0.000
	V 1 (2)	N	-0.048	-0.048	-0.048	-0.048	-0.048	-0.048	-0.048	-0.048	-0.048
		Vy	0.000	0.000	0.000	0.000	0.000	0.000	0.000	0.000	0.000
		Vz	-0.114	-0.114	-0.114	-0.114	-0.114	-0.114	-0.114	-0.114	-0.114
		Mt	0.000	0.000	0.000	0.000	0.000	0.000	0.000	0.000	0.000
		My	-0.214	-0.161	-0.108	-0.055	-0.002	0.052	0.105	0.158	0.211
		Mz	0.000	0.000	0.000	0.000	0.000	0.000	0.000	0.000	0.000
	N 1	N	-1.205	-1.205	-1.205	-1.205	-1.205	-1.205	-1.205	-1.205	-1.205
		Vy	0.000	0.000	0.000	0.000	0.000	0.000	0.000	0.000	0.000
		Vz	0.014	0.014	0.014	0.014	0.014	0.014	0.014	0.014	0.014
		Mt	0.000	0.000	0.000	0.000	0.000	0.000	0.000	0.000	0.000
		My	0.017	0.010	0.004	-0.003	-0.009	-0.016	-0.023	-0.029	-0.036
		Mz	0.000	0.000	0.000	0.000	0.000	0.000	0.000	0.000	0.000

Esfuerzos en barras, por hipótesis											
Barra	Hipótesis	Esfuerzo	Posiciones en la barra								
			0.000 m	0.468 m	0.935 m	1.403 m	1.870 m	2.338 m	2.805 m	3.273 m	3.740 m
N43/N19	Peso propio	N	-10.953	-10.943	-10.933	-10.923	-10.913	-10.903	-10.893	-10.884	-10.874
		Vy	0.000	0.000	0.000	0.000	0.000	0.000	0.000	0.000	0.000
		Vz	-0.098	-0.098	-0.098	-0.098	-0.098	-0.098	-0.098	-0.098	-0.098
		Mt	0.000	0.000	0.000	0.000	0.000	0.000	0.000	0.000	0.000
		My	-0.127	-0.081	-0.035	0.010	0.056	0.102	0.148	0.194	0.240
		Mz	-0.001	-0.001	-0.001	-0.001	0.000	0.000	0.000	0.000	0.000
	Q 1	N	-1.473	-1.473	-1.473	-1.473	-1.473	-1.473	-1.473	-1.473	-1.473
		Vy	0.000	0.000	0.000	0.000	0.000	0.000	0.000	0.000	0.000
		Vz	-0.015	-0.015	-0.015	-0.015	-0.015	-0.015	-0.015	-0.015	-0.015
		Mt	0.000	0.000	0.000	0.000	0.000	0.000	0.000	0.000	0.000
		My	-0.020	-0.013	-0.005	0.002	0.009	0.016	0.023	0.030	0.037
		Mz	0.000	0.000	0.000	0.000	0.000	0.000	0.000	0.000	0.000
	V 1 (1)	N	0.000	0.000	0.000	0.000	0.000	0.000	0.000	0.000	0.000
		Vy	-0.002	-0.002	-0.002	-0.002	-0.002	-0.002	-0.002	-0.002	-0.002
		Vz	0.000	0.000	0.000	0.000	0.000	0.000	0.000	0.000	0.000
		Mt	0.000	0.000	0.000	0.000	0.000	0.000	0.000	0.000	0.000
		My	0.001	0.001	0.000	0.000	0.000	0.000	0.000	-0.001	-0.001
		Mz	-0.006	-0.005	-0.005	-0.004	-0.003	-0.002	-0.002	-0.001	0.000
	V 1 (2)	N	0.065	0.065	0.065	0.065	0.065	0.065	0.065	0.065	0.065
		Vy	-0.006	-0.006	-0.006	-0.006	-0.006	-0.006	-0.006	-0.006	-0.006
		Vz	-0.113	-0.113	-0.113	-0.113	-0.113	-0.113	-0.113	-0.113	-0.113
		Mt	0.000	0.000	0.000	0.000	0.000	0.000	0.000	0.000	0.000
		My	-0.213	-0.160	-0.108	-0.055	-0.002	0.051	0.103	0.156	0.209
		Mz	-0.021	-0.018	-0.016	-0.013	-0.010	-0.008	-0.005	-0.003	0.000
	N 1	N	-0.884	-0.884	-0.884	-0.884	-0.884	-0.884	-0.884	-0.884	-0.884
		Vy	0.000	0.000	0.000	0.000	0.000	0.000	0.000	0.000	0.000
		Vz	-0.009	-0.009	-0.009	-0.009	-0.009	-0.009	-0.009	-0.009	-0.009
		Mt	0.000	0.000	0.000	0.000	0.000	0.000	0.000	0.000	0.000
		My	-0.012	-0.008	-0.003	0.001	0.005	0.009	0.014	0.018	0.022
		Mz	0.000	0.000	0.000	0.000	0.000	0.000	0.000	0.000	0.000

Esfuerzos en barras, por hipótesis											
Barra	Hipótesis	Esfuerzo	Posiciones en la barra								
			0.000 m	0.468 m	0.935 m	1.403 m	1.870 m	2.338 m	2.805 m	3.273 m	3.740 m
N46/N23	Peso propio	N	-15.430	-15.420	-15.410	-15.400	-15.391	-15.381	-15.371	-15.361	-15.351
		Vy	0.000	0.000	0.000	0.000	0.000	0.000	0.000	0.000	0.000



Listados

FORJADORADIOQIROFANOCUBIERTADEF20220908

Fecha: 08/09/22

Esfuerzos en barras, por hipótesis											
Barra	Hipótesis	Esfuerzo	Posiciones en la barra								
			0.000 m	0.468 m	0.935 m	1.403 m	1.870 m	2.338 m	2.805 m	3.273 m	3.740 m
		Vz	0.152	0.152	0.152	0.152	0.152	0.152	0.152	0.152	0.152
		Mt	0.000	0.000	0.000	0.000	0.000	0.000	0.000	0.000	0.000
		My	0.183	0.112	0.041	-0.030	-0.102	-0.173	-0.244	-0.315	-0.386
		Mz	0.000	0.000	0.000	0.000	0.000	0.000	0.000	0.000	0.000
	Q 1	N	-2.009	-2.009	-2.009	-2.009	-2.009	-2.009	-2.009	-2.009	-2.009
		Vy	0.000	0.000	0.000	0.000	0.000	0.000	0.000	0.000	0.000
		Vz	0.023	0.023	0.023	0.023	0.023	0.023	0.023	0.023	0.023
		Mt	0.000	0.000	0.000	0.000	0.000	0.000	0.000	0.000	0.000
		My	0.028	0.017	0.006	-0.005	-0.016	-0.027	-0.038	-0.049	-0.060
		Mz	0.000	0.000	0.000	0.000	0.000	0.000	0.000	0.000	0.000
	V 1 (1)	N	0.000	0.000	0.000	0.000	0.000	0.000	0.000	0.000	0.000
		Vy	0.002	0.002	0.002	0.002	0.002	0.002	0.002	0.002	0.002
		Vz	0.000	0.000	0.000	0.000	0.000	0.000	0.000	0.000	0.000
		Mt	0.000	0.000	0.000	0.000	0.000	0.000	0.000	0.000	0.000
		My	0.000	0.000	0.000	0.000	0.000	0.000	0.000	0.000	0.000
		Mz	0.006	0.005	0.004	0.004	0.003	0.002	0.001	0.001	0.000
	V 1 (2)	N	-0.050	-0.050	-0.050	-0.050	-0.050	-0.050	-0.050	-0.050	-0.050
		Vy	0.000	0.000	0.000	0.000	0.000	0.000	0.000	0.000	0.000
		Vz	-0.121	-0.121	-0.121	-0.121	-0.121	-0.121	-0.121	-0.121	-0.121
		Mt	0.000	0.000	0.000	0.000	0.000	0.000	0.000	0.000	0.000
		My	-0.229	-0.172	-0.115	-0.058	-0.002	0.055	0.112	0.168	0.225
		Mz	0.000	0.000	0.000	0.000	0.000	0.000	0.000	0.000	0.000
	N 1	N	-1.205	-1.205	-1.205	-1.205	-1.205	-1.205	-1.205	-1.205	-1.205
		Vy	0.000	0.000	0.000	0.000	0.000	0.000	0.000	0.000	0.000
		Vz	0.014	0.014	0.014	0.014	0.014	0.014	0.014	0.014	0.014
		Mt	0.000	0.000	0.000	0.000	0.000	0.000	0.000	0.000	0.000
		My	0.017	0.010	0.004	-0.003	-0.009	-0.016	-0.023	-0.029	-0.036
		Mz	0.000	0.000	0.000	0.000	0.000	0.000	0.000	0.000	0.000

Esfuerzos en barras, por hipótesis											
Barra	Hipótesis	Esfuerzo	Posiciones en la barra								
			0.000 m	0.468 m	0.935 m	1.403 m	1.870 m	2.338 m	2.805 m	3.273 m	3.740 m
N47/N24	Peso propio	N	-11.254	-11.244	-11.234	-11.225	-11.215	-11.205	-11.195	-11.185	-11.175
		Vy	0.000	0.000	0.000	0.000	0.000	0.000	0.000	0.000	0.000
		Vz	-0.098	-0.098	-0.098	-0.098	-0.098	-0.098	-0.098	-0.098	-0.098
		Mt	0.000	0.000	0.000	0.000	0.000	0.000	0.000	0.000	0.000
		My	-0.128	-0.082	-0.036	0.010	0.056	0.102	0.148	0.194	0.240
		Mz	0.000	0.000	0.000	0.000	0.000	0.000	0.000	0.000	0.000
	Q 1	N	-1.473	-1.473	-1.473	-1.473	-1.473	-1.473	-1.473	-1.473	-1.473
		Vy	0.000	0.000	0.000	0.000	0.000	0.000	0.000	0.000	0.000
		Vz	-0.015	-0.015	-0.015	-0.015	-0.015	-0.015	-0.015	-0.015	-0.015
		Mt	0.000	0.000	0.000	0.000	0.000	0.000	0.000	0.000	0.000
		My	-0.020	-0.013	-0.006	0.002	0.009	0.016	0.023	0.030	0.037
		Mz	0.000	0.000	0.000	0.000	0.000	0.000	0.000	0.000	0.000
	V 1 (1)	N	0.000	0.000	0.000	0.000	0.000	0.000	0.000	0.000	0.000
		Vy	-0.003	-0.003	-0.003	-0.003	-0.003	-0.003	-0.003	-0.003	-0.003
		Vz	0.000	0.000	0.000	0.000	0.000	0.000	0.000	0.000	0.000
		Mt	0.000	0.000	0.000	0.000	0.000	0.000	0.000	0.000	0.000
		My	0.000	0.000	0.000	0.000	0.000	0.000	0.000	0.000	0.000
		Mz	-0.011	-0.010	-0.008	-0.007	-0.006	-0.004	-0.003	-0.001	0.000
	V 1 (2)	N	0.064	0.064	0.064	0.064	0.064	0.064	0.064	0.064	0.064
		Vy	0.000	0.000	0.000	0.000	0.000	0.000	0.000	0.000	0.000
		Vz	-0.121	-0.121	-0.121	-0.121	-0.121	-0.121	-0.121	-0.121	-0.121
		Mt	0.000	0.000	0.000	0.000	0.000	0.000	0.000	0.000	0.000
		My	-0.228	-0.171	-0.115	-0.059	-0.002	0.054	0.111	0.167	0.223
		Mz	0.000	0.000	0.000	0.000	0.000	0.000	0.000	0.000	0.000
	N 1	N	-0.884	-0.884	-0.884	-0.884	-0.884	-0.884	-0.884	-0.884	-0.884



Listados

FORJADORADIOQIROFANOCUBIERTADEF20220908

Fecha: 08/09/22

Esfuerzos en barras, por hipótesis											
Barra	Hipótesis	Esfuerzo	Posiciones en la barra								
			0.000 m	0.468 m	0.935 m	1.403 m	1.870 m	2.338 m	2.805 m	3.273 m	3.740 m
		Vy	0.000	0.000	0.000	0.000	0.000	0.000	0.000	0.000	0.000
		Vz	-0.009	-0.009	-0.009	-0.009	-0.009	-0.009	-0.009	-0.009	-0.009
		Mt	0.000	0.000	0.000	0.000	0.000	0.000	0.000	0.000	0.000
		My	-0.012	-0.008	-0.003	0.001	0.005	0.009	0.014	0.018	0.022
		Mz	0.000	0.000	0.000	0.000	0.000	0.000	0.000	0.000	0.000

Esfuerzos en barras, por hipótesis											
Barra	Hipótesis	Esfuerzo	Posiciones en la barra								
			0.000 m	0.468 m	0.935 m	1.403 m	1.870 m	2.338 m	2.805 m	3.273 m	3.740 m
N50/N28	Peso propio	N	-14.735	-14.725	-14.715	-14.705	-14.695	-14.685	-14.676	-14.666	-14.656
		Vy	0.000	0.000	0.000	0.000	0.000	0.000	0.000	0.000	0.000
		Vz	0.152	0.152	0.152	0.152	0.152	0.152	0.152	0.152	0.152
		Mt	0.000	0.000	0.000	0.000	0.000	0.000	0.000	0.000	0.000
		My	0.183	0.112	0.041	-0.030	-0.102	-0.173	-0.244	-0.315	-0.386
		Mz	0.000	0.000	0.000	0.000	0.000	0.000	0.000	0.000	0.000
	Q 1	N	-2.009	-2.009	-2.009	-2.009	-2.009	-2.009	-2.009	-2.009	-2.009
		Vy	0.000	0.000	0.000	0.000	0.000	0.000	0.000	0.000	0.000
		Vz	0.024	0.024	0.024	0.024	0.024	0.024	0.024	0.024	0.024
		Mt	0.000	0.000	0.000	0.000	0.000	0.000	0.000	0.000	0.000
		My	0.028	0.017	0.006	-0.005	-0.016	-0.027	-0.038	-0.049	-0.060
		Mz	0.000	0.000	0.000	0.000	0.000	0.000	0.000	0.000	0.000
	V 1 (1)	N	0.000	0.000	0.000	0.000	0.000	0.000	0.000	0.000	0.000
		Vy	0.002	0.002	0.002	0.002	0.002	0.002	0.002	0.002	0.002
		Vz	0.000	0.000	0.000	0.000	0.000	0.000	0.000	0.000	0.000
		Mt	0.000	0.000	0.000	0.000	0.000	0.000	0.000	0.000	0.000
		My	0.000	0.000	0.000	0.000	0.000	0.000	0.000	0.000	0.000
		Mz	0.006	0.005	0.004	0.004	0.003	0.002	0.001	0.001	0.000
	V 1 (2)	N	-0.050	-0.050	-0.050	-0.050	-0.050	-0.050	-0.050	-0.050	-0.050
		Vy	0.000	0.000	0.000	0.000	0.000	0.000	0.000	0.000	0.000
		Vz	-0.121	-0.121	-0.121	-0.121	-0.121	-0.121	-0.121	-0.121	-0.121
		Mt	0.000	0.000	0.000	0.000	0.000	0.000	0.000	0.000	0.000
		My	-0.229	-0.172	-0.115	-0.058	-0.002	0.055	0.112	0.168	0.225
		Mz	0.000	0.000	0.000	0.000	0.000	0.000	0.000	0.000	0.000
	N 1	N	-1.205	-1.205	-1.205	-1.205	-1.205	-1.205	-1.205	-1.205	-1.205
		Vy	0.000	0.000	0.000	0.000	0.000	0.000	0.000	0.000	0.000
		Vz	0.014	0.014	0.014	0.014	0.014	0.014	0.014	0.014	0.014
		Mt	0.000	0.000	0.000	0.000	0.000	0.000	0.000	0.000	0.000
		My	0.017	0.010	0.004	-0.003	-0.009	-0.016	-0.023	-0.029	-0.036
		Mz	0.000	0.000	0.000	0.000	0.000	0.000	0.000	0.000	0.000

Esfuerzos en barras, por hipótesis											
Barra	Hipótesis	Esfuerzo	Posiciones en la barra								
			0.000 m	0.468 m	0.935 m	1.403 m	1.870 m	2.338 m	2.805 m	3.273 m	3.740 m
N51/N29	Peso propio	N	-11.050	-11.040	-11.030	-11.021	-11.011	-11.001	-10.991	-10.981	-10.971
		Vy	0.000	0.000	0.000	0.000	0.000	0.000	0.000	0.000	0.000
		Vz	-0.098	-0.098	-0.098	-0.098	-0.098	-0.098	-0.098	-0.098	-0.098
		Mt	0.000	0.000	0.000	0.000	0.000	0.000	0.000	0.000	0.000
		My	-0.128	-0.082	-0.036	0.010	0.056	0.102	0.148	0.194	0.240
		Mz	0.000	0.000	0.000	0.000	0.000	0.000	0.000	0.000	0.000
	Q 1	N	-1.473	-1.473	-1.473	-1.473	-1.473	-1.473	-1.473	-1.473	-1.473
		Vy	0.000	0.000	0.000	0.000	0.000	0.000	0.000	0.000	0.000
		Vz	-0.015	-0.015	-0.015	-0.015	-0.015	-0.015	-0.015	-0.015	-0.015
		Mt	0.000	0.000	0.000	0.000	0.000	0.000	0.000	0.000	0.000
		My	-0.020	-0.013	-0.005	0.002	0.009	0.016	0.023	0.030	0.037
		Mz	0.000	0.000	0.000	0.000	0.000	0.000	0.000	0.000	0.000
	V 1 (1)	N	0.000	0.000	0.000	0.000	0.000	0.000	0.000	0.000	0.000



Listados

FORJADORADIOQIROFANOCUBIERTADEF20220908

Fecha: 08/09/22

Esfuerzos en barras, por hipótesis											
Barra	Hipótesis	Esfuerzo	Posiciones en la barra								
			0.000 m	0.468 m	0.935 m	1.403 m	1.870 m	2.338 m	2.805 m	3.273 m	3.740 m
		Vy	-0.003	-0.003	-0.003	-0.003	-0.003	-0.003	-0.003	-0.003	-0.003
		Vz	0.000	0.000	0.000	0.000	0.000	0.000	0.000	0.000	0.000
		Mt	0.000	0.000	0.000	0.000	0.000	0.000	0.000	0.000	0.000
		My	0.000	0.000	0.000	0.000	0.000	0.000	0.000	0.000	0.000
		Mz	-0.010	-0.009	-0.008	-0.006	-0.005	-0.004	-0.003	-0.001	0.000
	V 1 (2)	N	0.064	0.064	0.064	0.064	0.064	0.064	0.064	0.064	0.064
		Vy	0.000	0.000	0.000	0.000	0.000	0.000	0.000	0.000	0.000
		Vz	-0.121	-0.121	-0.121	-0.121	-0.121	-0.121	-0.121	-0.121	-0.121
		Mt	0.000	0.000	0.000	0.000	0.000	0.000	0.000	0.000	0.000
		My	-0.228	-0.171	-0.115	-0.059	-0.002	0.054	0.111	0.167	0.223
		Mz	0.000	0.000	0.000	0.000	0.000	0.000	0.000	0.000	0.000
	N 1	N	-0.884	-0.884	-0.884	-0.884	-0.884	-0.884	-0.884	-0.884	-0.884
		Vy	0.000	0.000	0.000	0.000	0.000	0.000	0.000	0.000	0.000
		Vz	-0.009	-0.009	-0.009	-0.009	-0.009	-0.009	-0.009	-0.009	-0.009
		Mt	0.000	0.000	0.000	0.000	0.000	0.000	0.000	0.000	0.000
		My	-0.012	-0.008	-0.003	0.001	0.005	0.009	0.014	0.018	0.022
		Mz	0.000	0.000	0.000	0.000	0.000	0.000	0.000	0.000	0.000

3.1.1.2. Combinaciones

Esfuerzos en barras, por combinación												
Barra	Combinación		Esfuerzo	Posiciones en la barra								
	Tipo	Descripción		0.000 m	0.468 m	0.935 m	1.403 m	1.870 m	2.338 m	2.805 m	3.273 m	3.740 m
N42/N18	Acero laminado	0.8-PP	N	-11.946	-11.938	-11.930	-11.922	-11.914	-11.906	-11.898	-11.890	-11.882
			Vy	0.000	0.000	0.000	0.000	0.000	0.000	0.000	0.000	0.000
			Vz	0.122	0.122	0.122	0.122	0.122	0.122	0.122	0.122	0.122
			Mt	0.000	0.000	0.000	0.000	0.000	0.000	0.000	0.000	0.000
			My	0.147	0.090	0.033	-0.024	-0.081	-0.138	-0.195	-0.253	-0.310
			Mz	0.000	0.000	0.000	0.000	0.000	0.000	0.000	0.000	0.000
		1.35-PP	N	-20.159	-20.145	-20.132	-20.118	-20.105	-20.092	-20.078	-20.065	-20.052
			Vy	0.000	0.000	0.000	0.000	0.000	0.000	0.000	0.000	0.000
			Vz	0.206	0.206	0.206	0.206	0.206	0.206	0.206	0.206	0.206
			Mt	0.000	0.000	0.000	0.000	0.000	0.000	0.000	0.000	0.000
			My	0.248	0.152	0.055	-0.041	-0.137	-0.234	-0.330	-0.426	-0.522
			Mz	0.000	0.000	0.000	0.000	0.000	0.000	0.000	0.000	0.000
		0.8-PP+1.5-V1(1)	N	-11.946	-11.938	-11.930	-11.922	-11.914	-11.906	-11.898	-11.890	-11.882
			Vy	0.002	0.002	0.002	0.002	0.002	0.002	0.002	0.002	0.002
			Vz	0.123	0.123	0.123	0.123	0.123	0.123	0.123	0.123	0.123
			Mt	0.000	0.000	0.000	0.000	0.000	0.000	0.000	0.000	0.000
			My	0.148	0.091	0.034	-0.024	-0.081	-0.139	-0.196	-0.254	-0.311
			Mz	0.007	0.006	0.005	0.004	0.003	0.003	0.002	0.001	0.000
		1.35-PP+1.5-V1(1)	N	-20.158	-20.145	-20.132	-20.118	-20.105	-20.091	-20.078	-20.065	-20.051
			Vy	0.002	0.002	0.002	0.002	0.002	0.002	0.002	0.002	0.002
			Vz	0.207	0.207	0.207	0.207	0.207	0.207	0.207	0.207	0.207
			Mt	0.000	0.000	0.000	0.000	0.000	0.000	0.000	0.000	0.000
			My	0.249	0.153	0.056	-0.041	-0.137	-0.234	-0.331	-0.427	-0.524
			Mz	0.007	0.006	0.005	0.004	0.003	0.003	0.002	0.001	0.000
		0.8-PP+1.5-V1(2)	N	-12.017	-12.009	-12.001	-11.993	-11.986	-11.978	-11.970	-11.962	-11.954
			Vy	0.000	0.000	0.000	0.000	0.000	0.000	0.000	0.000	0.000
			Vz	-0.048	-0.048	-0.048	-0.048	-0.048	-0.048	-0.048	-0.048	-0.048
			Mt	0.000	0.000	0.000	0.000	0.000	0.000	0.000	0.000	0.000
			My	-0.174	-0.151	-0.129	-0.106	-0.084	-0.061	-0.039	-0.016	0.007
			Mz	0.001	0.001	0.000	0.000	0.000	0.000	0.000	0.000	0.000
		1.35-PP+1.5-V1(2)	N	-20.230	-20.217	-20.203	-20.190	-20.177	-20.163	-20.150	-20.136	-20.123
			Vy	0.000	0.000	0.000	0.000	0.000	0.000	0.000	0.000	0.000
			Vz	0.036	0.036	0.036	0.036	0.036	0.036	0.036	0.036	0.036
			Mt	0.000	0.000	0.000	0.000	0.000	0.000	0.000	0.000	0.000
			My	-0.073	-0.089	-0.106	-0.123	-0.140	-0.156	-0.173	-0.190	-0.206
			Mz	0.001	0.001	0.000	0.000	0.000	0.000	0.000	0.000	0.000
		0.8-PP+1.5-N1	N	-13.754	-13.746	-13.738	-13.730	-13.722	-13.714	-13.706	-13.698	-13.691
			Vy	0.000	0.000	0.000	0.000	0.000	0.000	0.000	0.000	0.000
			Vz	0.143	0.143	0.143	0.143	0.143	0.143	0.143	0.143	0.143
			Mt	0.000	0.000	0.000	0.000	0.000	0.000	0.000	0.000	0.000
			My	0.173	0.106	0.039	-0.028	-0.095	-0.162	-0.229	-0.296	-0.363
			Mz	0.000	0.000	0.000	0.000	0.000	0.000	0.000	0.000	0.000
		1.35-PP+1.5-N1	N	-21.967	-21.953	-21.940	-21.927	-21.913	-21.900	-21.886	-21.873	-21.860
			Vy	0.000	0.000	0.000	0.000	0.000	0.000	0.000	0.000	0.000
			Vz	0.227	0.227	0.227	0.227	0.227	0.227	0.227	0.227	0.227
			Mt	0.000	0.000	0.000	0.000	0.000	0.000	0.000	0.000	0.000
			My	0.274	0.167	0.061	-0.045	-0.151	-0.257	-0.364	-0.470	-0.576



Listados

FORJADORADIOQIROFANOCUBIERTADEF20220908

Fecha: 08/09/22

Esfuerzos en barras, por combinación												
Barra	Combinación		Esfuerzo	Posiciones en la barra								
	Tipo	Descripción		0.000 m	0.468 m	0.935 m	1.403 m	1.870 m	2.338 m	2.805 m	3.273 m	3.740 m
			Mz	0.000	0.000	0.000	0.000	0.000	0.000	0.000	0.000	0.000
		0.8-PP+0.9-V1(1)+1.5-N1	N	-13.754	-13.746	-13.738	-13.730	-13.722	-13.714	-13.706	-13.698	-13.690
			Vy	0.001	0.001	0.001	0.001	0.001	0.001	0.001	0.001	0.001
			Vz	0.144	0.144	0.144	0.144	0.144	0.144	0.144	0.144	0.144
			Mt	0.000	0.000	0.000	0.000	0.000	0.000	0.000	0.000	0.000
			My	0.173	0.106	0.039	-0.028	-0.095	-0.163	-0.230	-0.297	-0.364
			Mz	0.004	0.004	0.003	0.003	0.002	0.002	0.001	0.000	0.000
		1.35-PP+0.9-V1(1)+1.5-N1	N	-21.967	-21.953	-21.940	-21.926	-21.913	-21.900	-21.886	-21.873	-21.860
			Vy	0.001	0.001	0.001	0.001	0.001	0.001	0.001	0.001	0.001
			Vz	0.228	0.228	0.228	0.228	0.228	0.228	0.228	0.228	0.228
			Mt	0.000	0.000	0.000	0.000	0.000	0.000	0.000	0.000	0.000
			My	0.274	0.168	0.062	-0.045	-0.151	-0.258	-0.364	-0.471	-0.577
			Mz	0.004	0.004	0.003	0.003	0.002	0.002	0.001	0.000	0.000
		0.8-PP+0.9-V1(2)+1.5-N1	N	-13.797	-13.789	-13.781	-13.773	-13.765	-13.757	-13.749	-13.741	-13.733
			Vy	0.000	0.000	0.000	0.000	0.000	0.000	0.000	0.000	0.000
			Vz	0.041	0.041	0.041	0.041	0.041	0.041	0.041	0.041	0.041
			Mt	0.000	0.000	0.000	0.000	0.000	0.000	0.000	0.000	0.000
			My	-0.020	-0.039	-0.058	-0.078	-0.097	-0.116	-0.135	-0.154	-0.174
			Mz	0.000	0.000	0.000	0.000	0.000	0.000	0.000	0.000	0.000
		1.35-PP+0.9-V1(2)+1.5-N1	N	-22.010	-21.996	-21.983	-21.969	-21.956	-21.943	-21.929	-21.916	-21.903
			Vy	0.000	0.000	0.000	0.000	0.000	0.000	0.000	0.000	0.000
			Vz	0.125	0.125	0.125	0.125	0.125	0.125	0.125	0.125	0.125
			Mt	0.000	0.000	0.000	0.000	0.000	0.000	0.000	0.000	0.000
			My	0.081	0.023	-0.036	-0.094	-0.153	-0.211	-0.270	-0.328	-0.386
			Mz	0.000	0.000	0.000	0.000	0.000	0.000	0.000	0.000	0.000
		0.8-PP+1.5-V1(1)+0.75-N1	N	-12.850	-12.842	-12.834	-12.826	-12.818	-12.810	-12.802	-12.794	-12.786
			Vy	0.002	0.002	0.002	0.002	0.002	0.002	0.002	0.002	0.002
			Vz	0.133	0.133	0.133	0.133	0.133	0.133	0.133	0.133	0.133
			Mt	0.000	0.000	0.000	0.000	0.000	0.000	0.000	0.000	0.000
			My	0.161	0.099	0.036	-0.026	-0.088	-0.151	-0.213	-0.275	-0.338
			Mz	0.007	0.006	0.005	0.004	0.003	0.003	0.002	0.001	0.000
		1.35-PP+1.5-V1(1)+0.75-N1	N	-21.062	-21.049	-21.036	-21.022	-21.009	-20.995	-20.982	-20.969	-20.955
			Vy	0.002	0.002	0.002	0.002	0.002	0.002	0.002	0.002	0.002
			Vz	0.217	0.217	0.217	0.217	0.217	0.217	0.217	0.217	0.217
			Mt	0.000	0.000	0.000	0.000	0.000	0.000	0.000	0.000	0.000
			My	0.262	0.161	0.059	-0.043	-0.144	-0.246	-0.347	-0.449	-0.551
			Mz	0.007	0.006	0.005	0.004	0.003	0.003	0.002	0.001	0.000
		0.8-PP+1.5-V1(2)+0.75-N1	N	-12.921	-12.913	-12.905	-12.898	-12.890	-12.882	-12.874	-12.866	-12.858
			Vy	0.000	0.000	0.000	0.000	0.000	0.000	0.000	0.000	0.000
			Vz	-0.038	-0.038	-0.038	-0.038	-0.038	-0.038	-0.038	-0.038	-0.038
			Mt	0.000	0.000	0.000	0.000	0.000	0.000	0.000	0.000	0.000
			My	-0.161	-0.143	-0.126	-0.108	-0.091	-0.073	-0.055	-0.038	-0.020
			Mz	0.001	0.001	0.000	0.000	0.000	0.000	0.000	0.000	0.000
		1.35-PP+1.5-V1(2)+0.75-N1	N	-21.134	-21.121	-21.107	-21.094	-21.081	-21.067	-21.054	-21.040	-21.027
			Vy	0.000	0.000	0.000	0.000	0.000	0.000	0.000	0.000	0.000
			Vz	0.046	0.046	0.046	0.046	0.046	0.046	0.046	0.046	0.046
			Mt	0.000	0.000	0.000	0.000	0.000	0.000	0.000	0.000	0.000
			My	-0.060	-0.082	-0.103	-0.125	-0.147	-0.168	-0.190	-0.212	-0.233
			Mz	0.001	0.001	0.000	0.000	0.000	0.000	0.000	0.000	0.000
		0.8-PP+1.5-Q1	N	-14.959	-14.951	-14.944	-14.936	-14.928	-14.920	-14.912	-14.904	-14.896
			Vy	0.000	0.000	0.000	0.000	0.000	0.000	0.000	0.000	0.000
			Vz	0.157	0.157	0.157	0.157	0.157	0.157	0.157	0.157	0.157
			Mt	0.000	0.000	0.000	0.000	0.000	0.000	0.000	0.000	0.000
			My	0.190	0.116	0.042	-0.031	-0.105	-0.178	-0.252	-0.326	-0.399
			Mz	0.000	0.000	0.000	0.000	0.000	0.000	0.000	0.000	0.000
		1.35-PP+1.5-Q1	N	-23.172	-23.159	-23.145	-23.132	-23.119	-23.105	-23.092	-23.078	-23.065
			Vy	0.000	0.000	0.000	0.000	0.000	0.000	0.000	0.000	0.000
			Vz	0.241	0.241	0.241	0.241	0.241	0.241	0.241	0.241	0.241
			Mt	0.000	0.000	0.000	0.000	0.000	0.000	0.000	0.000	0.000
			My	0.291	0.178	0.065	-0.048	-0.161	-0.273	-0.386	-0.499	-0.612
			Mz	0.000	0.000	0.000	0.000	0.000	0.000	0.000	0.000	0.000

Esfuerzos en barras, por combinación												
Barra	Combinación		Esfuerzo	Posiciones en la barra								
	Tipo	Descripción		0.000 m	0.468 m	0.935 m	1.403 m	1.870 m	2.338 m	2.805 m	3.273 m	3.740 m
N43/N19	Acero laminado	0.8-PP	N	-8.762	-8.754	-8.747	-8.739	-8.731	-8.723	-8.715	-8.707	-8.699
			Vy	0.000	0.000	0.000	0.000	0.000	0.000	0.000	0.000	0.000
			Vz	-0.078	-0.078	-0.078	-0.078	-0.078	-0.078	-0.078	-0.078	-0.078
			Mt	0.000	0.000	0.000	0.000	0.000	0.000	0.000	0.000	0.000
			My	-0.102	-0.065	-0.028	0.008	0.045	0.082	0.118	0.155	0.192
			Mz	-0.001	-0.001	-0.001	0.000	0.000	0.000	0.000	0.000	0.000
		1.35-PP	N	-14.786	-14.773	-14.760	-14.746	-14.733	-14.720	-14.706	-14.693	-14.679
			Vy	0.000	0.000	0.000	0.000	0.000	0.000	0.000	0.000	0.000
			Vz	-0.132	-0.132	-0.132	-0.132	-0.132	-0.132	-0.132	-0.132	-0.132
			Mt	0.000	0.000	0.000	0.000	0.000	0.000	0.000	0.000	0.000
			My	-0.172	-0.110	-0.048	0.014	0.076	0.138	0.200	0.262	0.323
			Mz	-0.001	-0.001	-0.001	-0.001	-0.001	0.000	0.000	0.000	0.000



Listados

FORJADORADIOQIROFANOCUBIERTADEF20220908

Fecha: 08/09/22

Esfuerzos en barras, por combinación													
Barra	Combinación		Esfuerzo	Posiciones en la barra									
	Tipo	Descripción		0.000 m	0.468 m	0.935 m	1.403 m	1.870 m	2.338 m	2.805 m	3.273 m	3.740 m	
		0.8-PP+1.5-V1(1)	N	-8.762	-8.754	-8.747	-8.739	-8.731	-8.723	-8.715	-8.707	-8.699	
			Vy	-0.003	-0.003	-0.003	-0.003	-0.003	-0.003	-0.003	-0.003	-0.003	-0.003
			Vz	-0.078	-0.078	-0.078	-0.078	-0.078	-0.078	-0.078	-0.078	-0.078	-0.078
			Mt	0.000	0.000	0.000	0.000	0.000	0.000	0.000	0.000	0.000	0.000
			My	-0.100	-0.064	-0.028	0.009	0.045	0.081	0.118	0.154	0.190	0.190
			Mz	-0.010	-0.008	-0.007	-0.006	-0.005	-0.004	-0.002	-0.001	0.000	0.000
		1.35-PP+1.5-V1(1)	N	-14.786	-14.773	-14.760	-14.746	-14.733	-14.720	-14.706	-14.693	-14.679	-14.679
			Vy	-0.003	-0.003	-0.003	-0.003	-0.003	-0.003	-0.003	-0.003	-0.003	-0.003
			Vz	-0.132	-0.132	-0.132	-0.132	-0.132	-0.132	-0.132	-0.132	-0.132	-0.132
			Mt	0.000	0.000	0.000	0.000	0.000	0.000	0.000	0.000	0.000	0.000
			My	-0.170	-0.109	-0.047	0.014	0.076	0.137	0.199	0.261	0.322	0.322
			Mz	-0.010	-0.009	-0.008	-0.006	-0.005	-0.004	-0.003	-0.001	0.000	0.000
		0.8-PP+1.5-V1(2)	N	-8.665	-8.657	-8.649	-8.641	-8.633	-8.625	-8.617	-8.609	-8.601	-8.601
			Vy	-0.009	-0.009	-0.009	-0.009	-0.009	-0.009	-0.009	-0.009	-0.009	-0.009
			Vz	-0.248	-0.248	-0.248	-0.248	-0.248	-0.248	-0.248	-0.248	-0.248	-0.248
			Mt	0.000	0.000	0.000	0.000	0.000	0.000	0.000	0.000	0.000	0.000
			My	-0.421	-0.305	-0.190	-0.074	0.042	0.157	0.273	0.389	0.505	0.505
			Mz	-0.032	-0.028	-0.024	-0.020	-0.016	-0.012	-0.008	-0.004	0.000	0.000
		1.35-PP+1.5-V1(2)	N	-14.689	-14.675	-14.662	-14.649	-14.635	-14.622	-14.608	-14.595	-14.582	-14.582
			Vy	-0.009	-0.009	-0.009	-0.009	-0.009	-0.009	-0.009	-0.009	-0.009	-0.009
			Vz	-0.301	-0.301	-0.301	-0.301	-0.301	-0.301	-0.301	-0.301	-0.301	-0.301
			Mt	0.000	0.000	0.000	0.000	0.000	0.000	0.000	0.000	0.000	0.000
			My	-0.491	-0.350	-0.209	-0.068	0.073	0.214	0.355	0.495	0.636	0.636
			Mz	-0.032	-0.028	-0.024	-0.020	-0.016	-0.012	-0.008	-0.004	0.000	0.000
		0.8-PP+1.5-N1	N	-10.088	-10.080	-10.072	-10.064	-10.056	-10.048	-10.040	-10.032	-10.024	-10.024
			Vy	0.000	0.000	0.000	0.000	0.000	0.000	0.000	0.000	0.000	0.000
			Vz	-0.092	-0.092	-0.092	-0.092	-0.092	-0.092	-0.092	-0.092	-0.092	-0.092
			Mt	0.000	0.000	0.000	0.000	0.000	0.000	0.000	0.000	0.000	0.000
			My	-0.119	-0.076	-0.033	0.010	0.053	0.096	0.139	0.182	0.225	0.225
			Mz	-0.001	-0.001	-0.001	0.000	0.000	0.000	0.000	0.000	0.000	0.000
		1.35-PP+1.5-N1	N	-16.112	-16.098	-16.085	-16.072	-16.058	-16.045	-16.032	-16.018	-16.005	-16.005
			Vy	0.000	0.000	0.000	0.000	0.000	0.000	0.000	0.000	0.000	0.000
			Vz	-0.146	-0.146	-0.146	-0.146	-0.146	-0.146	-0.146	-0.146	-0.146	-0.146
			Mt	0.000	0.000	0.000	0.000	0.000	0.000	0.000	0.000	0.000	0.000
			My	-0.189	-0.121	-0.053	0.015	0.084	0.152	0.220	0.289	0.357	0.357
			Mz	-0.001	-0.001	-0.001	-0.001	-0.001	0.000	0.000	0.000	0.000	0.000
		0.8-PP+0.9-V1(1)+1.5-N1	N	-10.088	-10.080	-10.072	-10.064	-10.056	-10.048	-10.040	-10.032	-10.024	-10.024
			Vy	-0.002	-0.002	-0.002	-0.002	-0.002	-0.002	-0.002	-0.002	-0.002	-0.002
			Vz	-0.092	-0.092	-0.092	-0.092	-0.092	-0.092	-0.092	-0.092	-0.092	-0.092
			Mt	0.000	0.000	0.000	0.000	0.000	0.000	0.000	0.000	0.000	0.000
			My	-0.119	-0.076	-0.033	0.010	0.053	0.096	0.138	0.181	0.224	0.224
			Mz	-0.006	-0.005	-0.005	-0.004	-0.003	-0.002	-0.002	-0.001	0.000	0.000
		1.35-PP+0.9-V1(1)+1.5-N1	N	-16.112	-16.098	-16.085	-16.072	-16.058	-16.045	-16.032	-16.018	-16.005	-16.005
			Vy	-0.002	-0.002	-0.002	-0.002	-0.002	-0.002	-0.002	-0.002	-0.002	-0.002
			Vz	-0.146	-0.146	-0.146	-0.146	-0.146	-0.146	-0.146	-0.146	-0.146	-0.146
			Mt	0.000	0.000	0.000	0.000	0.000	0.000	0.000	0.000	0.000	0.000
			My	-0.189	-0.120	-0.052	0.016	0.084	0.152	0.220	0.288	0.356	0.356
			Mz	-0.007	-0.006	-0.005	-0.004	-0.003	-0.002	-0.002	-0.001	0.000	0.000
		0.8-PP+0.9-V1(2)+1.5-N1	N	-10.029	-10.021	-10.013	-10.005	-9.997	-9.989	-9.981	-9.973	-9.966	-9.966
			Vy	-0.005	-0.005	-0.005	-0.005	-0.005	-0.005	-0.005	-0.005	-0.005	-0.005
			Vz	-0.194	-0.194	-0.194	-0.194	-0.194	-0.194	-0.194	-0.194	-0.194	-0.194
			Mt	0.000	0.000	0.000	0.000	0.000	0.000	0.000	0.000	0.000	0.000
			My	-0.311	-0.221	-0.130	-0.040	0.051	0.141	0.232	0.322	0.413	0.413
			Mz	-0.019	-0.017	-0.015	-0.012	-0.010	-0.007	-0.005	-0.002	0.000	0.000
		1.35-PP+0.9-V1(2)+1.5-N1	N	-16.053	-16.040	-16.026	-16.013	-16.000	-15.986	-15.973	-15.959	-15.946	-15.946
			Vy	-0.005	-0.005	-0.005	-0.005	-0.005	-0.005	-0.005	-0.005	-0.005	-0.005
			Vz	-0.247	-0.247	-0.247	-0.247	-0.247	-0.247	-0.247	-0.247	-0.247	-0.247
			Mt	0.000	0.000	0.000	0.000	0.000	0.000	0.000	0.000	0.000	0.000
			My	-0.381	-0.265	-0.150	-0.034	0.082	0.197	0.313	0.429	0.545	0.545
			Mz	-0.020	-0.017	-0.015	-0.012	-0.010	-0.007	-0.005	-0.002	0.000	0.000
		0.8-PP+1.5-V1(1)+0.75-N1	N	-9.425	-9.417	-9.409	-9.401	-9.393	-9.385	-9.377	-9.370	-9.362	-9.362
			Vy	-0.003	-0.003	-0.003	-0.003	-0.003	-0.003	-0.003	-0.003	-0.003	-0.003
			Vz	-0.085	-0.085	-0.085	-0.085	-0.085	-0.085	-0.085	-0.085	-0.085	-0.085
			Mt	0.000	0.000	0.000	0.000	0.000	0.000	0.000	0.000	0.000	0.000
			My	-0.109	-0.070	-0.030	0.009	0.049	0.088	0.128	0.167	0.207	0.207
			Mz	-0.010	-0.008	-0.007	-0.006	-0.005	-0.004	-0.002	-0.001	0.000	0.000
		1.35-PP+1.5-V1(1)+0.75-N1	N	-15.449	-15.436	-15.422	-15.409	-15.396	-15.382	-15.369	-15.355	-15.342	-15.342
			Vy	-0.003	-0.003	-0.003	-0.003	-0.003	-0.003	-0.003	-0.003	-0.003	-0.003
			Vz	-0.138	-0.138	-0.138	-0.138	-0.138	-0.138	-0.138	-0.138	-0.138	-0.138
			Mt	0.000	0.000	0.000	0.000	0.000	0.000	0.000	0.000	0.000	0.000
			My	-0.179	-0.114	-0.050	0.015	0.080	0.145	0.209	0.274	0.339	0.339
			Mz	-0.010	-0.009	-0.008	-0.006	-0.005	-0.004	-0.003	-0.001	0.000	0.000
		0.8-PP+1.5-V1(2)+0.75-N1	N	-9.327	-9.319	-9.311	-9.303	-9.295	-9.288	-9.280	-9.272	-9.264	-9.264
			Vy	-0.009	-0.009	-0.009	-0.009	-0.009	-0.009	-0.009	-0.009	-0.009	-0.009
			Vz	-0.254	-0.254	-0.254	-0.254	-0.254	-0.254	-0.254	-0.254	-0.254	-0.254
			Mt	0.000	0.000	0.000	0.000	0.000	0.000	0.000	0.000	0.000	0.000
			My	-0.430	-0.311	-0.192	-0.073	0.046	0.165	0.283	0.402	0.521	0.521
			Mz	-0.032	-0.028	-0.024	-0.020	-0.016	-0.012	-0.008	-0.004	0.000	0.000



Listados

FORJADORADIOQIROFANOCUBIERTADEF20220908

Fecha: 08/09/22

Esfuerzos en barras, por combinación												
Barra	Combinación		Esfuerzo	Posiciones en la barra								
	Tipo	Descripción		0.000 m	0.468 m	0.935 m	1.403 m	1.870 m	2.338 m	2.805 m	3.273 m	3.740 m
	1.35-PP+1.5-V1(2)+0.75-N1	N	-15.351	-15.338	-15.325	-15.311	-15.298	-15.284	-15.271	-15.258	-15.244	
		Vy	-0.009	-0.009	-0.009	-0.009	-0.009	-0.009	-0.009	-0.009	-0.009	-0.009
		Vz	-0.308	-0.308	-0.308	-0.308	-0.308	-0.308	-0.308	-0.308	-0.308	-0.308
		Mt	0.000	0.000	0.000	0.000	0.000	0.000	0.000	0.000	0.000	0.000
		My	-0.500	-0.356	-0.212	-0.068	0.077	0.221	0.365	0.509	0.653	0.653
		Mz	-0.032	-0.028	-0.024	-0.020	-0.016	-0.012	-0.008	-0.004	0.000	0.000
	0.8-PP+1.5-Q1	N	-10.971	-10.963	-10.955	-10.947	-10.939	-10.932	-10.924	-10.916	-10.908	-10.908
		Vy	0.000	0.000	0.000	0.000	0.000	0.000	0.000	0.000	0.000	0.000
		Vz	-0.101	-0.101	-0.101	-0.101	-0.101	-0.101	-0.101	-0.101	-0.101	-0.101
		Mt	0.000	0.000	0.000	0.000	0.000	0.000	0.000	0.000	0.000	0.000
		My	-0.131	-0.084	-0.037	0.011	0.058	0.105	0.153	0.200	0.247	0.247
		Mz	-0.001	-0.001	-0.001	0.000	0.000	0.000	0.000	0.000	0.000	0.000
	1.35-PP+1.5-Q1	N	-16.995	-16.982	-16.969	-16.955	-16.942	-16.928	-16.915	-16.902	-16.888	-16.888
		Vy	0.000	0.000	0.000	0.000	0.000	0.000	0.000	0.000	0.000	0.000
		Vz	-0.155	-0.155	-0.155	-0.155	-0.155	-0.155	-0.155	-0.155	-0.155	-0.155
		Mt	0.000	0.000	0.000	0.000	0.000	0.000	0.000	0.000	0.000	0.000
		My	-0.201	-0.129	-0.056	0.016	0.089	0.161	0.234	0.306	0.379	0.379
		Mz	-0.001	-0.001	-0.001	-0.001	-0.001	0.000	0.000	0.000	0.000	0.000

Esfuerzos en barras, por combinación												
Barra	Combinación		Esfuerzo	Posiciones en la barra								
	Tipo	Descripción		0.000 m	0.468 m	0.935 m	1.403 m	1.870 m	2.338 m	2.805 m	3.273 m	3.740 m
N46/N23	Acero laminado	0.8-PP	N	-12.344	-12.336	-12.328	-12.320	-12.312	-12.305	-12.297	-12.289	-12.281
			Vy	0.000	0.000	0.000	0.000	0.000	0.000	0.000	0.000	0.000
			Vz	0.122	0.122	0.122	0.122	0.122	0.122	0.122	0.122	0.122
			Mt	0.000	0.000	0.000	0.000	0.000	0.000	0.000	0.000	0.000
			My	0.146	0.090	0.033	-0.024	-0.081	-0.138	-0.195	-0.252	-0.309
			Mz	0.000	0.000	0.000	0.000	0.000	0.000	0.000	0.000	0.000
		1.35-PP	N	-20.831	-20.817	-20.804	-20.791	-20.777	-20.764	-20.751	-20.737	-20.724
			Vy	0.000	0.000	0.000	0.000	0.000	0.000	0.000	0.000	0.000
			Vz	0.206	0.206	0.206	0.206	0.206	0.206	0.206	0.206	0.206
			Mt	0.000	0.000	0.000	0.000	0.000	0.000	0.000	0.000	0.000
			My	0.247	0.151	0.055	-0.041	-0.137	-0.233	-0.329	-0.425	-0.522
			Mz	0.000	0.000	0.000	0.000	0.000	0.000	0.000	0.000	0.000
		0.8-PP+1.5-V1(1)	N	-12.344	-12.336	-12.328	-12.320	-12.312	-12.305	-12.297	-12.289	-12.281
			Vy	0.002	0.002	0.002	0.002	0.002	0.002	0.002	0.002	0.002
			Vz	0.122	0.122	0.122	0.122	0.122	0.122	0.122	0.122	0.122
			Mt	0.000	0.000	0.000	0.000	0.000	0.000	0.000	0.000	0.000
			My	0.146	0.090	0.033	-0.024	-0.081	-0.138	-0.195	-0.252	-0.309
			Mz	0.009	0.007	0.006	0.005	0.004	0.003	0.002	0.001	0.000
		1.35-PP+1.5-V1(1)	N	-20.831	-20.817	-20.804	-20.791	-20.777	-20.764	-20.751	-20.737	-20.724
			Vy	0.002	0.002	0.002	0.002	0.002	0.002	0.002	0.002	0.002
			Vz	0.206	0.206	0.206	0.206	0.206	0.206	0.206	0.206	0.206
			Mt	0.000	0.000	0.000	0.000	0.000	0.000	0.000	0.000	0.000
			My	0.247	0.151	0.055	-0.041	-0.137	-0.233	-0.329	-0.425	-0.522
			Mz	0.009	0.007	0.006	0.005	0.004	0.003	0.002	0.001	0.000
		0.8-PP+1.5-V1(2)	N	-12.419	-12.411	-12.403	-12.395	-12.387	-12.380	-12.372	-12.364	-12.356
			Vy	0.000	0.000	0.000	0.000	0.000	0.000	0.000	0.000	0.000
			Vz	-0.060	-0.060	-0.060	-0.060	-0.060	-0.060	-0.060	-0.060	-0.060
			Mt	0.000	0.000	0.000	0.000	0.000	0.000	0.000	0.000	0.000
			My	-0.196	-0.168	-0.140	-0.112	-0.084	-0.056	-0.028	0.001	0.029
			Mz	0.000	0.000	0.000	0.000	0.000	0.000	0.000	0.000	0.000
		1.35-PP+1.5-V1(2)	N	-20.906	-20.892	-20.879	-20.866	-20.852	-20.839	-20.826	-20.812	-20.799
			Vy	0.000	0.000	0.000	0.000	0.000	0.000	0.000	0.000	0.000
			Vz	0.024	0.024	0.024	0.024	0.024	0.024	0.024	0.024	0.024
			Mt	0.000	0.000	0.000	0.000	0.000	0.000	0.000	0.000	0.000
			My	-0.096	-0.107	-0.118	-0.129	-0.140	-0.151	-0.162	-0.173	-0.184
			Mz	0.000	0.000	0.000	0.000	0.000	0.000	0.000	0.000	0.000
		0.8-PP+1.5-N1	N	-14.152	-14.144	-14.136	-14.129	-14.121	-14.113	-14.105	-14.097	-14.089
			Vy	0.000	0.000	0.000	0.000	0.000	0.000	0.000	0.000	0.000
			Vz	0.143	0.143	0.143	0.143	0.143	0.143	0.143	0.143	0.143
			Mt	0.000	0.000	0.000	0.000	0.000	0.000	0.000	0.000	0.000
			My	0.172	0.105	0.038	-0.029	-0.095	-0.162	-0.229	-0.296	-0.363
			Mz	0.000	0.000	0.000	0.000	0.000	0.000	0.000	0.000	0.000
		1.35-PP+1.5-N1	N	-22.639	-22.626	-22.612	-22.599	-22.585	-22.572	-22.559	-22.545	-22.532
			Vy	0.000	0.000	0.000	0.000	0.000	0.000	0.000	0.000	0.000
			Vz	0.227	0.227	0.227	0.227	0.227	0.227	0.227	0.227	0.227
			Mt	0.000	0.000	0.000	0.000	0.000	0.000	0.000	0.000	0.000
			My	0.273	0.167	0.061	-0.045	-0.151	-0.257	-0.363	-0.469	-0.575
			Mz	0.000	0.000	0.000	0.000	0.000	0.000	0.000	0.000	0.000
		0.8-PP+0.9-V1(1)+1.5-N1	N	-14.152	-14.144	-14.136	-14.129	-14.121	-14.113	-14.105	-14.097	-14.089
			Vy	0.001	0.001	0.001	0.001	0.001	0.001	0.001	0.001	0.001
			Vz	0.143	0.143	0.143	0.143	0.143	0.143	0.143	0.143	0.143
			Mt	0.000	0.000	0.000	0.000	0.000	0.000	0.000	0.000	0.000
			My	0.172	0.105	0.038	-0.029	-0.095	-0.162	-0.229	-0.296	-0.363
			Mz	0.005	0.004	0.004	0.003	0.003	0.002	0.001	0.001	0.000
		1.35-PP+0.9-V1(1)+1.5-N1	N	-22.639	-22.626	-22.612	-22.599	-22.585	-22.572	-22.559	-22.545	-22.532



Listados

FORJADORADIOQIROFANOCUBIERTADEF20220908

Fecha: 08/09/22

Esfuerzos en barras, por combinación													
Barra	Combinación		Esfuerzo	Posiciones en la barra									
	Tipo	Descripción		0.000 m	0.468 m	0.935 m	1.403 m	1.870 m	2.338 m	2.805 m	3.273 m	3.740 m	
			Vy	0.001	0.001	0.001	0.001	0.001	0.001	0.001	0.001	0.001	0.001
			Vz	0.227	0.227	0.227	0.227	0.227	0.227	0.227	0.227	0.227	0.227
			Mt	0.000	0.000	0.000	0.000	0.000	0.000	0.000	0.000	0.000	0.000
			My	0.273	0.167	0.061	-0.045	-0.151	-0.257	-0.363	-0.469	-0.575	
			Mz	0.005	0.004	0.004	0.003	0.003	0.002	0.001	0.001	0.000	
		0.8-PP+0.9-V1(2)+1.5-N1	N	-14.197	-14.189	-14.181	-14.174	-14.166	-14.158	-14.150	-14.142	-14.134	
			Vy	0.000	0.000	0.000	0.000	0.000	0.000	0.000	0.000	0.000	
			Vz	0.034	0.034	0.034	0.034	0.034	0.034	0.034	0.034	0.034	
			Mt	0.000	0.000	0.000	0.000	0.000	0.000	0.000	0.000	0.000	
			My	-0.034	-0.050	-0.065	-0.081	-0.097	-0.113	-0.128	-0.144	-0.160	
			Mz	0.000	0.000	0.000	0.000	0.000	0.000	0.000	0.000	0.000	
		1.35-PP+0.9-V1(2)+1.5-N1	N	-22.684	-22.671	-22.657	-22.644	-22.630	-22.617	-22.604	-22.590	-22.577	
			Vy	0.000	0.000	0.000	0.000	0.000	0.000	0.000	0.000	0.000	
			Vz	0.117	0.117	0.117	0.117	0.117	0.117	0.117	0.117	0.117	
			Mt	0.000	0.000	0.000	0.000	0.000	0.000	0.000	0.000	0.000	
			My	0.067	0.012	-0.043	-0.098	-0.153	-0.208	-0.263	-0.318	-0.373	
			Mz	0.000	0.000	0.000	0.000	0.000	0.000	0.000	0.000	0.000	
		0.8-PP+1.5-V1(1)+0.75-N1	N	-13.248	-13.240	-13.232	-13.224	-13.217	-13.209	-13.201	-13.193	-13.185	
			Vy	0.002	0.002	0.002	0.002	0.002	0.002	0.002	0.002	0.002	
			Vz	0.132	0.132	0.132	0.132	0.132	0.132	0.132	0.132	0.132	
			Mt	0.000	0.000	0.000	0.000	0.000	0.000	0.000	0.000	0.000	
			My	0.159	0.097	0.035	-0.026	-0.088	-0.150	-0.212	-0.274	-0.336	
			Mz	0.009	0.007	0.006	0.005	0.004	0.003	0.002	0.001	0.000	
		1.35-PP+1.5-V1(1)+0.75-N1	N	-21.735	-21.721	-21.708	-21.695	-21.681	-21.668	-21.655	-21.641	-21.628	
			Vy	0.002	0.002	0.002	0.002	0.002	0.002	0.002	0.002	0.002	
			Vz	0.216	0.216	0.216	0.216	0.216	0.216	0.216	0.216	0.216	
			Mt	0.000	0.000	0.000	0.000	0.000	0.000	0.000	0.000	0.000	
			My	0.260	0.159	0.058	-0.043	-0.144	-0.245	-0.346	-0.447	-0.548	
			Mz	0.009	0.007	0.006	0.005	0.004	0.003	0.002	0.001	0.000	
		0.8-PP+1.5-V1(2)+0.75-N1	N	-13.323	-13.315	-13.307	-13.299	-13.292	-13.284	-13.276	-13.268	-13.260	
			Vy	0.000	0.000	0.000	0.000	0.000	0.000	0.000	0.000	0.000	
			Vz	-0.050	-0.050	-0.050	-0.050	-0.050	-0.050	-0.050	-0.050	-0.050	
			Mt	0.000	0.000	0.000	0.000	0.000	0.000	0.000	0.000	0.000	
			My	-0.184	-0.160	-0.137	-0.114	-0.091	-0.068	-0.044	-0.021	0.002	
			Mz	0.000	0.000	0.000	0.000	0.000	0.000	0.000	0.000	0.000	
		1.35-PP+1.5-V1(2)+0.75-N1	N	-21.810	-21.796	-21.783	-21.770	-21.756	-21.743	-21.730	-21.716	-21.703	
			Vy	0.000	0.000	0.000	0.000	0.000	0.000	0.000	0.000	0.000	
			Vz	0.034	0.034	0.034	0.034	0.034	0.034	0.034	0.034	0.034	
			Mt	0.000	0.000	0.000	0.000	0.000	0.000	0.000	0.000	0.000	
			My	-0.083	-0.099	-0.115	-0.131	-0.147	-0.163	-0.179	-0.195	-0.211	
			Mz	0.000	0.000	0.000	0.000	0.000	0.000	0.000	0.000	0.000	
		0.8-PP+1.5-Q1	N	-15.358	-15.350	-15.342	-15.334	-15.326	-15.318	-15.310	-15.302	-15.294	
			Vy	0.000	0.000	0.000	0.000	0.000	0.000	0.000	0.000	0.000	
			Vz	0.157	0.157	0.157	0.157	0.157	0.157	0.157	0.157	0.157	
			Mt	0.000	0.000	0.000	0.000	0.000	0.000	0.000	0.000	0.000	
			My	0.189	0.115	0.042	-0.031	-0.105	-0.178	-0.252	-0.325	-0.398	
			Mz	0.000	0.000	0.000	0.000	0.000	0.000	0.000	0.000	0.000	
		1.35-PP+1.5-Q1	N	-23.844	-23.831	-23.818	-23.804	-23.791	-23.777	-23.764	-23.751	-23.737	
			Vy	0.000	0.000	0.000	0.000	0.000	0.000	0.000	0.000	0.000	
			Vz	0.241	0.241	0.241	0.241	0.241	0.241	0.241	0.241	0.241	
			Mt	0.000	0.000	0.000	0.000	0.000	0.000	0.000	0.000	0.000	
			My	0.290	0.177	0.064	-0.048	-0.161	-0.273	-0.386	-0.498	-0.611	
			Mz	0.000	0.000	0.000	0.000	0.000	0.000	0.000	0.000	0.000	

Esfuerzos en barras, por combinación													
Barra	Combinación		Esfuerzo	Posiciones en la barra									
	Tipo	Descripción		0.000 m	0.468 m	0.935 m	1.403 m	1.870 m	2.338 m	2.805 m	3.273 m	3.740 m	
N47/N24	Acero laminado	0.8-PP	N	-9.003	-8.995	-8.988	-8.980	-8.972	-8.964	-8.956	-8.948	-8.940	
			Vy	0.000	0.000	0.000	0.000	0.000	0.000	0.000	0.000	0.000	0.000
			Vz	-0.079	-0.079	-0.079	-0.079	-0.079	-0.079	-0.079	-0.079	-0.079	-0.079
			Mt	0.000	0.000	0.000	0.000	0.000	0.000	0.000	0.000	0.000	0.000
			My	-0.102	-0.065	-0.029	0.008	0.045	0.082	0.118	0.155	0.192	0.192
			Mz	0.000	0.000	0.000	0.000	0.000	0.000	0.000	0.000	0.000	0.000
		1.35-PP	N	-15.193	-15.180	-15.166	-15.153	-15.140	-15.126	-15.113	-15.100	-15.086	-15.086
			Vy	0.000	0.000	0.000	0.000	0.000	0.000	0.000	0.000	0.000	0.000
			Vz	-0.133	-0.133	-0.133	-0.133	-0.133	-0.133	-0.133	-0.133	-0.133	-0.133
			Mt	0.000	0.000	0.000	0.000	0.000	0.000	0.000	0.000	0.000	0.000
			My	-0.172	-0.110	-0.048	0.014	0.076	0.138	0.200	0.262	0.324	0.324
			Mz	0.000	0.000	0.000	0.000	0.000	0.000	0.000	0.000	0.000	0.000
		0.8-PP+1.5-V1(1)	N	-9.003	-8.995	-8.988	-8.980	-8.972	-8.964	-8.956	-8.948	-8.940	-8.940
			Vy	-0.004	-0.004	-0.004	-0.004	-0.004	-0.004	-0.004	-0.004	-0.004	-0.004
			Vz	-0.079	-0.079	-0.079	-0.079	-0.079	-0.079	-0.079	-0.079	-0.079	-0.079
			Mt	0.000	0.000	0.000	0.000	0.000	0.000	0.000	0.000	0.000	0.000
			My	-0.102	-0.065	-0.029	0.008	0.045	0.082	0.118	0.155	0.192	0.192
			Mz	-0.017	-0.015	-0.013	-0.011	-0.008	-0.006	-0.004	-0.002	0.000	0.000
	1.35-PP+1.5-V1(1)	N	-15.193	-15.180	-15.166	-15.153	-15.140	-15.126	-15.113	-15.100	-15.086	-15.086	
		Vy	-0.004	-0.004	-0.004	-0.004	-0.004	-0.004	-0.004	-0.004	-0.004	-0.004	



Listados

FORJADORADIOQIROFANOCUBIERTADEF20220908

Fecha: 08/09/22

Esfuerzos en barras, por combinación													
Barra	Combinación		Esfuerzo	Posiciones en la barra									
	Tipo	Descripción		0.000 m	0.468 m	0.935 m	1.403 m	1.870 m	2.338 m	2.805 m	3.273 m	3.740 m	
			Vz	-0.133	-0.133	-0.133	-0.133	-0.133	-0.133	-0.133	-0.133	-0.133	-0.133
			Mt	0.000	0.000	0.000	0.000	0.000	0.000	0.000	0.000	0.000	0.000
			My	-0.172	-0.110	-0.048	0.014	0.076	0.138	0.200	0.262	0.324	0.324
			Mz	-0.017	-0.015	-0.013	-0.011	-0.008	-0.006	-0.004	-0.002	0.000	0.000
		0.8-PP+1.5-V1(2)	N	-8.907	-8.899	-8.891	-8.883	-8.875	-8.867	-8.860	-8.852	-8.844	-8.844
			Vy	0.000	0.000	0.000	0.000	0.000	0.000	0.000	0.000	0.000	0.000
			Vz	-0.260	-0.260	-0.260	-0.260	-0.260	-0.260	-0.260	-0.260	-0.260	-0.260
			Mt	0.000	0.000	0.000	0.000	0.000	0.000	0.000	0.000	0.000	0.000
			My	-0.444	-0.322	-0.201	-0.080	0.042	0.163	0.284	0.406	0.527	0.527
			Mz	0.000	0.000	0.000	0.000	0.000	0.000	0.000	0.000	0.000	0.000
		1.35-PP+1.5-V1(2)	N	-15.097	-15.084	-15.070	-15.057	-15.043	-15.030	-15.017	-15.003	-14.990	-14.990
			Vy	0.000	0.000	0.000	0.000	0.000	0.000	0.000	0.000	0.000	0.000
			Vz	-0.314	-0.314	-0.314	-0.314	-0.314	-0.314	-0.314	-0.314	-0.314	-0.314
			Mt	0.000	0.000	0.000	0.000	0.000	0.000	0.000	0.000	0.000	0.000
			My	-0.514	-0.367	-0.221	-0.074	0.072	0.219	0.366	0.512	0.659	0.659
			Mz	0.000	0.000	0.000	0.000	0.000	0.000	0.000	0.000	0.000	0.000
		0.8-PP+1.5-N1	N	-10.329	-10.321	-10.313	-10.305	-10.297	-10.289	-10.281	-10.273	-10.265	-10.265
			Vy	0.000	0.000	0.000	0.000	0.000	0.000	0.000	0.000	0.000	0.000
			Vz	-0.092	-0.092	-0.092	-0.092	-0.092	-0.092	-0.092	-0.092	-0.092	-0.092
			Mt	0.000	0.000	0.000	0.000	0.000	0.000	0.000	0.000	0.000	0.000
			My	-0.120	-0.077	-0.034	0.010	0.053	0.096	0.139	0.182	0.225	0.225
			Mz	0.000	0.000	0.000	0.000	0.000	0.000	0.000	0.000	0.000	0.000
		1.35-PP+1.5-N1	N	-16.519	-16.505	-16.492	-16.478	-16.465	-16.452	-16.438	-16.425	-16.412	-16.412
			Vy	0.000	0.000	0.000	0.000	0.000	0.000	0.000	0.000	0.000	0.000
			Vz	-0.146	-0.146	-0.146	-0.146	-0.146	-0.146	-0.146	-0.146	-0.146	-0.146
			Mt	0.000	0.000	0.000	0.000	0.000	0.000	0.000	0.000	0.000	0.000
			My	-0.190	-0.122	-0.053	0.015	0.084	0.152	0.220	0.289	0.357	0.357
			Mz	0.000	0.000	0.000	0.000	0.000	0.000	0.000	0.000	0.000	0.000
		0.8-PP+0.9-V1(1)+1.5-N1	N	-10.329	-10.321	-10.313	-10.305	-10.297	-10.289	-10.281	-10.273	-10.265	-10.265
			Vy	-0.003	-0.003	-0.003	-0.003	-0.003	-0.003	-0.003	-0.003	-0.003	-0.003
			Vz	-0.092	-0.092	-0.092	-0.092	-0.092	-0.092	-0.092	-0.092	-0.092	-0.092
			Mt	0.000	0.000	0.000	0.000	0.000	0.000	0.000	0.000	0.000	0.000
			My	-0.120	-0.077	-0.034	0.010	0.053	0.096	0.139	0.182	0.225	0.225
			Mz	-0.010	-0.009	-0.008	-0.006	-0.005	-0.004	-0.003	-0.001	0.000	0.000
		1.35-PP+0.9-V1(1)+1.5-N1	N	-16.519	-16.505	-16.492	-16.478	-16.465	-16.452	-16.438	-16.425	-16.412	-16.412
			Vy	-0.003	-0.003	-0.003	-0.003	-0.003	-0.003	-0.003	-0.003	-0.003	-0.003
			Vz	-0.146	-0.146	-0.146	-0.146	-0.146	-0.146	-0.146	-0.146	-0.146	-0.146
			Mt	0.000	0.000	0.000	0.000	0.000	0.000	0.000	0.000	0.000	0.000
			My	-0.190	-0.122	-0.053	0.015	0.084	0.152	0.220	0.289	0.357	0.357
			Mz	-0.010	-0.009	-0.008	-0.006	-0.005	-0.004	-0.003	-0.001	0.000	0.000
		0.8-PP+0.9-V1(2)+1.5-N1	N	-10.271	-10.263	-10.255	-10.247	-10.239	-10.231	-10.223	-10.215	-10.208	-10.208
			Vy	0.000	0.000	0.000	0.000	0.000	0.000	0.000	0.000	0.000	0.000
			Vz	-0.201	-0.201	-0.201	-0.201	-0.201	-0.201	-0.201	-0.201	-0.201	-0.201
			Mt	0.000	0.000	0.000	0.000	0.000	0.000	0.000	0.000	0.000	0.000
			My	-0.325	-0.231	-0.137	-0.043	0.051	0.145	0.239	0.332	0.426	0.426
			Mz	0.000	0.000	0.000	0.000	0.000	0.000	0.000	0.000	0.000	0.000
		1.35-PP+0.9-V1(2)+1.5-N1	N	-16.461	-16.447	-16.434	-16.421	-16.407	-16.394	-16.381	-16.367	-16.354	-16.354
			Vy	0.000	0.000	0.000	0.000	0.000	0.000	0.000	0.000	0.000	0.000
			Vz	-0.255	-0.255	-0.255	-0.255	-0.255	-0.255	-0.255	-0.255	-0.255	-0.255
			Mt	0.000	0.000	0.000	0.000	0.000	0.000	0.000	0.000	0.000	0.000
			My	-0.395	-0.276	-0.157	-0.038	0.082	0.201	0.320	0.439	0.558	0.558
			Mz	0.000	0.000	0.000	0.000	0.000	0.000	0.000	0.000	0.000	0.000
		0.8-PP+1.5-V1(1)+0.75-N1	N	-9.666	-9.658	-9.650	-9.642	-9.634	-9.626	-9.619	-9.611	-9.603	-9.603
			Vy	-0.004	-0.004	-0.004	-0.004	-0.004	-0.004	-0.004	-0.004	-0.004	-0.004
			Vz	-0.085	-0.085	-0.085	-0.085	-0.085	-0.085	-0.085	-0.085	-0.085	-0.085
			Mt	0.000	0.000	0.000	0.000	0.000	0.000	0.000	0.000	0.000	0.000
			My	-0.111	-0.071	-0.031	0.009	0.049	0.089	0.129	0.169	0.209	0.209
			Mz	-0.017	-0.015	-0.013	-0.011	-0.008	-0.006	-0.004	-0.002	0.000	0.000
		1.35-PP+1.5-V1(1)+0.75-N1	N	-15.856	-15.843	-15.829	-15.816	-15.802	-15.789	-15.776	-15.762	-15.749	-15.749
			Vy	-0.004	-0.004	-0.004	-0.004	-0.004	-0.004	-0.004	-0.004	-0.004	-0.004
			Vz	-0.139	-0.139	-0.139	-0.139	-0.139	-0.139	-0.139	-0.139	-0.139	-0.139
			Mt	0.000	0.000	0.000	0.000	0.000	0.000	0.000	0.000	0.000	0.000
			My	-0.181	-0.116	-0.051	0.014	0.080	0.145	0.210	0.275	0.340	0.340
			Mz	-0.017	-0.015	-0.013	-0.011	-0.008	-0.006	-0.004	-0.002	0.000	0.000
		0.8-PP+1.5-V1(2)+0.75-N1	N	-9.570	-9.562	-9.554	-9.546	-9.538	-9.530	-9.522	-9.514	-9.506	-9.506
			Vy	0.000	0.000	0.000	0.000	0.000	0.000	0.000	0.000	0.000	0.000
			Vz	-0.266	-0.266	-0.266	-0.266	-0.266	-0.266	-0.266	-0.266	-0.266	-0.266
			Mt	0.000	0.000	0.000	0.000	0.000	0.000	0.000	0.000	0.000	0.000
			My	-0.453	-0.328	-0.204	-0.079	0.045	0.170	0.295	0.419	0.544	0.544
			Mz	0.000	0.000	0.000	0.000	0.000	0.000	0.000	0.000	0.000	0.000
		1.35-PP+1.5-V1(2)+0.75-N1	N	-15.760	-15.746	-15.733	-15.719	-15.706	-15.693	-15.679	-15.666	-15.653	-15.653
			Vy	0.000	0.000	0.000	0.000	0.000	0.000	0.000	0.000	0.000	0.000
			Vz	-0.320	-0.320	-0.320	-0.320	-0.320	-0.320	-0.320	-0.320	-0.320	-0.320
			Mt	0.000	0.000	0.000	0.000	0.000	0.000	0.000	0.000	0.000	0.000
			My	-0.523	-0.373	-0.223	-0.073	0.076	0.226	0.376	0.526	0.676	0.676
			Mz	0.000	0.000	0.000	0.000	0.000	0.000	0.000	0.000	0.000	0.000
		0.8-PP+1.5-Q1	N	-11.212	-11.204	-11.196	-11.189	-11.181	-11.173	-11.165	-11.157	-11.149	-11.149
			Vv	0.000	0.000	0.000	0.000	0.000	0.000	0.000	0.000	0.000	0.000



Listados

FORJADORADIOQIROFANOCUBIERTADEF20220908

Fecha: 08/09/22

Esfuerzos en barras, por combinación												
Barra	Combinación		Esfuerzo	Posiciones en la barra								
	Tipo	Descripción		0.000 m	0.468 m	0.935 m	1.403 m	1.870 m	2.338 m	2.805 m	3.273 m	3.740 m
			Vz	-0.101	-0.101	-0.101	-0.101	-0.101	-0.101	-0.101	-0.101	-0.101
			Mt	0.000	0.000	0.000	0.000	0.000	0.000	0.000	0.000	0.000
			My	-0.132	-0.084	-0.037	0.011	0.058	0.105	0.153	0.200	0.248
			Mz	0.000	0.000	0.000	0.000	0.000	0.000	0.000	0.000	0.000
		1.35-PP+1.5-Q1	N	-17.402	-17.389	-17.375	-17.362	-17.349	-17.335	-17.322	-17.309	-17.295
			Vy	0.000	0.000	0.000	0.000	0.000	0.000	0.000	0.000	0.000
			Vz	-0.155	-0.155	-0.155	-0.155	-0.155	-0.155	-0.155	-0.155	-0.155
			Mt	0.000	0.000	0.000	0.000	0.000	0.000	0.000	0.000	0.000
			My	-0.202	-0.129	-0.057	0.016	0.089	0.161	0.234	0.307	0.379
			Mz	0.000	0.000	0.000	0.000	0.000	0.000	0.000	0.000	0.000

Esfuerzos en barras, por combinación													
Barra	Combinación		Esfuerzo	Posiciones en la barra									
	Tipo	Descripción		0.000 m	0.468 m	0.935 m	1.403 m	1.870 m	2.338 m	2.805 m	3.273 m	3.740 m	
N50/N28	Acero laminado	0.8-PP	N	-11.788	-11.780	-11.772	-11.764	-11.756	-11.748	-11.740	-11.732	-11.725	
			Vy	0.000	0.000	0.000	0.000	0.000	0.000	0.000	0.000	0.000	0.000
			Vz	0.122	0.122	0.122	0.122	0.122	0.122	0.122	0.122	0.122	0.122
			Mt	0.000	0.000	0.000	0.000	0.000	0.000	0.000	0.000	0.000	0.000
			My	0.147	0.090	0.033	-0.024	-0.081	-0.138	-0.195	-0.252	-0.309	-0.309
			Mz	0.000	0.000	0.000	0.000	0.000	0.000	0.000	0.000	0.000	0.000
		1.35-PP	N	-19.892	-19.879	-19.865	-19.852	-19.839	-19.825	-19.812	-19.799	-19.785	-19.785
			Vy	0.000	0.000	0.000	0.000	0.000	0.000	0.000	0.000	0.000	0.000
			Vz	0.206	0.206	0.206	0.206	0.206	0.206	0.206	0.206	0.206	0.206
			Mt	0.000	0.000	0.000	0.000	0.000	0.000	0.000	0.000	0.000	0.000
			My	0.248	0.151	0.055	-0.041	-0.137	-0.233	-0.329	-0.426	-0.522	-0.522
			Mz	0.000	0.000	0.000	0.000	0.000	0.000	0.000	0.000	0.000	0.000
		0.8-PP+1.5-V1(1)	N	-11.788	-11.780	-11.772	-11.764	-11.756	-11.748	-11.740	-11.732	-11.725	-11.725
			Vy	0.002	0.002	0.002	0.002	0.002	0.002	0.002	0.002	0.002	0.002
			Vz	0.122	0.122	0.122	0.122	0.122	0.122	0.122	0.122	0.122	0.122
			Mt	0.000	0.000	0.000	0.000	0.000	0.000	0.000	0.000	0.000	0.000
			My	0.147	0.090	0.033	-0.024	-0.081	-0.138	-0.195	-0.252	-0.310	-0.310
			Mz	0.009	0.007	0.006	0.005	0.004	0.003	0.002	0.001	0.000	0.000
		1.35-PP+1.5-V1(1)	N	-19.892	-19.879	-19.865	-19.852	-19.839	-19.825	-19.812	-19.799	-19.785	-19.785
			Vy	0.002	0.002	0.002	0.002	0.002	0.002	0.002	0.002	0.002	0.002
			Vz	0.206	0.206	0.206	0.206	0.206	0.206	0.206	0.206	0.206	0.206
			Mt	0.000	0.000	0.000	0.000	0.000	0.000	0.000	0.000	0.000	0.000
			My	0.248	0.152	0.055	-0.041	-0.137	-0.233	-0.330	-0.426	-0.522	-0.522
			Mz	0.009	0.007	0.006	0.005	0.004	0.003	0.002	0.001	0.000	0.000
		0.8-PP+1.5-V1(2)	N	-11.863	-11.855	-11.847	-11.839	-11.831	-11.823	-11.815	-11.808	-11.800	-11.800
			Vy	0.000	0.000	0.000	0.000	0.000	0.000	0.000	0.000	0.000	0.000
			Vz	-0.060	-0.060	-0.060	-0.060	-0.060	-0.060	-0.060	-0.060	-0.060	-0.060
			Mt	0.000	0.000	0.000	0.000	0.000	0.000	0.000	0.000	0.000	0.000
			My	-0.196	-0.168	-0.140	-0.112	-0.084	-0.056	-0.028	0.001	0.029	0.029
			Mz	0.000	0.000	0.000	0.000	0.000	0.000	0.000	0.000	0.000	0.000
		1.35-PP+1.5-V1(2)	N	-19.967	-19.954	-19.940	-19.927	-19.914	-19.900	-19.887	-19.874	-19.860	-19.860
			Vy	0.000	0.000	0.000	0.000	0.000	0.000	0.000	0.000	0.000	0.000
			Vz	0.024	0.024	0.024	0.024	0.024	0.024	0.024	0.024	0.024	0.024
			Mt	0.000	0.000	0.000	0.000	0.000	0.000	0.000	0.000	0.000	0.000
			My	-0.095	-0.106	-0.117	-0.129	-0.140	-0.151	-0.162	-0.173	-0.184	-0.184
			Mz	0.000	0.000	0.000	0.000	0.000	0.000	0.000	0.000	0.000	0.000
		0.8-PP+1.5-N1	N	-13.596	-13.588	-13.580	-13.572	-13.564	-13.556	-13.549	-13.541	-13.533	-13.533
			Vy	0.000	0.000	0.000	0.000	0.000	0.000	0.000	0.000	0.000	0.000
			Vz	0.143	0.143	0.143	0.143	0.143	0.143	0.143	0.143	0.143	0.143
			Mt	0.000	0.000	0.000	0.000	0.000	0.000	0.000	0.000	0.000	0.000
			My	0.172	0.105	0.038	-0.028	-0.095	-0.162	-0.229	-0.296	-0.363	-0.363
			Mz	0.000	0.000	0.000	0.000	0.000	0.000	0.000	0.000	0.000	0.000
		1.35-PP+1.5-N1	N	-21.700	-21.687	-21.674	-21.660	-21.647	-21.633	-21.620	-21.607	-21.593	-21.593
			Vy	0.000	0.000	0.000	0.000	0.000	0.000	0.000	0.000	0.000	0.000
			Vz	0.227	0.227	0.227	0.227	0.227	0.227	0.227	0.227	0.227	0.227
			Mt	0.000	0.000	0.000	0.000	0.000	0.000	0.000	0.000	0.000	0.000
			My	0.273	0.167	0.061	-0.045	-0.151	-0.257	-0.363	-0.469	-0.575	-0.575
			Mz	0.000	0.000	0.000	0.000	0.000	0.000	0.000	0.000	0.000	0.000
		0.8-PP+0.9-V1(1)+1.5-N1	N	-13.596	-13.588	-13.580	-13.572	-13.564	-13.556	-13.549	-13.541	-13.533	-13.533
			Vy	0.001	0.001	0.001	0.001	0.001	0.001	0.001	0.001	0.001	0.001
			Vz	0.143	0.143	0.143	0.143	0.143	0.143	0.143	0.143	0.143	0.143
			Mt	0.000	0.000	0.000	0.000	0.000	0.000	0.000	0.000	0.000	0.000
			My	0.172	0.105	0.039	-0.028	-0.095	-0.162	-0.229	-0.296	-0.363	-0.363
			Mz	0.005	0.004	0.004	0.003	0.003	0.002	0.001	0.001	0.000	0.000
		1.35-PP+0.9-V1(1)+1.5-N1	N	-21.700	-21.687	-21.674	-21.660	-21.647	-21.633	-21.620	-21.607	-21.593	-21.593
			Vy	0.001	0.001	0.001	0.001	0.001	0.001	0.001	0.001	0.001	0.001
			Vz	0.227	0.227	0.227	0.227	0.227	0.227	0.227	0.227	0.227	0.227
			Mt	0.000	0.000	0.000	0.000	0.000	0.000	0.000	0.000	0.000	0.000
			My	0.273	0.167	0.061	-0.045	-0.151	-0.257	-0.363	-0.469	-0.576	-0.576
			Mz	0.005	0.004	0.004	0.003	0.003	0.002	0.001	0.001	0.000	0.000
		0.8-PP+0.9-V1(2)+1.5-N1	N	-13.641	-13.633	-13.625	-13.617	-13.609	-13.601	-13.594	-13.586	-13.578	-13.578
			Vy	0.000	0.000	0.000	0.000	0.000	0.000	0.000	0.000	0.000	0.000
			Vz	0.034	0.034	0.034	0.034	0.034	0.034	0.034	0.034	0.034	0.034



Listados

FORJADORADIOQIROFANOCUBIERTADEF20220908

Fecha: 08/09/22

Esfuerzos en barras, por combinación												
Barra	Combinación		Esfuerzo	Posiciones en la barra								
	Tipo	Descripción		0.000 m	0.468 m	0.935 m	1.403 m	1.870 m	2.338 m	2.805 m	3.273 m	3.740 m
			Mt	0.000	0.000	0.000	0.000	0.000	0.000	0.000	0.000	0.000
			My	-0.034	-0.049	-0.065	-0.081	-0.097	-0.113	-0.128	-0.144	-0.160
			Mz	0.000	0.000	0.000	0.000	0.000	0.000	0.000	0.000	0.000
		1.35-PP+0.9-V1(2)+1.5-N1	N	-21.745	-21.732	-21.719	-21.705	-21.692	-21.678	-21.665	-21.652	-21.638
			Vy	0.000	0.000	0.000	0.000	0.000	0.000	0.000	0.000	0.000
			Vz	0.118	0.118	0.118	0.118	0.118	0.118	0.118	0.118	0.118
			Mt	0.000	0.000	0.000	0.000	0.000	0.000	0.000	0.000	0.000
			My	0.067	0.012	-0.043	-0.098	-0.153	-0.208	-0.263	-0.318	-0.373
			Mz	0.000	0.000	0.000	0.000	0.000	0.000	0.000	0.000	0.000
		0.8-PP+1.5-V1(1)+0.75-N1	N	-12.692	-12.684	-12.676	-12.668	-12.660	-12.652	-12.644	-12.637	-12.629
			Vy	0.002	0.002	0.002	0.002	0.002	0.002	0.002	0.002	0.002
			Vz	0.133	0.133	0.133	0.133	0.133	0.133	0.133	0.133	0.133
			Mt	0.000	0.000	0.000	0.000	0.000	0.000	0.000	0.000	0.000
			My	0.160	0.098	0.036	-0.026	-0.088	-0.150	-0.212	-0.274	-0.336
			Mz	0.009	0.007	0.006	0.005	0.004	0.003	0.002	0.001	0.000
		1.35-PP+1.5-V1(1)+0.75-N1	N	-20.796	-20.783	-20.770	-20.756	-20.743	-20.729	-20.716	-20.703	-20.689
			Vy	0.002	0.002	0.002	0.002	0.002	0.002	0.002	0.002	0.002
			Vz	0.216	0.216	0.216	0.216	0.216	0.216	0.216	0.216	0.216
			Mt	0.000	0.000	0.000	0.000	0.000	0.000	0.000	0.000	0.000
			My	0.261	0.159	0.058	-0.043	-0.144	-0.245	-0.347	-0.448	-0.549
			Mz	0.009	0.007	0.006	0.005	0.004	0.003	0.002	0.001	0.000
		0.8-PP+1.5-V1(2)+0.75-N1	N	-12.767	-12.759	-12.751	-12.743	-12.735	-12.727	-12.720	-12.712	-12.704
			Vy	0.000	0.000	0.000	0.000	0.000	0.000	0.000	0.000	0.000
			Vz	-0.050	-0.050	-0.050	-0.050	-0.050	-0.050	-0.050	-0.050	-0.050
			Mt	0.000	0.000	0.000	0.000	0.000	0.000	0.000	0.000	0.000
			My	-0.183	-0.160	-0.137	-0.114	-0.091	-0.068	-0.045	-0.021	0.002
			Mz	0.000	0.000	0.000	0.000	0.000	0.000	0.000	0.000	0.000
		1.35-PP+1.5-V1(2)+0.75-N1	N	-20.871	-20.858	-20.845	-20.831	-20.818	-20.804	-20.791	-20.778	-20.764
			Vy	0.000	0.000	0.000	0.000	0.000	0.000	0.000	0.000	0.000
			Vz	0.034	0.034	0.034	0.034	0.034	0.034	0.034	0.034	0.034
			Mt	0.000	0.000	0.000	0.000	0.000	0.000	0.000	0.000	0.000
			My	-0.083	-0.099	-0.115	-0.131	-0.147	-0.163	-0.179	-0.195	-0.211
			Mz	0.000	0.000	0.000	0.000	0.000	0.000	0.000	0.000	0.000
		0.8-PP+1.5-Q1	N	-14.802	-14.794	-14.786	-14.778	-14.770	-14.762	-14.754	-14.746	-14.738
			Vy	0.000	0.000	0.000	0.000	0.000	0.000	0.000	0.000	0.000
			Vz	0.157	0.157	0.157	0.157	0.157	0.157	0.157	0.157	0.157
			Mt	0.000	0.000	0.000	0.000	0.000	0.000	0.000	0.000	0.000
			My	0.189	0.116	0.042	-0.031	-0.105	-0.178	-0.252	-0.325	-0.399
			Mz	0.000	0.000	0.000	0.000	0.000	0.000	0.000	0.000	0.000
		1.35-PP+1.5-Q1	N	-22.906	-22.892	-22.879	-22.866	-22.852	-22.839	-22.826	-22.812	-22.799
			Vy	0.000	0.000	0.000	0.000	0.000	0.000	0.000	0.000	0.000
			Vz	0.241	0.241	0.241	0.241	0.241	0.241	0.241	0.241	0.241
			Mt	0.000	0.000	0.000	0.000	0.000	0.000	0.000	0.000	0.000
			My	0.290	0.177	0.065	-0.048	-0.161	-0.273	-0.386	-0.498	-0.611
			Mz	0.000	0.000	0.000	0.000	0.000	0.000	0.000	0.000	0.000

Esfuerzos en barras, por combinación													
Barra	Combinación		Esfuerzo	Posiciones en la barra									
	Tipo	Descripción		0.000 m	0.468 m	0.935 m	1.403 m	1.870 m	2.338 m	2.805 m	3.273 m	3.740 m	
N51/N29	Acero laminado	0.8-PP	N	-8.840	-8.832	-8.824	-8.816	-8.809	-8.801	-8.793	-8.785	-8.777	
			Vy	0.000	0.000	0.000	0.000	0.000	0.000	0.000	0.000	0.000	0.000
			Vz	-0.079	-0.079	-0.079	-0.079	-0.079	-0.079	-0.079	-0.079	-0.079	-0.079
			Mt	0.000	0.000	0.000	0.000	0.000	0.000	0.000	0.000	0.000	0.000
			My	-0.102	-0.065	-0.029	0.008	0.045	0.082	0.119	0.155	0.192	0.192
			Mz	0.000	0.000	0.000	0.000	0.000	0.000	0.000	0.000	0.000	0.000
		1.35-PP	N	-14.918	-14.905	-14.891	-14.878	-14.864	-14.851	-14.838	-14.824	-14.811	-14.811
			Vy	0.000	0.000	0.000	0.000	0.000	0.000	0.000	0.000	0.000	0.000
			Vz	-0.133	-0.133	-0.133	-0.133	-0.133	-0.133	-0.133	-0.133	-0.133	-0.133
			Mt	0.000	0.000	0.000	0.000	0.000	0.000	0.000	0.000	0.000	0.000
			My	-0.172	-0.110	-0.048	0.014	0.076	0.138	0.200	0.262	0.324	0.324
			Mz	0.000	0.000	0.000	0.000	0.000	0.000	0.000	0.000	0.000	0.000
		0.8-PP+1.5-V1(1)	N	-8.840	-8.832	-8.824	-8.816	-8.809	-8.801	-8.793	-8.785	-8.777	-8.777
			Vy	-0.004	-0.004	-0.004	-0.004	-0.004	-0.004	-0.004	-0.004	-0.004	-0.004
			Vz	-0.078	-0.078	-0.078	-0.078	-0.078	-0.078	-0.078	-0.078	-0.078	-0.078
			Mt	0.000	0.000	0.000	0.000	0.000	0.000	0.000	0.000	0.000	0.000
			My	-0.102	-0.065	-0.028	0.008	0.045	0.082	0.118	0.155	0.192	0.192
			Mz	-0.015	-0.013	-0.011	-0.010	-0.008	-0.006	-0.004	-0.002	0.000	0.000
		1.35-PP+1.5-V1(1)	N	-14.918	-14.905	-14.891	-14.878	-14.864	-14.851	-14.838	-14.824	-14.811	-14.811
			Vy	-0.004	-0.004	-0.004	-0.004	-0.004	-0.004	-0.004	-0.004	-0.004	-0.004
			Vz	-0.133	-0.133	-0.133	-0.133	-0.133	-0.133	-0.133	-0.133	-0.133	-0.133
			Mt	0.000	0.000	0.000	0.000	0.000	0.000	0.000	0.000	0.000	0.000
			My	-0.172	-0.110	-0.048	0.014	0.076	0.138	0.200	0.262	0.324	0.324
			Mz	-0.015	-0.013	-0.011	-0.009	-0.008	-0.006	-0.004	-0.002	0.000	0.000
		0.8-PP+1.5-V1(2)	N	-8.744	-8.736	-8.728	-8.720	-8.712	-8.704	-8.696	-8.688	-8.681	-8.681
			Vy	0.000	0.000	0.000	0.000	0.000	0.000	0.000	0.000	0.000	0.000
			Vz	-0.260	-0.260	-0.260	-0.260	-0.260	-0.260	-0.260	-0.260	-0.260	-0.260
			Mt	0.000	0.000	0.000	0.000	0.000	0.000	0.000	0.000	0.000	0.000
My	0.000		0.000	0.000	0.000	0.000	0.000	0.000	0.000	0.000	0.000		
Mz	0.000		0.000	0.000	0.000	0.000	0.000	0.000	0.000	0.000	0.000		



Listados

FORJADORADIOQIROFANOCUBIERTADEF20220908

Fecha: 08/09/22

Esfuerzos en barras, por combinación												
Barra	Combinación		Esfuerzo	Posiciones en la barra								
	Tipo	Descripción		0.000 m	0.468 m	0.935 m	1.403 m	1.870 m	2.338 m	2.805 m	3.273 m	3.740 m
			My	-0.444	-0.322	-0.201	-0.080	0.042	0.163	0.284	0.406	0.527
			Mz	0.000	0.000	0.000	0.000	0.000	0.000	0.000	0.000	0.000
		1.35-PP+1.5-V1(2)	N	-14.822	-14.808	-14.795	-14.781	-14.768	-14.755	-14.741	-14.728	-14.715
			Vy	0.000	0.000	0.000	0.000	0.000	0.000	0.000	0.000	0.000
			Vz	-0.314	-0.314	-0.314	-0.314	-0.314	-0.314	-0.314	-0.314	-0.314
			Mt	0.000	0.000	0.000	0.000	0.000	0.000	0.000	0.000	0.000
			My	-0.514	-0.367	-0.221	-0.074	0.073	0.219	0.366	0.513	0.659
			Mz	0.000	0.000	0.000	0.000	0.000	0.000	0.000	0.000	0.000
		0.8-PP+1.5-N1	N	-10.166	-10.158	-10.150	-10.142	-10.134	-10.126	-10.118	-10.110	-10.102
			Vy	0.000	0.000	0.000	0.000	0.000	0.000	0.000	0.000	0.000
			Vz	-0.092	-0.092	-0.092	-0.092	-0.092	-0.092	-0.092	-0.092	-0.092
			Mt	0.000	0.000	0.000	0.000	0.000	0.000	0.000	0.000	0.000
			My	-0.120	-0.077	-0.033	0.010	0.053	0.096	0.139	0.182	0.226
			Mz	0.000	0.000	0.000	0.000	0.000	0.000	0.000	0.000	0.000
		1.35-PP+1.5-N1	N	-16.243	-16.230	-16.217	-16.203	-16.190	-16.176	-16.163	-16.150	-16.136
			Vy	0.000	0.000	0.000	0.000	0.000	0.000	0.000	0.000	0.000
			Vz	-0.146	-0.146	-0.146	-0.146	-0.146	-0.146	-0.146	-0.146	-0.146
			Mt	0.000	0.000	0.000	0.000	0.000	0.000	0.000	0.000	0.000
			My	-0.190	-0.122	-0.053	0.015	0.084	0.152	0.221	0.289	0.358
			Mz	0.000	0.000	0.000	0.000	0.000	0.000	0.000	0.000	0.000
		0.8-PP+0.9-V1(1)+1.5-N1	N	-10.166	-10.158	-10.150	-10.142	-10.134	-10.126	-10.118	-10.110	-10.102
			Vy	-0.002	-0.002	-0.002	-0.002	-0.002	-0.002	-0.002	-0.002	-0.002
			Vz	-0.092	-0.092	-0.092	-0.092	-0.092	-0.092	-0.092	-0.092	-0.092
			Mt	0.000	0.000	0.000	0.000	0.000	0.000	0.000	0.000	0.000
			My	-0.120	-0.076	-0.033	0.010	0.053	0.096	0.139	0.182	0.225
			Mz	-0.009	-0.008	-0.007	-0.006	-0.005	-0.003	-0.002	-0.001	0.000
		1.35-PP+0.9-V1(1)+1.5-N1	N	-16.243	-16.230	-16.217	-16.203	-16.190	-16.176	-16.163	-16.150	-16.136
			Vy	-0.002	-0.002	-0.002	-0.002	-0.002	-0.002	-0.002	-0.002	-0.002
			Vz	-0.146	-0.146	-0.146	-0.146	-0.146	-0.146	-0.146	-0.146	-0.146
			Mt	0.000	0.000	0.000	0.000	0.000	0.000	0.000	0.000	0.000
			My	-0.190	-0.121	-0.053	0.015	0.084	0.152	0.221	0.289	0.357
			Mz	-0.009	-0.008	-0.007	-0.006	-0.004	-0.003	-0.002	-0.001	0.000
		0.8-PP+0.9-V1(2)+1.5-N1	N	-10.108	-10.100	-10.092	-10.084	-10.076	-10.068	-10.060	-10.052	-10.044
			Vy	0.000	0.000	0.000	0.000	0.000	0.000	0.000	0.000	0.000
			Vz	-0.201	-0.201	-0.201	-0.201	-0.201	-0.201	-0.201	-0.201	-0.201
			Mt	0.000	0.000	0.000	0.000	0.000	0.000	0.000	0.000	0.000
			My	-0.325	-0.231	-0.137	-0.043	0.051	0.145	0.239	0.333	0.427
			Mz	0.000	0.000	0.000	0.000	0.000	0.000	0.000	0.000	0.000
		1.35-PP+0.9-V1(2)+1.5-N1	N	-16.185	-16.172	-16.159	-16.145	-16.132	-16.119	-16.105	-16.092	-16.078
			Vy	0.000	0.000	0.000	0.000	0.000	0.000	0.000	0.000	0.000
			Vz	-0.255	-0.255	-0.255	-0.255	-0.255	-0.255	-0.255	-0.255	-0.255
			Mt	0.000	0.000	0.000	0.000	0.000	0.000	0.000	0.000	0.000
			My	-0.395	-0.276	-0.157	-0.037	0.082	0.201	0.320	0.439	0.559
			Mz	0.000	0.000	0.000	0.000	0.000	0.000	0.000	0.000	0.000
		0.8-PP+1.5-V1(1)+0.75-N1	N	-9.503	-9.495	-9.487	-9.479	-9.471	-9.463	-9.455	-9.447	-9.440
			Vy	-0.004	-0.004	-0.004	-0.004	-0.004	-0.004	-0.004	-0.004	-0.004
			Vz	-0.085	-0.085	-0.085	-0.085	-0.085	-0.085	-0.085	-0.085	-0.085
			Mt	0.000	0.000	0.000	0.000	0.000	0.000	0.000	0.000	0.000
			My	-0.111	-0.071	-0.031	0.009	0.049	0.089	0.129	0.169	0.208
			Mz	-0.015	-0.013	-0.011	-0.010	-0.008	-0.006	-0.004	-0.002	0.000
		1.35-PP+1.5-V1(1)+0.75-N1	N	-15.581	-15.567	-15.554	-15.540	-15.527	-15.514	-15.500	-15.487	-15.474
			Vy	-0.004	-0.004	-0.004	-0.004	-0.004	-0.004	-0.004	-0.004	-0.004
			Vz	-0.139	-0.139	-0.139	-0.139	-0.139	-0.139	-0.139	-0.139	-0.139
			Mt	0.000	0.000	0.000	0.000	0.000	0.000	0.000	0.000	0.000
			My	-0.181	-0.116	-0.050	0.015	0.080	0.145	0.210	0.275	0.341
			Mz	-0.015	-0.013	-0.011	-0.009	-0.008	-0.006	-0.004	-0.002	0.000
		0.8-PP+1.5-V1(2)+0.75-N1	N	-9.407	-9.399	-9.391	-9.383	-9.375	-9.367	-9.359	-9.351	-9.343
			Vy	0.000	0.000	0.000	0.000	0.000	0.000	0.000	0.000	0.000
			Vz	-0.266	-0.266	-0.266	-0.266	-0.266	-0.266	-0.266	-0.266	-0.266
			Mt	0.000	0.000	0.000	0.000	0.000	0.000	0.000	0.000	0.000
			My	-0.453	-0.328	-0.204	-0.079	0.046	0.170	0.295	0.419	0.544
			Mz	0.000	0.000	0.000	0.000	0.000	0.000	0.000	0.000	0.000
		1.35-PP+1.5-V1(2)+0.75-N1	N	-15.484	-15.471	-15.458	-15.444	-15.431	-15.417	-15.404	-15.391	-15.377
			Vy	0.000	0.000	0.000	0.000	0.000	0.000	0.000	0.000	0.000
			Vz	-0.321	-0.321	-0.321	-0.321	-0.321	-0.321	-0.321	-0.321	-0.321
			Mt	0.000	0.000	0.000	0.000	0.000	0.000	0.000	0.000	0.000
			My	-0.523	-0.373	-0.223	-0.073	0.077	0.226	0.376	0.526	0.676
			Mz	0.000	0.000	0.000	0.000	0.000	0.000	0.000	0.000	0.000
		0.8-PP+1.5-Q1	N	-11.049	-11.041	-11.033	-11.025	-11.017	-11.010	-11.002	-10.994	-10.986
			Vy	0.000	0.000	0.000	0.000	0.000	0.000	0.000	0.000	0.000
			Vz	-0.101	-0.101	-0.101	-0.101	-0.101	-0.101	-0.101	-0.101	-0.101
			Mt	0.000	0.000	0.000	0.000	0.000	0.000	0.000	0.000	0.000
			My	-0.132	-0.084	-0.037	0.011	0.058	0.106	0.153	0.200	0.248
			Mz	0.000	0.000	0.000	0.000	0.000	0.000	0.000	0.000	0.000
		1.35-PP+1.5-Q1	N	-17.127	-17.113	-17.100	-17.087	-17.073	-17.060	-17.047	-17.033	-17.020
			Vy	0.000	0.000	0.000	0.000	0.000	0.000	0.000	0.000	0.000
			Vz	-0.156	-0.156	-0.156	-0.156	-0.156	-0.156	-0.156	-0.156	-0.156
			Mt	0.000	0.000	0.000	0.000	0.000	0.000	0.000	0.000	0.000



Listados

FORJADORADIOQIROFANOCUBIERTADEF20220908

Fecha: 08/09/22

Barra	Esfuerzos en barras, por combinación											
	Combinación		Esfuerzo	Posiciones en la barra								
	Tipo	Descripción		0.000 m	0.468 m	0.935 m	1.403 m	1.870 m	2.338 m	2.805 m	3.273 m	3.740 m
			My	-0.202	-0.129	-0.056	0.016	0.089	0.162	0.234	0.307	0.380
			Mz	0.000	0.000	0.000	0.000	0.000	0.000	0.000	0.000	0.000

3.1.1.3. Envoltentes

Barra	Tipo de combinación	Esfuerzo	Envoltentes de los esfuerzos en barras								
			Posiciones en la barra								
			0.000 m	0.468 m	0.935 m	1.403 m	1.870 m	2.338 m	2.805 m	3.273 m	3.740 m
N42/N18	Acero laminado	N _{min}	-23.172	-23.159	-23.145	-23.132	-23.119	-23.105	-23.092	-23.078	-23.065
		N _{max}	-11.946	-11.938	-11.930	-11.922	-11.914	-11.906	-11.898	-11.890	-11.882
		Vy _{min}	0.000	0.000	0.000	0.000	0.000	0.000	0.000	0.000	0.000
		Vy _{max}	0.002	0.002	0.002	0.002	0.002	0.002	0.002	0.002	0.002
		Vz _{min}	-0.048	-0.048	-0.048	-0.048	-0.048	-0.048	-0.048	-0.048	-0.048
		Vz _{max}	0.241	0.241	0.241	0.241	0.241	0.241	0.241	0.241	0.241
		Mt _{min}	0.000	0.000	0.000	0.000	0.000	0.000	0.000	0.000	0.000
		Mt _{max}	0.000	0.000	0.000	0.000	0.000	0.000	0.000	0.000	0.000
		My _{min}	-0.174	-0.151	-0.129	-0.125	-0.161	-0.273	-0.386	-0.499	-0.612
		My _{max}	0.291	0.178	0.065	-0.024	-0.081	-0.061	-0.039	-0.016	0.007
		Mz _{min}	0.000	0.000	0.000	0.000	0.000	0.000	0.000	0.000	0.000
		Mz _{max}	0.007	0.006	0.005	0.004	0.003	0.003	0.002	0.001	0.000

Barra	Tipo de combinación	Esfuerzo	Envoltentes de los esfuerzos en barras								
			Posiciones en la barra								
			0.000 m	0.468 m	0.935 m	1.403 m	1.870 m	2.338 m	2.805 m	3.273 m	3.740 m
N43/N19	Acero laminado	N _{min}	-16.995	-16.982	-16.969	-16.955	-16.942	-16.928	-16.915	-16.902	-16.888
		N _{max}	-8.665	-8.657	-8.649	-8.641	-8.633	-8.625	-8.617	-8.609	-8.601
		Vy _{min}	-0.009	-0.009	-0.009	-0.009	-0.009	-0.009	-0.009	-0.009	-0.009
		Vy _{max}	0.000	0.000	0.000	0.000	0.000	0.000	0.000	0.000	0.000
		Vz _{min}	-0.308	-0.308	-0.308	-0.308	-0.308	-0.308	-0.308	-0.308	-0.308
		Vz _{max}	-0.078	-0.078	-0.078	-0.078	-0.078	-0.078	-0.078	-0.078	-0.078
		Mt _{min}	0.000	0.000	0.000	0.000	0.000	0.000	0.000	0.000	0.000
		Mt _{max}	0.000	0.000	0.000	0.000	0.000	0.000	0.000	0.000	0.000
		My _{min}	-0.500	-0.356	-0.212	-0.074	0.042	0.081	0.118	0.154	0.190
		My _{max}	-0.100	-0.064	-0.028	0.016	0.089	0.221	0.365	0.509	0.653
		Mz _{min}	-0.032	-0.028	-0.024	-0.020	-0.016	-0.012	-0.008	-0.004	0.000
		Mz _{max}	-0.001	-0.001	-0.001	0.000	0.000	0.000	0.000	0.000	0.000

Barra	Tipo de combinación	Esfuerzo	Envoltentes de los esfuerzos en barras								
			Posiciones en la barra								
			0.000 m	0.468 m	0.935 m	1.403 m	1.870 m	2.338 m	2.805 m	3.273 m	3.740 m
N46/N23	Acero laminado	N _{min}	-23.844	-23.831	-23.818	-23.804	-23.791	-23.777	-23.764	-23.751	-23.737
		N _{max}	-12.344	-12.336	-12.328	-12.320	-12.312	-12.305	-12.297	-12.289	-12.281
		Vy _{min}	0.000	0.000	0.000	0.000	0.000	0.000	0.000	0.000	0.000
		Vy _{max}	0.002	0.002	0.002	0.002	0.002	0.002	0.002	0.002	0.002
		Vz _{min}	-0.060	-0.060	-0.060	-0.060	-0.060	-0.060	-0.060	-0.060	-0.060
		Vz _{max}	0.241	0.241	0.241	0.241	0.241	0.241	0.241	0.241	0.241
		Mt _{min}	0.000	0.000	0.000	0.000	0.000	0.000	0.000	0.000	0.000
		Mt _{max}	0.000	0.000	0.000	0.000	0.000	0.000	0.000	0.000	0.000
		My _{min}	-0.196	-0.168	-0.140	-0.131	-0.161	-0.273	-0.386	-0.498	-0.611
		My _{max}	0.290	0.177	0.064	-0.024	-0.081	-0.056	-0.028	0.001	0.029
		Mz _{min}	0.000	0.000	0.000	0.000	0.000	0.000	0.000	0.000	0.000
		Mz _{max}	0.009	0.007	0.006	0.005	0.004	0.003	0.002	0.001	0.000

Barra	Tipo de combinación	Esfuerzo	Envoltentes de los esfuerzos en barras								
			Posiciones en la barra								
			0.000 m	0.468 m	0.935 m	1.403 m	1.870 m	2.338 m	2.805 m	3.273 m	3.740 m
N47/N24	Acero laminado	N _{min}	-17.402	-17.389	-17.375	-17.362	-17.349	-17.335	-17.322	-17.309	-17.295
		N _{max}	-8.907	-8.899	-8.891	-8.883	-8.875	-8.867	-8.860	-8.852	-8.844
		Vy _{min}	-0.004	-0.004	-0.004	-0.004	-0.004	-0.004	-0.004	-0.004	-0.004
		Vy _{max}	0.000	0.000	0.000	0.000	0.000	0.000	0.000	0.000	0.000
		Vz _{min}	-0.320	-0.320	-0.320	-0.320	-0.320	-0.320	-0.320	-0.320	-0.320
		Vz _{max}	0.000	0.000	0.000	0.000	0.000	0.000	0.000	0.000	0.000



Listados

FORJADORADIOQIROFANOCUBIERTADEF20220908

Fecha: 08/09/22

Envoltorios de los esfuerzos en barras										
Barra	Tipo de combinación	Esfuerzo	Posiciones en la barra							
			0.000 m	0.468 m	0.935 m	1.403 m	1.870 m	2.338 m	2.805 m	3.273 m
		$V_{z_{máx}}$	-0.079	-0.079	-0.079	-0.079	-0.079	-0.079	-0.079	-0.079
		$M_{t_{mín}}$	0.000	0.000	0.000	0.000	0.000	0.000	0.000	0.000
		$M_{t_{máx}}$	0.000	0.000	0.000	0.000	0.000	0.000	0.000	0.000
		$M_{y_{mín}}$	-0.523	-0.373	-0.223	-0.080	0.042	0.082	0.118	0.155
		$M_{y_{máx}}$	-0.102	-0.065	-0.029	0.016	0.089	0.226	0.376	0.526
		$M_{z_{mín}}$	-0.017	-0.015	-0.013	-0.011	-0.008	-0.006	-0.004	-0.002
		$M_{z_{máx}}$	0.000	0.000	0.000	0.000	0.000	0.000	0.000	0.000

Envoltorios de los esfuerzos en barras										
Barra	Tipo de combinación	Esfuerzo	Posiciones en la barra							
			0.000 m	0.468 m	0.935 m	1.403 m	1.870 m	2.338 m	2.805 m	3.273 m
N50/N28	Acero laminado	$N_{mín}$	-22.906	-22.892	-22.879	-22.866	-22.852	-22.839	-22.826	-22.812
		$N_{máx}$	-11.788	-11.780	-11.772	-11.764	-11.756	-11.748	-11.740	-11.732
		$V_{y_{mín}}$	0.000	0.000	0.000	0.000	0.000	0.000	0.000	0.000
		$V_{y_{máx}}$	0.002	0.002	0.002	0.002	0.002	0.002	0.002	0.002
		$V_{z_{mín}}$	-0.060	-0.060	-0.060	-0.060	-0.060	-0.060	-0.060	-0.060
		$V_{z_{máx}}$	0.241	0.241	0.241	0.241	0.241	0.241	0.241	0.241
		$M_{t_{mín}}$	0.000	0.000	0.000	0.000	0.000	0.000	0.000	0.000
		$M_{t_{máx}}$	0.000	0.000	0.000	0.000	0.000	0.000	0.000	0.000
		$M_{y_{mín}}$	-0.196	-0.168	-0.140	-0.131	-0.161	-0.273	-0.386	-0.498
		$M_{y_{máx}}$	0.290	0.177	0.065	-0.024	-0.081	-0.056	-0.028	0.001
		$M_{z_{mín}}$	0.000	0.000	0.000	0.000	0.000	0.000	0.000	0.000
		$M_{z_{máx}}$	0.009	0.007	0.006	0.005	0.004	0.003	0.002	0.001

Envoltorios de los esfuerzos en barras										
Barra	Tipo de combinación	Esfuerzo	Posiciones en la barra							
			0.000 m	0.468 m	0.935 m	1.403 m	1.870 m	2.338 m	2.805 m	3.273 m
N51/N29	Acero laminado	$N_{mín}$	-17.127	-17.113	-17.100	-17.087	-17.073	-17.060	-17.047	-17.033
		$N_{máx}$	-8.744	-8.736	-8.728	-8.720	-8.712	-8.704	-8.696	-8.688
		$V_{y_{mín}}$	-0.004	-0.004	-0.004	-0.004	-0.004	-0.004	-0.004	-0.004
		$V_{y_{máx}}$	0.000	0.000	0.000	0.000	0.000	0.000	0.000	0.000
		$V_{z_{mín}}$	-0.321	-0.321	-0.321	-0.321	-0.321	-0.321	-0.321	-0.321
		$V_{z_{máx}}$	-0.078	-0.078	-0.078	-0.078	-0.078	-0.078	-0.078	-0.078
		$M_{t_{mín}}$	0.000	0.000	0.000	0.000	0.000	0.000	0.000	0.000
		$M_{t_{máx}}$	0.000	0.000	0.000	0.000	0.000	0.000	0.000	0.000
		$M_{y_{mín}}$	-0.523	-0.373	-0.223	-0.080	0.042	0.082	0.118	0.155
		$M_{y_{máx}}$	-0.102	-0.065	-0.028	0.016	0.089	0.226	0.376	0.526
		$M_{z_{mín}}$	-0.015	-0.013	-0.011	-0.010	-0.008	-0.006	-0.004	-0.002
		$M_{z_{máx}}$	0.000	0.000	0.000	0.000	0.000	0.000	0.000	0.000

3.1.2. Resistencia

Referencias:

N: Esfuerzo axial (t)

Vy: Esfuerzo cortante según el eje local Y de la barra. (t)

Vz: Esfuerzo cortante según el eje local Z de la barra. (t)

Mt: Momento torsor (t.m)

My: Momento flector en el plano 'XZ' (giro de la sección respecto al eje local 'Y' de la barra). (t.m)

Mz: Momento flector en el plano 'XY' (giro de la sección respecto al eje local 'Z' de la barra). (t.m)

Los esfuerzos indicados son los correspondientes a la combinación pésima, es decir, aquella que demanda la máxima resistencia de la sección.

Origen de los esfuerzos pésimos:

- G: Sólo gravitatorias
- GV: Gravitatorias + viento
- GS: Gravitatorias + sismo
- GVS: Gravitatorias + viento + sismo



Listados

FORJADORADIOQIROFANOCUBIERTADEF20220908

Fecha: 08/09/22

η : Aprovechamiento de la resistencia. La barra cumple con las condiciones de resistencia de la norma si se cumple que $\eta \leq 100$ %.

Comprobación de resistencia										
Barra	η (%)	Posición (m)	Esfuerzos p \acute simos						Origen	Estado
			N (t)	Vy (t)	Vz (t)	Mt (t·m)	My (t·m)	Mz (t·m)		
N42/N18	76.76	3.740	-23.065	0.000	0.241	0.000	-0.612	0.000	G	Cumple
N43/N19	60.51	3.740	-15.244	-0.009	-0.308	0.000	0.653	0.000	GV	Cumple
N46/N23	78.27	3.740	-23.737	0.000	0.241	0.000	-0.611	0.000	G	Cumple
N47/N24	62.48	3.740	-15.653	0.000	-0.320	0.000	0.676	0.000	GV	Cumple
N50/N28	76.10	3.740	-22.799	0.000	0.241	0.000	-0.611	0.000	G	Cumple
N51/N29	61.86	3.740	-15.377	0.000	-0.321	0.000	0.676	0.000	GV	Cumple

3.1.3. Flechas

Referencias:

Pos.: Valor de la coordenada sobre el eje 'X' local del grupo de flecha en el punto donde se produce el valor p \acute simo de la flecha.

L.: Distancia entre dos puntos de corte consecutivos de la deformada con la recta que une los nudos extremos del grupo de flecha.

Flechas								
Grupo	Flecha máxima absoluta xy Flecha máxima relativa xy		Flecha máxima absoluta xz Flecha máxima relativa xz		Flecha activa absoluta xy Flecha activa relativa xy		Flecha activa absoluta xz Flecha activa relativa xz	
	Pos. (m)	Flecha (mm)	Pos. (m)	Flecha (mm)	Pos. (m)	Flecha (mm)	Pos. (m)	Flecha (mm)
N42/N18	1.636	0.00	2.571	2.92	1.636	0.00	2.805	1.05
	1.636	L/(>1000)	2.571	L/(>1000)	1.636	L/(>1000)	2.805	L/(>1000)
N43/N19	1.636	0.02	2.805	2.10	1.636	0.02	2.805	0.81
	1.636	L/(>1000)	2.805	L/(>1000)	1.636	L/(>1000)	2.805	L/(>1000)
N46/N23	1.636	0.01	2.571	2.91	1.636	0.01	2.805	1.08
	1.636	L/(>1000)	2.571	L/(>1000)	1.636	L/(>1000)	2.805	L/(>1000)
N47/N24	1.636	0.01	2.805	2.14	1.636	0.01	2.805	0.85
	1.636	L/(>1000)	2.805	L/(>1000)	1.636	L/(>1000)	2.805	L/(>1000)
N50/N28	1.636	0.01	2.571	2.91	1.636	0.01	2.805	1.08
	1.636	L/(>1000)	2.571	L/(>1000)	1.636	L/(>1000)	2.805	L/(>1000)
N51/N29	1.636	0.01	2.805	2.14	1.636	0.01	2.805	0.85
	1.636	L/(>1000)	2.805	L/(>1000)	1.636	L/(>1000)	2.805	L/(>1000)



Listados

FORJADORADIOQIROFANOCUBIERTADEF20220908

Fecha: 08/09/22

3.1.4. Comprobaciones E.L.U. (Completo)

Barra N42/N18

Perfil: UPN 100, Doble en cajón con presillas (Separación entre los perfiles: 180.0 / 180.0 mm)
Material: Acero (S275)

	Nudos		Longitud (m)	Características mecánicas			
	Inicial	Final		Área (cm ²)	I _y ⁽¹⁾ (cm4)	I _z ⁽¹⁾ (cm4)	I _t ⁽²⁾ (cm4)
	N42	N18	3.740	27.00	412.00	4243.67	5.62
Notas: ⁽¹⁾ Inercia respecto al eje indicado ⁽²⁾ Momento de inercia a torsión uniforme							
	Pandeo		Pandeo lateral				
	Plano XY	Plano XZ	Ala sup.	Ala inf.			
β	0.70	0.70	0.00	0.00			
L _K	2.618	2.618	0.000	0.000			
C _m	1.000	1.000	1.000	1.000			
C ₁	-		1.000				
Notación: b: Coeficiente de pandeo L _K : Longitud de pandeo (m) C _m : Coeficiente de momentos C ₁ : Factor de modificación para el momento crítico							

Nota: El análisis de piezas compuestas se realiza mediante la verificación de cada uno de los perfiles simples que las constituyen. Las comprobaciones de dichos perfiles se realizan para los esfuerzos calculados a partir de los que actúan sobre la pieza compuesta, según sus características mecánicas. Para las comprobaciones de estabilidad se utiliza la esbeltez mecánica ideal, obtenida en función de la esbeltez de la pieza y una esbeltez complementaria que tiene en cuenta la separación de los enlaces entre los perfiles simples.

Limitación de esbeltez (CTE DB SE-A, Artículos 6.3.1 y 6.3.2.1 - Tabla 6.3)

La esbeltez reducida $\bar{\lambda}$ de las barras comprimidas debe ser inferior al valor 2.0.

$$\bar{\lambda} = \sqrt{\frac{A \cdot f_y}{N_{cr}}}$$

$$\bar{\lambda} : \underline{0.82} \quad \checkmark$$

Donde:

Clase: Clase de la sección, según la capacidad de deformación y de desarrollo de la resistencia plástica de los elementos planos comprimidos de una sección.

$$\text{Clase} : \underline{1}$$

A: Área de la sección bruta para las secciones de clase 1, 2 y 3.

$$A : \underline{13.50} \text{ cm}^2$$

f_y: Límite elástico. (CTE DB SE-A, Tabla 4.1)

$$f_y : \underline{2803.26} \text{ kp/cm}^2$$

N_{cr}: Axil crítico de pandeo elástico.

$$N_{cr} : \underline{56.179} \text{ t}$$

El axil crítico de pandeo elástico N_{cr} es el menor de los valores obtenidos en a) y b):

a) Axil crítico elástico de pandeo por flexión respecto al eje Z.

$$N_{cr,z} : \underline{247.615} \text{ t}$$

$$N_{cr,z} = \frac{\pi^2 \cdot E \cdot I_z}{L_{Kz}^2}$$

b) Axil crítico elástico de pandeo por flexotorsión.

$$N_{cr,FT} : \underline{56.179} \text{ t}$$

$$N_{cr,FT} = \frac{1}{2 \cdot \beta} \cdot \left[(N_{cr,y} + N_{cr,T}) - \sqrt{(N_{cr,y} + N_{cr,T})^2 - 4 \cdot \beta \cdot N_{cr,y} \cdot N_{cr,T}} \right]$$

Donde:



Listados

FORJADORADIOQIROFANOCUBIERTADEF20220908

Fecha: 08/09/22

$N_{cr,y}$: Axil crítico elástico de pandeo por flexión respecto al eje Y.

$N_{cr,y}$: 63.501 t

$$N_{cr,y} = \frac{\pi^2 \cdot E \cdot I_y}{L_{ky}^2}$$

$N_{cr,T}$: Axil crítico elástico de pandeo por torsión.

$N_{cr,T}$: 211.957 t

$$N_{cr,T} = \frac{1}{i_0^2} \cdot \left[G \cdot I_t + \frac{\pi^2 \cdot E \cdot I_w}{L_{kt}^2} \right]$$

I_y : Momento de inercia de la sección bruta, respecto al eje Y.

I_y : 206.00 cm⁴

I_z : Momento de inercia de la sección bruta, respecto al eje Z.

I_z : 29.30 cm⁴

I_t : Momento de inercia a torsión uniforme.

I_t : 2.81 cm⁴

I_w : Constante de alabeo de la sección.

I_w : 410.00 cm⁶

E: Módulo de elasticidad.

E : 2140673 kp/cm²

G: Módulo de elasticidad transversal.

G : 825688 kp/cm²

L_{ky} : Longitud efectiva de pandeo por flexión, respecto al eje Y.

L_{ky} : 2.618 m

L_{kz} : Longitud efectiva de pandeo por flexión, respecto al eje Z.

L_{kz} : 0.500 m

L_{kt} : Longitud efectiva de pandeo por torsión.

L_{kt} : 0.500 m

b: Constante adimensional obtenida mediante la siguiente expresión:

b : 0.64

$$\beta = 1 - \left(\frac{y_0^2 + z_0^2}{i_0^2} \right)$$

Donde:

i_0 : Radio de giro polar de la sección bruta, respecto al centro de torsión.

i_0 : 5.22 cm

$$i_0 = \left(i_y^2 + i_z^2 + y_0^2 + z_0^2 \right)^{0.5}$$

Siendo:

i_y , i_z : Radios de giro de la sección bruta, respecto a los ejes principales de inercia Y y Z.

i_y : 3.91 cm

i_z : 1.47 cm

y_0 , z_0 : Coordenadas del centro de torsión en la dirección de los ejes principales Y y Z, respectivamente, relativas al centro de gravedad de la sección.

y_0 : -31.41 mm

z_0 : 0.00 mm



Abolladura del alma inducida por el ala comprimida (Criterio de CYPE, basado en: Eurocódigo 3 EN 1993-1-5: 2006, Artículo 8)

Se debe satisfacer:

$$\frac{h_w}{t_w} \leq k \frac{E}{f_{yf}} \sqrt{\frac{A_w}{A_{fc,ef}}}$$

$$13.83 \leq 247.99 \quad \checkmark$$

Donde:

h_w : Altura del alma.

t_w : Espesor del alma.

A_w : Área del alma.

$A_{fc,ef}$: Área reducida del ala comprimida.

k : Coeficiente que depende de la clase de la sección.

E : Módulo de elasticidad.

f_{yf} : Límite elástico del acero del ala comprimida.

Siendo:

$$f_{yf} = f_y$$

$$h_w : 83.00 \text{ mm}$$

$$t_w : 6.00 \text{ mm}$$

$$A_w : 4.98 \text{ cm}^2$$

$$A_{fc,ef} : 4.25 \text{ cm}^2$$

$$k : 0.30$$

$$E : 2140673 \text{ kp/cm}^2$$

$$f_{yf} : 2803.26 \text{ kp/cm}^2$$

Resistencia a tracción (CTE DB SE-A, Artículo 6.2.3)

La comprobación no procede, ya que no hay axil de tracción.

Resistencia a compresión (CTE DB SE-A, Artículo 6.2.5)

Se debe satisfacer:

$$\eta = \frac{N_{c,Ed}}{N_{c,Rd}} \leq 1$$

$$\eta : 0.321 \quad \checkmark$$

$$\eta = \frac{N_{c,Ed}}{N_{b,Rd}} \leq 1$$

$$\eta : 0.495 \quad \checkmark$$

El esfuerzo solicitante de cálculo pésimo se produce en el nudo N42, para la combinación de acciones 1.35·PP+1.5·Q1.

$N_{c,Ed}$: Axil de compresión solicitante de cálculo pésimo.

$$N_{c,Ed} : 11.586 \text{ t}$$

La resistencia de cálculo a compresión $N_{c,Rd}$ viene dada por:

$$N_{c,Rd} = A \cdot f_{yd}$$

$$N_{c,Rd} : 36.042 \text{ t}$$

Donde:

Clase: Clase de la sección, según la capacidad de deformación y de desarrollo de la resistencia plástica de los elementos planos comprimidos de una sección.

$$\text{Clase} : 1$$

A : Área de la sección bruta para las secciones de clase 1, 2 y 3.

$$A : 13.50 \text{ cm}^2$$

f_{yd} : Resistencia de cálculo del acero.

$$f_{yd} : 2669.77 \text{ kp/cm}^2$$

$$f_{yd} = f_y / \gamma_{M0}$$

Siendo:

f_y : Límite elástico. (CTE DB SE-A, Tabla 4.1)

$$f_y : 2803.26 \text{ kp/cm}^2$$

γ_{M0} : Coeficiente parcial de seguridad del material.

$$\gamma_{M0} : 1.05$$

Resistencia a pandeo: (CTE DB SE-A, Artículo 6.3.2)



Listados

FORJADORADIOQIROFANOCUBIERTADEF20220908

Fecha: 08/09/22

La resistencia de cálculo a pandeo $N_{b,Rd}$ en una barra comprimida viene dada por:

$$N_{b,Rd} = \chi \cdot A \cdot f_{yd}$$

$$N_{b,Rd} : \underline{23.396} \text{ t}$$

Donde:

A: Área de la sección bruta para las secciones de clase 1, 2 y 3.

$$A : \underline{13.50} \text{ cm}^2$$

f_{yd} : Resistencia de cálculo del acero.

$$f_{yd} : \underline{2669.77} \text{ kp/cm}^2$$

$$f_{yd} = f_y / \gamma_{M1}$$

Siendo:

f_y : Límite elástico. (CTE DB SE-A, Tabla 4.1)

$$f_y : \underline{2803.26} \text{ kp/cm}^2$$

γ_{M1} : Coeficiente parcial de seguridad del material.

$$\gamma_{M1} : \underline{1.05}$$

χ : Coeficiente de reducción por pandeo.

$$\chi = \frac{1}{\Phi + \sqrt{\Phi^2 - (\bar{\lambda})^2}} \leq 1$$

$$C_z : \underline{0.90}$$

$$C_{FT} : \underline{0.65}$$

Siendo:

$$\Phi = 0.5 \cdot \left[1 + \alpha \cdot (\bar{\lambda} - 0.2) + (\bar{\lambda})^2 \right]$$

$$f_z : \underline{0.62}$$

$$f_{FT} : \underline{0.99}$$

α : Coeficiente de imperfección elástica.

$$a_z : \underline{0.49}$$

$$a_{FT} : \underline{0.49}$$

$\bar{\lambda}$: Esbeltez reducida.

$$\bar{\lambda} = \sqrt{\frac{A \cdot f_y}{N_{cr}}}$$

$$\bar{\lambda}_z : \underline{0.39}$$

$$\bar{\lambda}_{FT} : \underline{0.82}$$

N_{cr} : Axil crítico elástico de pandeo, obtenido como el menor de los siguientes valores:

$$N_{cr} : \underline{56.179} \text{ t}$$

$N_{cr,z}$: Axil crítico elástico de pandeo por flexión respecto al eje Z.

$$N_{cr,z} : \underline{247.615} \text{ t}$$

$N_{cr,FT}$: Axil crítico elástico de pandeo por flexotorsión.

$$N_{cr,FT} : \underline{56.179} \text{ t}$$

**Resistencia a flexión eje Y (CTE DB SE-A, Artículo 6.2.6)**

Se debe satisfacer:

$$\eta = \frac{M_{Ed}}{M_{c,Rd}} \leq 1$$

$$h : \underline{0.234} \quad \checkmark$$

Para flexión positiva:

El esfuerzo solicitante de cálculo pésimo se produce en el nudo N18, para la combinación de acciones 0.8·PP+1.5·V1(2).

M_{Ed}^+ : Momento flector solicitante de cálculo pésimo.

$$M_{Ed}^+ : \underline{0.003} \text{ t·m}$$

Para flexión negativa:

El esfuerzo solicitante de cálculo pésimo se produce en el nudo N18, para la combinación de acciones 1.35·PP+1.5·Q1.

M_{Ed}^- : Momento flector solicitante de cálculo pésimo.

$$M_{Ed}^- : \underline{0.306} \text{ t·m}$$

El momento flector resistente de cálculo $M_{c,Rd}$ viene dado por:

$$M_{c,Rd} = W_{pl,y} \cdot f_{yd}$$

$$M_{c,Rd} : \underline{1.308} \text{ t·m}$$

Donde:

Clase: Clase de la sección, según la capacidad de deformación y de desarrollo de la resistencia plástica de los elementos planos de una sección a flexión simple.

$$\text{Clase} : \underline{1}$$

$W_{pl,y}$: Módulo resistente plástico correspondiente a la fibra con mayor tensión, para las secciones de clase 1 y 2.

$$W_{pl,y} : \underline{49.00} \text{ cm}^3$$

f_{yd} : Resistencia de cálculo del acero.

$$f_{yd} : \underline{2669.77} \text{ kp/cm}^2$$

$$f_{yd} = f_y / \gamma_{M0}$$

Siendo:

f_y : Límite elástico. (CTE DB SE-A, Tabla 4.1)

$$f_y : \underline{2803.26} \text{ kp/cm}^2$$

γ_{M0} : Coeficiente parcial de seguridad del material.

$$\gamma_{M0} : \underline{1.05}$$

Resistencia a pandeo lateral: (CTE DB SE-A, Artículo 6.3.3.2)

No procede, dado que las longitudes de pandeo lateral son nulas.



Listados

FORJADORADIOQIROFANOCUBIERTADEF20220908

Fecha: 08/09/22

Resistencia a flexión eje Z (CTE DB SE-A, Artículo 6.2.6)

Se debe satisfacer:

$$\eta = \frac{M_{Ed}}{M_{c,Rd}} \leq 1$$

$$h < \underline{0.001} \quad \checkmark$$

Para flexión positiva:

El esfuerzo solicitante de cálculo pésimo se produce en el nudo N42, para la combinación de acciones 0.8·PP+1.5·V1(1).

M_{Ed}^+ : Momento flector solicitante de cálculo pésimo.

$$M_{Ed}^+ : \underline{0.000} \text{ t}\cdot\text{m}$$

Para flexión negativa:

M_{Ed}^- : Momento flector solicitante de cálculo pésimo.

$$M_{Ed}^- : \underline{0.000} \text{ t}\cdot\text{m}$$

El momento flector resistente de cálculo $M_{c,Rd}$ viene dado por:

$$M_{c,Rd} = W_{pl,z} \cdot f_{yd}$$

$$M_{c,Rd} : \underline{0.433} \text{ t}\cdot\text{m}$$

Donde:

Clase: Clase de la sección, según la capacidad de deformación y de desarrollo de la resistencia plástica de los elementos planos de una sección a flexión simple.

$$\text{Clase} : \underline{1}$$

$W_{pl,z}$: Módulo resistente plástico correspondiente a la fibra con mayor tensión, para las secciones de clase 1 y 2.

$$W_{pl,z} : \underline{16.20} \text{ cm}^3$$

f_{yd} : Resistencia de cálculo del acero.

$$f_{yd} : \underline{2669.77} \text{ kp/cm}^2$$

$$f_{yd} = f_y / \gamma_{M0}$$

Siendo:

f_y : Límite elástico. (CTE DB SE-A, Tabla 4.1)

$$f_y : \underline{2803.26} \text{ kp/cm}^2$$

γ_{M0} : Coeficiente parcial de seguridad del material.

$$\gamma_{M0} : \underline{1.05}$$



Listados

FORJADORADIOQIROFANOCUBIERTADEF20220908

Fecha: 08/09/22

Resistencia a corte Z (CTE DB SE-A, Artículo 6.2.4)

Se debe satisfacer:

$$\eta = \frac{V_{Ed}}{V_{c,Rd}} \leq 1$$

$$h : \underline{0.013} \quad \checkmark$$

El esfuerzo solicitante de cálculo pésimo se produce para la combinación de acciones 1.35·PP+1.5·Q1.

V_{Ed} : Esfuerzo cortante solicitante de cálculo pésimo.

$$V_{Ed} : \underline{0.121} \text{ t}$$

El esfuerzo cortante resistente de cálculo $V_{c,Rd}$ viene dado por:

$$V_{c,Rd} = A_v \cdot \frac{f_{yd}}{\sqrt{3}}$$

$$V_{c,Rd} : \underline{9.607} \text{ t}$$

Donde:

A_v : Área transversal a cortante.

$$A_v : \underline{6.23} \text{ cm}^2$$

$$A_v = A - 2 \cdot b \cdot t_f + (t_w + r) \cdot t_f$$

Siendo:

A: Área bruta de la sección transversal de la barra.

$$A : \underline{13.50} \text{ cm}^2$$

b: Ancho de la sección.

$$b : \underline{50.00} \text{ mm}$$

t_f : Espesor del ala.

$$t_f : \underline{8.50} \text{ mm}$$

t_w : Espesor del alma.

$$t_w : \underline{6.00} \text{ mm}$$

r: Radio de acuerdo entre ala y alma.

$$r : \underline{8.50} \text{ mm}$$

f_{yd} : Resistencia de cálculo del acero.

$$f_{yd} : \underline{2669.77} \text{ kp/cm}^2$$

$$f_{yd} = f_y / \gamma_{M0}$$

Siendo:

f_y : Límite elástico. (CTE DB SE-A, Tabla 4.1)

$$f_y : \underline{2803.26} \text{ kp/cm}^2$$

γ_{M0} : Coeficiente parcial de seguridad del material.

$$\gamma_{M0} : \underline{1.05}$$

Abolladura por cortante del alma: (CTE DB SE-A, Artículo 6.3.3.4)

Aunque no se han dispuesto rigidizadores transversales, no es necesario comprobar la resistencia a la abolladura del alma, puesto que se cumple:

$$\frac{d}{t_w} < 70 \cdot \varepsilon$$

$$13.83 < 64.71 \quad \checkmark$$

Donde:

I_w : Esbeltez del alma.

$$I_w : \underline{13.83}$$

$$\lambda_w = \frac{d}{t_w}$$

I_{\max} : Esbeltez máxima.

$$I_{\max} : \underline{64.71}$$

$$\lambda_{\max} = 70 \cdot \varepsilon$$

e: Factor de reducción.

$$e : \underline{0.92}$$

$$\varepsilon = \sqrt{\frac{f_{ref}}{f_y}}$$

Siendo:

f_{ref} : Límite elástico de referencia.

$$f_{ref} : \underline{2395.51} \text{ kp/cm}^2$$

f_y : Límite elástico. (CTE DB SE-A, Tabla 4.1)

$$f_y : \underline{2803.26} \text{ kp/cm}^2$$



Resistencia a corte Y (CTE DB SE-A, Artículo 6.2.4)

Se debe satisfacer:

$$\eta = \frac{V_{Ed}}{V_{c,Rd}} \leq 1$$

$$h < \underline{0.001} \quad \checkmark$$

El esfuerzo solicitante de cálculo pésimo se produce para la combinación de acciones 0.8·PP+1.5·V1(1).

V_{Ed} : Esfuerzo cortante solicitante de cálculo pésimo.

$$V_{Ed} : \underline{0.001} \text{ t}$$

El esfuerzo cortante resistente de cálculo $V_{c,Rd}$ viene dado por:

$$V_{c,Rd} = A_v \cdot \frac{f_{yd}}{\sqrt{3}}$$

$$V_{c,Rd} : \underline{13.133} \text{ t}$$

Donde:

A_v : Área transversal a cortante.

$$A_v : \underline{8.52} \text{ cm}^2$$

$$A_v = A - d \cdot t_w$$

Siendo:

A: Área de la sección bruta.

$$A : \underline{13.50} \text{ cm}^2$$

d: Altura del alma.

$$d : \underline{83.00} \text{ mm}$$

t_w : Espesor del alma.

$$t_w : \underline{6.00} \text{ mm}$$

f_{yd} : Resistencia de cálculo del acero.

$$f_{yd} : \underline{2669.77} \text{ kp/cm}^2$$

$$f_{yd} = f_y / \gamma_{M0}$$

Siendo:

f_y : Límite elástico. (CTE DB SE-A, Tabla 4.1)

$$f_y : \underline{2803.26} \text{ kp/cm}^2$$

γ_{M0} : Coeficiente parcial de seguridad del material.

$$\gamma_{M0} : \underline{1.05}$$

Resistencia a momento flector Y y fuerza cortante Z combinados (CTE DB SE-A, Artículo 6.2.8)

No es necesario reducir la resistencia de cálculo a flexión, ya que el esfuerzo cortante solicitante de cálculo pésimo V_{Ed} no es superior al 50% de la resistencia de cálculo a cortante $V_{c,Rd}$.

$$V_{Ed} \leq \frac{V_{c,Rd}}{2}$$

$$0.121 \text{ t} \leq 4.803 \text{ t} \quad \checkmark$$

Los esfuerzos solicitantes de cálculo pésimos se producen para la combinación de acciones 1.35·PP+1.5·Q1.

V_{Ed} : Esfuerzo cortante solicitante de cálculo pésimo.

$$V_{Ed} : \underline{0.121} \text{ t}$$

$V_{c,Rd}$: Esfuerzo cortante resistente de cálculo.

$$V_{c,Rd} : \underline{9.607} \text{ t}$$



Listados

FORJADORADIOQIROFANOCUBIERTADEF20220908

Fecha: 08/09/22

Resistencia a momento flector Z y fuerza cortante Y combinados (CTE DB SE-A, Artículo 6.2.8)

No es necesario reducir la resistencia de cálculo a flexión, ya que el esfuerzo cortante solicitante de cálculo pésimo V_{Ed} no es superior al 50% de la resistencia de cálculo a cortante $V_{c,Rd}$.

$$V_{Ed} \leq \frac{V_{c,Rd}}{2}$$

$$0.001 \text{ t} \leq 6.566 \text{ t} \quad \checkmark$$

Los esfuerzos solicitantes de cálculo pésimos se producen en el nudo N42, para la combinación de acciones 0.8·PP+1.5·V1(1).

V_{Ed} : Esfuerzo cortante solicitante de cálculo pésimo.

$$V_{Ed} : \underline{0.001} \text{ t}$$

$V_{c,Rd}$: Esfuerzo cortante resistente de cálculo.

$$V_{c,Rd} : \underline{13.133} \text{ t}$$

Resistencia a flexión y axil combinados (CTE DB SE-A, Artículo 6.2.8)

Se debe satisfacer:

$$\eta = \frac{N_{c,Ed}}{N_{pl,Rd}} + \frac{M_{y,Ed}}{M_{pl,Rd,y}} + \frac{M_{z,Ed}}{M_{pl,Rd,z}} \leq 1$$

$$h : \underline{0.554} \quad \checkmark$$

$$\eta = \frac{N_{c,Ed}}{\chi_y \cdot A \cdot f_{yd}} + k_y \cdot \frac{C_{m,y} \cdot M_{y,Ed}}{\chi_{LT} \cdot W_{pl,y} \cdot f_{yd}} + \alpha_z \cdot k_z \cdot \frac{C_{m,z} \cdot M_{z,Ed}}{W_{pl,z} \cdot f_{yd}} \leq 1$$

$$h : \underline{0.768} \quad \checkmark$$

$$\eta = \frac{N_{c,Ed}}{\chi_z \cdot A \cdot f_{yd}} + k_{y,LT} \cdot \frac{M_{y,Ed}}{\chi_{LT} \cdot W_{pl,y} \cdot f_{yd}} + k_z \cdot \frac{C_{m,z} \cdot M_{z,Ed}}{W_{pl,z} \cdot f_{yd}} \leq 1$$

$$h : \underline{0.584} \quad \checkmark$$

Los esfuerzos solicitantes de cálculo pésimos se producen en el nudo N18, para la combinación de acciones 1.35·PP+1.5·Q1.

Donde:

$N_{c,Ed}$: Axil de compresión solicitante de cálculo pésimo.

$$N_{c,Ed} : \underline{11.533} \text{ t}$$

$M_{y,Ed}$, $M_{z,Ed}$: Momentos flectores solicitantes de cálculo pésimos, según los ejes Y y Z, respectivamente.

$$M_{y,Ed} : \underline{0.306} \text{ t·m}$$

$$M_{z,Ed} : \underline{0.000} \text{ t·m}$$

Clase: Clase de la sección, según la capacidad de deformación y de desarrollo de la resistencia plástica de sus elementos planos, para axil y flexión simple.

$$\text{Clase} : \underline{1}$$

$N_{pl,Rd}$: Resistencia a compresión de la sección bruta.

$$N_{pl,Rd} : \underline{36.042} \text{ t}$$

$M_{pl,Rd,y}$, $M_{pl,Rd,z}$: Resistencia a flexión de la sección bruta en condiciones plásticas, respecto a los ejes Y y Z, respectivamente.

$$M_{pl,Rd,y} : \underline{1.308} \text{ t·m}$$

$$M_{pl,Rd,z} : \underline{0.433} \text{ t·m}$$

Resistencia a pandeo: (CTE DB SE-A, Artículo 6.3.4.2)

A: Área de la sección bruta.

$$A : \underline{13.50} \text{ cm}^2$$

$W_{pl,y}$, $W_{pl,z}$: Módulos resistentes plásticos correspondientes a la fibra comprimida, alrededor de los ejes Y y Z, respectivamente.

$$W_{pl,y} : \underline{49.00} \text{ cm}^3$$

$$W_{pl,z} : \underline{16.20} \text{ cm}^3$$

f_{yd} : Resistencia de cálculo del acero.

$$f_{yd} : \underline{2669.77} \text{ kp/cm}^2$$

$$f_{yd} = f_y / \gamma_{M1}$$

Siendo:

f_y : Límite elástico. (CTE DB SE-A, Tabla 4.1)

$$f_y : \underline{2803.26} \text{ kp/cm}^2$$

γ_{M1} : Coeficiente parcial de seguridad del material.

$$\gamma_{M1} : \underline{1.05}$$

k_y , k_z , $k_{y,LT}$: Coeficientes de interacción.



Listados

FORJADORADIOQIROFANOCUBIERTADEF20220908

Fecha: 08/09/22

$$k_y = 1 + (\bar{\lambda}_y - 0.2) \cdot \frac{N_{c,Ed}}{\chi_y \cdot N_{c,Rd}} \quad k_y : \underline{1.27}$$

$$k_z = 1 + (2 \cdot \bar{\lambda}_z - 0.6) \cdot \frac{N_{c,Ed}}{\chi_z \cdot N_{c,Rd}} \quad k_z : \underline{1.06}$$

$$k_{y,LT} = 1 - \frac{0.1 \cdot \bar{\lambda}_z}{C_{m,LT} - 0.25} \cdot \frac{N_{c,Ed}}{\chi_z \cdot N_{c,Rd}} \quad k_{y,LT} : \underline{0.98}$$

$C_{m,y}$, $C_{m,z}$, $C_{m,LT}$: Factores de momento flector uniforme equivalente.

$$C_{m,y} : \underline{1.00}$$

$$C_{m,z} : \underline{1.00}$$

$$C_{m,LT} : \underline{1.00}$$

c_y , c_z : Coeficientes de reducción por pandeo, alrededor de los ejes Y y Z, respectivamente.

$$c_y : \underline{0.68}$$

$$c_z : \underline{0.90}$$

c_{LT} : Coeficiente de reducción por pandeo lateral.

$$c_{LT} : \underline{1.00}$$

η_y , η_z : Esbelteces reducidas con valores no mayores que 1.00, en relación a los ejes Y y Z, respectivamente.

$$\eta_y : \underline{0.77}$$

$$\eta_z : \underline{0.39}$$

a_y , a_z : Factores dependientes de la clase de la sección.

$$a_y : \underline{0.60}$$

$$a_z : \underline{0.60}$$

Resistencia a flexión, axil y cortante combinados (CTE DB SE-A, Artículo 6.2.8)

No es necesario reducir las resistencias de cálculo a flexión y a axil, ya que se puede ignorar el efecto de abolladura por esfuerzo cortante y, además, el esfuerzo cortante solicitante de cálculo pésimo V_{Ed} es menor o igual que el 50% del esfuerzo cortante resistente de cálculo $V_{c,Rd}$.

Los esfuerzos solicitantes de cálculo pésimos se producen para la combinación de acciones 1.35·PP+1.5·Q1.

$$V_{Ed,z} \leq \frac{V_{c,Rd,z}}{2} \quad 0.121 \text{ t} \leq 4.803 \text{ t} \quad \checkmark$$

Donde:

$V_{Ed,z}$: Esfuerzo cortante solicitante de cálculo pésimo.

$$V_{Ed,z} : \underline{0.121} \text{ t}$$

$V_{c,Rd,z}$: Esfuerzo cortante resistente de cálculo.

$$V_{c,Rd,z} : \underline{9.607} \text{ t}$$

Resistencia a torsión (CTE DB SE-A, Artículo 6.2.7)

La comprobación no procede, ya que no hay momento torsor.

Resistencia a cortante Z y momento torsor combinados (CTE DB SE-A, Artículo 6.2.8)

No hay interacción entre momento torsor y esfuerzo cortante para ninguna combinación. Por lo tanto, la comprobación no procede.

Resistencia a cortante Y y momento torsor combinados (CTE DB SE-A, Artículo 6.2.8)

No hay interacción entre momento torsor y esfuerzo cortante para ninguna combinación. Por lo tanto, la comprobación no procede.



Listados

FORJADORADIOQIROFANOCUBIERTADEF20220908

Fecha: 08/09/22

$N_{cr,y}$: Axil crítico elástico de pandeo por flexión respecto al eje Y.

$N_{cr,y}$: 63.501 t

$$N_{cr,y} = \frac{\pi^2 \cdot E \cdot I_y}{L_{ky}^2}$$

$N_{cr,T}$: Axil crítico elástico de pandeo por torsión.

$N_{cr,T}$: 211.957 t

$$N_{cr,T} = \frac{1}{i_0^2} \cdot \left[G \cdot I_t + \frac{\pi^2 \cdot E \cdot I_w}{L_{kt}^2} \right]$$

I_y : Momento de inercia de la sección bruta, respecto al eje Y.

I_y : 206.00 cm⁴

I_z : Momento de inercia de la sección bruta, respecto al eje Z.

I_z : 29.30 cm⁴

I_t : Momento de inercia a torsión uniforme.

I_t : 2.81 cm⁴

I_w : Constante de alabeo de la sección.

I_w : 410.00 cm⁶

E: Módulo de elasticidad.

E : 2140673 kp/cm²

G: Módulo de elasticidad transversal.

G : 825688 kp/cm²

L_{ky} : Longitud efectiva de pandeo por flexión, respecto al eje Y.

L_{ky} : 2.618 m

L_{kz} : Longitud efectiva de pandeo por flexión, respecto al eje Z.

L_{kz} : 0.500 m

L_{kt} : Longitud efectiva de pandeo por torsión.

L_{kt} : 0.500 m

b: Constante adimensional obtenida mediante la siguiente expresión:

b : 0.64

$$\beta = 1 - \left(\frac{y_0^2 + z_0^2}{i_0^2} \right)$$

Donde:

i_0 : Radio de giro polar de la sección bruta, respecto al centro de torsión.

i_0 : 5.22 cm

$$i_0 = \left(i_y^2 + i_z^2 + y_0^2 + z_0^2 \right)^{0.5}$$

Siendo:

i_y , i_z : Radios de giro de la sección bruta, respecto a los ejes principales de inercia Y y Z.

i_y : 3.91 cm

i_z : 1.47 cm

y_0 , z_0 : Coordenadas del centro de torsión en la dirección de los ejes principales Y y Z, respectivamente, relativas al centro de gravedad de la sección.

y_0 : -31.41 mm

z_0 : 0.00 mm



Abolladura del alma inducida por el ala comprimida (Criterio de CYPE, basado en: Eurocódigo 3 EN 1993-1-5: 2006, Artículo 8)

Se debe satisfacer:

$$\frac{h_w}{t_w} \leq k \frac{E}{f_{yf}} \sqrt{\frac{A_w}{A_{fc,ef}}}$$

$$13.83 \leq 247.99 \quad \checkmark$$

Donde:

h_w : Altura del alma.

t_w : Espesor del alma.

A_w : Área del alma.

$A_{fc,ef}$: Área reducida del ala comprimida.

k : Coeficiente que depende de la clase de la sección.

E : Módulo de elasticidad.

f_{yf} : Límite elástico del acero del ala comprimida.

Siendo:

$$f_{yf} = f_y$$

$$\begin{aligned} h_w &: 83.00 \text{ mm} \\ t_w &: 6.00 \text{ mm} \\ A_w &: 4.98 \text{ cm}^2 \\ A_{fc,ef} &: 4.25 \text{ cm}^2 \\ k &: 0.30 \\ E &: 2140673 \text{ kp/cm}^2 \\ f_{yf} &: 2803.26 \text{ kp/cm}^2 \end{aligned}$$

Resistencia a tracción (CTE DB SE-A, Artículo 6.2.3)

La comprobación no procede, ya que no hay axil de tracción.

Resistencia a compresión (CTE DB SE-A, Artículo 6.2.5)

Se debe satisfacer:

$$\eta = \frac{N_{c,Ed}}{N_{c,Rd}} \leq 1$$

$$\eta : 0.236 \quad \checkmark$$

$$\eta = \frac{N_{c,Ed}}{N_{b,Rd}} \leq 1$$

$$\eta : 0.363 \quad \checkmark$$

El esfuerzo solicitante de cálculo pésimo se produce en el nudo N43, para la combinación de acciones 1.35·PP+1.5·Q1.

$N_{c,Ed}$: Axil de compresión solicitante de cálculo pésimo.

$$N_{c,Ed} : 8.503 \text{ t}$$

La resistencia de cálculo a compresión $N_{c,Rd}$ viene dada por:

$$N_{c,Rd} = A \cdot f_{yd}$$

$$N_{c,Rd} : 36.042 \text{ t}$$

Donde:

Clase: Clase de la sección, según la capacidad de deformación y de desarrollo de la resistencia plástica de los elementos planos comprimidos de una sección.

$$\text{Clase} : 1$$

A : Área de la sección bruta para las secciones de clase 1, 2 y 3.

$$A : 13.50 \text{ cm}^2$$

f_{yd} : Resistencia de cálculo del acero.

$$f_{yd} : 2669.77 \text{ kp/cm}^2$$

$$f_{yd} = f_y / \gamma_{M0}$$

Siendo:

f_y : Límite elástico. (CTE DB SE-A, Tabla 4.1)

$$f_y : 2803.26 \text{ kp/cm}^2$$

γ_{M0} : Coeficiente parcial de seguridad del material.

$$\gamma_{M0} : 1.05$$

Resistencia a pandeo: (CTE DB SE-A, Artículo 6.3.2)



Listados

FORJADORADIOQIROFANOCUBIERTADEF20220908

Fecha: 08/09/22

La resistencia de cálculo a pandeo $N_{b,Rd}$ en una barra comprimida viene dada por:

$$N_{b,Rd} = \chi \cdot A \cdot f_{yd}$$

$$N_{b,Rd} : \underline{23.396} \text{ t}$$

Donde:

A: Área de la sección bruta para las secciones de clase 1, 2 y 3.

$$A : \underline{13.50} \text{ cm}^2$$

f_{yd} : Resistencia de cálculo del acero.

$$f_{yd} : \underline{2669.77} \text{ kp/cm}^2$$

$$f_{yd} = f_y / \gamma_{M1}$$

Siendo:

f_y : Límite elástico. (CTE DB SE-A, Tabla 4.1)

$$f_y : \underline{2803.26} \text{ kp/cm}^2$$

γ_{M1} : Coeficiente parcial de seguridad del material.

$$\gamma_{M1} : \underline{1.05}$$

χ : Coeficiente de reducción por pandeo.

$$\chi = \frac{1}{\Phi + \sqrt{\Phi^2 - (\bar{\lambda})^2}} \leq 1$$

$$C_z : \underline{0.90}$$

$$C_{FT} : \underline{0.65}$$

Siendo:

$$\Phi = 0.5 \cdot \left[1 + \alpha \cdot (\bar{\lambda} - 0.2) + (\bar{\lambda})^2 \right]$$

$$f_z : \underline{0.62}$$

$$f_{FT} : \underline{0.99}$$

α : Coeficiente de imperfección elástica.

$$a_z : \underline{0.49}$$

$$a_{FT} : \underline{0.49}$$

$\bar{\lambda}$: Esbeltez reducida.

$$\bar{\lambda} = \sqrt{\frac{A \cdot f_y}{N_{cr}}}$$

$$\bar{\lambda}_z : \underline{0.39}$$

$$\bar{\lambda}_{FT} : \underline{0.82}$$

N_{cr} : Axil crítico elástico de pandeo, obtenido como el menor de los siguientes valores:

$$N_{cr} : \underline{56.179} \text{ t}$$

$N_{cr,z}$: Axil crítico elástico de pandeo por flexión respecto al eje Z.

$$N_{cr,z} : \underline{247.615} \text{ t}$$

$N_{cr,FT}$: Axil crítico elástico de pandeo por flexotorsión.

$$N_{cr,FT} : \underline{56.179} \text{ t}$$

**Resistencia a flexión eje Y (CTE DB SE-A, Artículo 6.2.6)**

Se debe satisfacer:

$$\eta = \frac{M_{Ed}}{M_{c,Rd}} \leq 1$$

$$h : \underline{0.250} \quad \checkmark$$

Para flexión positiva:

El esfuerzo solicitante de cálculo pésimo se produce en el nudo N19, para la combinación de acciones 1.35·PP+1.5·V1(2)+0.75·N1.

M_{Ed}^+ : Momento flector solicitante de cálculo pésimo.

$$M_{Ed}^+ : \underline{0.327} \text{ t·m}$$

Para flexión negativa:

M_{Ed}^- : Momento flector solicitante de cálculo pésimo.

$$M_{Ed}^- : \underline{0.000} \text{ t·m}$$

El momento flector resistente de cálculo $M_{c,Rd}$ viene dado por:

$$M_{c,Rd} = W_{pl,y} \cdot f_{yd}$$

$$M_{c,Rd} : \underline{1.308} \text{ t·m}$$

Donde:

Clase: Clase de la sección, según la capacidad de deformación y de desarrollo de la resistencia plástica de los elementos planos de una sección a flexión simple.

$$\text{Clase} : \underline{1}$$

$W_{pl,y}$: Módulo resistente plástico correspondiente a la fibra con mayor tensión, para las secciones de clase 1 y 2.

$$W_{pl,y} : \underline{49.00} \text{ cm}^3$$

f_{yd} : Resistencia de cálculo del acero.

$$f_{yd} : \underline{2669.77} \text{ kp/cm}^2$$

$$f_{yd} = f_y / \gamma_{M0}$$

Siendo:

f_y : Límite elástico. (CTE DB SE-A, Tabla 4.1)

$$f_y : \underline{2803.26} \text{ kp/cm}^2$$

γ_{M0} : Coeficiente parcial de seguridad del material.

$$\gamma_{M0} : \underline{1.05}$$

Resistencia a pandeo lateral: (CTE DB SE-A, Artículo 6.3.3.2)

No procede, dado que las longitudes de pandeo lateral son nulas.

**Resistencia a flexión eje Z** (CTE DB SE-A, Artículo 6.2.6)

Se debe satisfacer:

$$\eta = \frac{M_{Ed}}{M_{c,Rd}} \leq 1$$

$$h : \underline{0.001} \quad \checkmark$$

Para flexión positiva:

M_{Ed}^+ : Momento flector solicitante de cálculo pésimo.

$$M_{Ed}^+ : \underline{0.000} \text{ t}\cdot\text{m}$$

Para flexión negativa:

El esfuerzo solicitante de cálculo pésimo se produce en el nudo N43, para la combinación de acciones 1.35·PP+1.5·V1(2).

M_{Ed}^- : Momento flector solicitante de cálculo pésimo.

$$M_{Ed}^- : \underline{0.000} \text{ t}\cdot\text{m}$$

El momento flector resistente de cálculo $M_{c,Rd}$ viene dado por:

$$M_{c,Rd} = W_{pl,z} \cdot f_{yd}$$

$$M_{c,Rd} : \underline{0.433} \text{ t}\cdot\text{m}$$

Donde:

Clase: Clase de la sección, según la capacidad de deformación y de desarrollo de la resistencia plástica de los elementos planos de una sección a flexión simple.

$$\text{Clase} : \underline{1}$$

$W_{pl,z}$: Módulo resistente plástico correspondiente a la fibra con mayor tensión, para las secciones de clase 1 y 2.

$$W_{pl,z} : \underline{16.20} \text{ cm}^3$$

f_{yd} : Resistencia de cálculo del acero.

$$f_{yd} : \underline{2669.77} \text{ kp/cm}^2$$

$$f_{yd} = f_y / \gamma_{M0}$$

Siendo:

f_y : Límite elástico. (CTE DB SE-A, Tabla 4.1)

$$f_y : \underline{2803.26} \text{ kp/cm}^2$$

γ_{M0} : Coeficiente parcial de seguridad del material.

$$\gamma_{M0} : \underline{1.05}$$



Listados

FORJADORADIOQIROFANOCUBIERTADEF20220908

Fecha: 08/09/22

Resistencia a corte Z (CTE DB SE-A, Artículo 6.2.4)

Se debe satisfacer:

$$\eta = \frac{V_{Ed}}{V_{c,Rd}} \leq 1$$

$$h : \underline{0.016} \quad \checkmark$$

El esfuerzo solicitante de cálculo pésimo se produce para la combinación de acciones 1.35·PP+1.5·V1(2)+0.75·N1.

V_{Ed} : Esfuerzo cortante solicitante de cálculo pésimo.

$$V_{Ed} : \underline{0.154} \text{ t}$$

El esfuerzo cortante resistente de cálculo $V_{c,Rd}$ viene dado por:

$$V_{c,Rd} = A_v \cdot \frac{f_{yd}}{\sqrt{3}}$$

$$V_{c,Rd} : \underline{9.607} \text{ t}$$

Donde:

A_v : Área transversal a cortante.

$$A_v : \underline{6.23} \text{ cm}^2$$

$$A_v = A - 2 \cdot b \cdot t_f + (t_w + r) \cdot t_f$$

Siendo:

A: Área bruta de la sección transversal de la barra.

$$A : \underline{13.50} \text{ cm}^2$$

b: Ancho de la sección.

$$b : \underline{50.00} \text{ mm}$$

t_f : Espesor del ala.

$$t_f : \underline{8.50} \text{ mm}$$

t_w : Espesor del alma.

$$t_w : \underline{6.00} \text{ mm}$$

r: Radio de acuerdo entre ala y alma.

$$r : \underline{8.50} \text{ mm}$$

f_{yd} : Resistencia de cálculo del acero.

$$f_{yd} : \underline{2669.77} \text{ kp/cm}^2$$

$$f_{yd} = f_y / \gamma_{M0}$$

Siendo:

f_y : Límite elástico. (CTE DB SE-A, Tabla 4.1)

$$f_y : \underline{2803.26} \text{ kp/cm}^2$$

γ_{M0} : Coeficiente parcial de seguridad del material.

$$\gamma_{M0} : \underline{1.05}$$

Abolladura por cortante del alma: (CTE DB SE-A, Artículo 6.3.3.4)

Aunque no se han dispuesto rigidizadores transversales, no es necesario comprobar la resistencia a la abolladura del alma, puesto que se cumple:

$$\frac{d}{t_w} < 70 \cdot \varepsilon$$

$$13.83 < 64.71 \quad \checkmark$$

Donde:

I_w : Esbeltez del alma.

$$I_w : \underline{13.83}$$

$$\lambda_w = \frac{d}{t_w}$$

I_{\max} : Esbeltez máxima.

$$I_{\max} : \underline{64.71}$$

$$\lambda_{\max} = 70 \cdot \varepsilon$$

e: Factor de reducción.

$$e : \underline{0.92}$$

$$\varepsilon = \sqrt{\frac{f_{ref}}{f_y}}$$

Siendo:

f_{ref} : Límite elástico de referencia.

$$f_{ref} : \underline{2395.51} \text{ kp/cm}^2$$

f_y : Límite elástico. (CTE DB SE-A, Tabla 4.1)

$$f_y : \underline{2803.26} \text{ kp/cm}^2$$



Resistencia a corte Y (CTE DB SE-A, Artículo 6.2.4)

Se debe satisfacer:

$$\eta = \frac{V_{Ed}}{V_{c,Rd}} \leq 1$$

$$h < \underline{0.001} \quad \checkmark$$

El esfuerzo solicitante de cálculo pésimo se produce para la combinación de acciones 1.35·PP+1.5·V1(2).

V_{Ed} : Esfuerzo cortante solicitante de cálculo pésimo.

$$V_{Ed} : \underline{0.004} \text{ t}$$

El esfuerzo cortante resistente de cálculo $V_{c,Rd}$ viene dado por:

$$V_{c,Rd} = A_v \cdot \frac{f_{yd}}{\sqrt{3}}$$

$$V_{c,Rd} : \underline{13.133} \text{ t}$$

Donde:

A_v : Área transversal a cortante.

$$A_v : \underline{8.52} \text{ cm}^2$$

$$A_v = A - d \cdot t_w$$

Siendo:

A: Área de la sección bruta.

$$A : \underline{13.50} \text{ cm}^2$$

d: Altura del alma.

$$d : \underline{83.00} \text{ mm}$$

t_w : Espesor del alma.

$$t_w : \underline{6.00} \text{ mm}$$

f_{yd} : Resistencia de cálculo del acero.

$$f_{yd} : \underline{2669.77} \text{ kp/cm}^2$$

$$f_{yd} = f_y / \gamma_{M0}$$

Siendo:

f_y : Límite elástico. (CTE DB SE-A, Tabla 4.1)

$$f_y : \underline{2803.26} \text{ kp/cm}^2$$

γ_{M0} : Coeficiente parcial de seguridad del material.

$$\gamma_{M0} : \underline{1.05}$$

Resistencia a momento flector Y y fuerza cortante Z combinados (CTE DB SE-A, Artículo 6.2.8)

No es necesario reducir la resistencia de cálculo a flexión, ya que el esfuerzo cortante solicitante de cálculo pésimo V_{Ed} no es superior al 50% de la resistencia de cálculo a cortante $V_{c,Rd}$.

$$V_{Ed} \leq \frac{V_{c,Rd}}{2}$$

$$0.154 \text{ t} \leq 4.803 \text{ t} \quad \checkmark$$

Los esfuerzos solicitantes de cálculo pésimos se producen para la combinación de acciones 1.35·PP+1.5·V1(2)+0.75·N1.

V_{Ed} : Esfuerzo cortante solicitante de cálculo pésimo.

$$V_{Ed} : \underline{0.154} \text{ t}$$

$V_{c,Rd}$: Esfuerzo cortante resistente de cálculo.

$$V_{c,Rd} : \underline{9.607} \text{ t}$$



Listados

FORJADORADIOQIROFANOCUBIERTADEF20220908

Fecha: 08/09/22

Resistencia a momento flector Z y fuerza cortante Y combinados (CTE DB SE-A, Artículo 6.2.8)

No es necesario reducir la resistencia de cálculo a flexión, ya que el esfuerzo cortante solicitante de cálculo pésimo V_{Ed} no es superior al 50% de la resistencia de cálculo a cortante $V_{c,Rd}$.

$$V_{Ed} \leq \frac{V_{c,Rd}}{2}$$

$$0.004 \text{ t} \leq 6.566 \text{ t} \quad \checkmark$$

Los esfuerzos solicitantes de cálculo pésimos se producen en el nudo N43, para la combinación de acciones 1.35·PP+1.5·V1(2).

V_{Ed} : Esfuerzo cortante solicitante de cálculo pésimo.

$$V_{Ed} : \underline{0.004} \text{ t}$$

$V_{c,Rd}$: Esfuerzo cortante resistente de cálculo.

$$V_{c,Rd} : \underline{13.133} \text{ t}$$

Resistencia a flexión y axil combinados (CTE DB SE-A, Artículo 6.2.8)

Se debe satisfacer:

$$\eta = \frac{N_{c,Ed}}{N_{pl,Rd}} + \frac{M_{y,Ed}}{M_{pl,Rd,y}} + \frac{M_{z,Ed}}{M_{pl,Rd,z}} \leq 1$$

$$h : \underline{0.461} \quad \checkmark$$

$$\eta = \frac{N_{c,Ed}}{\chi_y \cdot A \cdot f_{yd}} + k_y \cdot \frac{C_{m,y} \cdot M_{y,Ed}}{\chi_{LT} \cdot W_{pl,y} \cdot f_{yd}} + \alpha_z \cdot k_z \cdot \frac{C_{m,z} \cdot M_{z,Ed}}{W_{pl,z} \cdot f_{yd}} \leq 1$$

$$h : \underline{0.605} \quad \checkmark$$

$$\eta = \frac{N_{c,Ed}}{\chi_z \cdot A \cdot f_{yd}} + k_{y,LT} \cdot \frac{M_{y,Ed}}{\chi_{LT} \cdot W_{pl,y} \cdot f_{yd}} + k_z \cdot \frac{C_{m,z} \cdot M_{z,Ed}}{W_{pl,z} \cdot f_{yd}} \leq 1$$

$$h : \underline{0.481} \quad \checkmark$$

Los esfuerzos solicitantes de cálculo pésimos se producen en el nudo N19, para la combinación de acciones 1.35·PP+1.5·V1(2)+0.75·N1.

Donde:

$N_{c,Ed}$: Axil de compresión solicitante de cálculo pésimo.

$$N_{c,Ed} : \underline{7.622} \text{ t}$$

$M_{y,Ed}$, $M_{z,Ed}$: Momentos flectores solicitantes de cálculo pésimos, según los ejes Y y Z, respectivamente.

$$M_{y,Ed}^+ : \underline{0.327} \text{ t} \cdot \text{m}$$

$$M_{z,Ed}^+ : \underline{0.000} \text{ t} \cdot \text{m}$$

Clase: Clase de la sección, según la capacidad de deformación y de desarrollo de la resistencia plástica de sus elementos planos, para axil y flexión simple.

$$\text{Clase} : \underline{1}$$

$N_{pl,Rd}$: Resistencia a compresión de la sección bruta.

$$N_{pl,Rd} : \underline{36.042} \text{ t}$$

$M_{pl,Rd,y}$, $M_{pl,Rd,z}$: Resistencia a flexión de la sección bruta en condiciones plásticas, respecto a los ejes Y y Z, respectivamente.

$$M_{pl,Rd,y} : \underline{1.308} \text{ t} \cdot \text{m}$$

$$M_{pl,Rd,z} : \underline{0.433} \text{ t} \cdot \text{m}$$

Resistencia a pandeo: (CTE DB SE-A, Artículo 6.3.4.2)

A: Área de la sección bruta.

$$A : \underline{13.50} \text{ cm}^2$$

$W_{pl,y}$, $W_{pl,z}$: Módulos resistentes plásticos correspondientes a la fibra comprimida, alrededor de los ejes Y y Z, respectivamente.

$$W_{pl,y} : \underline{49.00} \text{ cm}^3$$

$$W_{pl,z} : \underline{16.20} \text{ cm}^3$$

f_{yd} : Resistencia de cálculo del acero.

$$f_{yd} : \underline{2669.77} \text{ kp/cm}^2$$

$$f_{yd} = f_y / \gamma_{M1}$$

Siendo:

f_y : Límite elástico. (CTE DB SE-A, Tabla 4.1)

$$f_y : \underline{2803.26} \text{ kp/cm}^2$$

γ_{M1} : Coeficiente parcial de seguridad del material.

$$\gamma_{M1} : \underline{1.05}$$

k_y , k_z , $k_{y,LT}$: Coeficientes de interacción.



Listados

FORJADORADIOQIROFANOCUBIERTADEF20220908

Fecha: 08/09/22

$$k_y = 1 + (\bar{\lambda}_y - 0.2) \cdot \frac{N_{c,Ed}}{\chi_y \cdot N_{c,Rd}}$$

$$k_y : 1.18$$

$$k_z = 1 + (2 \cdot \bar{\lambda}_z - 0.6) \cdot \frac{N_{c,Ed}}{\chi_z \cdot N_{c,Rd}}$$

$$k_z : 1.04$$

$$k_{y,LT} = 1 - \frac{0.1 \cdot \bar{\lambda}_z}{C_{m,LT} - 0.25} \cdot \frac{N_{c,Ed}}{\chi_z \cdot N_{c,Rd}}$$

$$k_{y,LT} : 0.99$$

$C_{m,y}$, $C_{m,z}$, $C_{m,LT}$: Factores de momento flector uniforme equivalente.

$$C_{m,y} : 1.00$$

$$C_{m,z} : 1.00$$

$$C_{m,LT} : 1.00$$

c_y , c_z : Coeficientes de reducción por pandeo, alrededor de los ejes Y y Z, respectivamente.

$$c_y : 0.68$$

$$c_z : 0.90$$

c_{LT} : Coeficiente de reducción por pandeo lateral.

$$c_{LT} : 1.00$$

η_y , η_z : Esbelteces reducidas con valores no mayores que 1.00, en relación a los ejes Y y Z, respectivamente.

$$\eta_y : 0.77$$

$$\eta_z : 0.39$$

a_y , a_z : Factores dependientes de la clase de la sección.

$$a_y : 0.60$$

$$a_z : 0.60$$

Resistencia a flexión, axil y cortante combinados (CTE DB SE-A, Artículo 6.2.8)

No es necesario reducir las resistencias de cálculo a flexión y a axil, ya que se puede ignorar el efecto de abolladura por esfuerzo cortante y, además, el esfuerzo cortante solicitante de cálculo pésimo V_{Ed} es menor o igual que el 50% del esfuerzo cortante resistente de cálculo $V_{c,Rd}$.

Los esfuerzos solicitantes de cálculo pésimos se producen para la combinación de acciones $1.35 \cdot PP + 1.5 \cdot V1(2) + 0.75 \cdot N1$.

$$V_{Ed,z} \leq \frac{V_{c,Rd,z}}{2}$$

$$0.154 \text{ t} \leq 4.803 \text{ t} \quad \checkmark$$

Donde:

$V_{Ed,z}$: Esfuerzo cortante solicitante de cálculo pésimo.

$$V_{Ed,z} : 0.154 \text{ t}$$

$V_{c,Rd,z}$: Esfuerzo cortante resistente de cálculo.

$$V_{c,Rd,z} : 9.607 \text{ t}$$

Resistencia a torsión (CTE DB SE-A, Artículo 6.2.7)

La comprobación no procede, ya que no hay momento torsor.

Resistencia a cortante Z y momento torsor combinados (CTE DB SE-A, Artículo 6.2.8)

No hay interacción entre momento torsor y esfuerzo cortante para ninguna combinación. Por lo tanto, la comprobación no procede.

Resistencia a cortante Y y momento torsor combinados (CTE DB SE-A, Artículo 6.2.8)

No hay interacción entre momento torsor y esfuerzo cortante para ninguna combinación. Por lo tanto, la comprobación no procede.



Listados

FORJADORADIOQIROFANOCUBIERTADEF20220908

Fecha: 08/09/22

$N_{cr,y}$: Axil crítico elástico de pandeo por flexión respecto al eje Y.

$N_{cr,y}$: 63.501 t

$$N_{cr,y} = \frac{\pi^2 \cdot E \cdot I_y}{L_{ky}^2}$$

$N_{cr,T}$: Axil crítico elástico de pandeo por torsión.

$N_{cr,T}$: 211.957 t

$$N_{cr,T} = \frac{1}{i_0^2} \cdot \left[G \cdot I_t + \frac{\pi^2 \cdot E \cdot I_w}{L_{kt}^2} \right]$$

I_y : Momento de inercia de la sección bruta, respecto al eje Y.

I_y : 206.00 cm⁴

I_z : Momento de inercia de la sección bruta, respecto al eje Z.

I_z : 29.30 cm⁴

I_t : Momento de inercia a torsión uniforme.

I_t : 2.81 cm⁴

I_w : Constante de alabeo de la sección.

I_w : 410.00 cm⁶

E: Módulo de elasticidad.

E : 2140673 kp/cm²

G: Módulo de elasticidad transversal.

G : 825688 kp/cm²

L_{ky} : Longitud efectiva de pandeo por flexión, respecto al eje Y.

L_{ky} : 2.618 m

L_{kz} : Longitud efectiva de pandeo por flexión, respecto al eje Z.

L_{kz} : 0.500 m

L_{kt} : Longitud efectiva de pandeo por torsión.

L_{kt} : 0.500 m

b: Constante adimensional obtenida mediante la siguiente expresión:

b : 0.64

$$\beta = 1 - \left(\frac{y_0^2 + z_0^2}{i_0^2} \right)$$

Donde:

i_0 : Radio de giro polar de la sección bruta, respecto al centro de torsión.

i_0 : 5.22 cm

$$i_0 = \left(i_y^2 + i_z^2 + y_0^2 + z_0^2 \right)^{0.5}$$

Siendo:

i_y , i_z : Radios de giro de la sección bruta, respecto a los ejes principales de inercia Y y Z.

i_y : 3.91 cm

i_z : 1.47 cm

y_0 , z_0 : Coordenadas del centro de torsión en la dirección de los ejes principales Y y Z, respectivamente, relativas al centro de gravedad de la sección.

y_0 : -31.41 mm

z_0 : 0.00 mm



Listados

FORJADORADIOQIROFANOCUBIERTADEF20220908

Fecha: 08/09/22

Abolladura del alma inducida por el ala comprimida (Criterio de CYPE, basado en: Eurocódigo 3 EN 1993-1-5: 2006, Artículo 8)

Se debe satisfacer:

$$\frac{h_w}{t_w} \leq k \frac{E}{f_{yf}} \sqrt{\frac{A_w}{A_{fc,ef}}}$$

13.83 ≤ 247.99 ✓

Donde:

h_w : Altura del alma.

t_w : Espesor del alma.

A_w : Área del alma.

$A_{fc,ef}$: Área reducida del ala comprimida.

k : Coeficiente que depende de la clase de la sección.

E : Módulo de elasticidad.

f_{yf} : Límite elástico del acero del ala comprimida.

Siendo:

$$f_{yf} = f_y$$

h_w : 83.00 mm

t_w : 6.00 mm

A_w : 4.98 cm²

$A_{fc,ef}$: 4.25 cm²

k : 0.30

E : 2140673 kp/cm²

f_{yf} : 2803.26 kp/cm²

Resistencia a tracción (CTE DB SE-A, Artículo 6.2.3)

La comprobación no procede, ya que no hay axil de tracción.

Resistencia a compresión (CTE DB SE-A, Artículo 6.2.5)

Se debe satisfacer:

$$\eta = \frac{N_{c,Ed}}{N_{c,Rd}} \leq 1$$

η : 0.331 ✓

$$\eta = \frac{N_{c,Ed}}{N_{b,Rd}} \leq 1$$

η : 0.510 ✓

El esfuerzo solicitante de cálculo pésimo se produce en el nudo N46, para la combinación de acciones 1.35·PP+1.5·Q1.

$N_{c,Ed}$: Axil de compresión solicitante de cálculo pésimo.

$N_{c,Ed}$: 11.922 t

La resistencia de cálculo a compresión $N_{c,Rd}$ viene dada por:

$$N_{c,Rd} = A \cdot f_{yd}$$

$N_{c,Rd}$: 36.042 t

Donde:

Clase: Clase de la sección, según la capacidad de deformación y de desarrollo de la resistencia plástica de los elementos planos comprimidos de una sección.

Clase : 1

A : Área de la sección bruta para las secciones de clase 1, 2 y 3.

A : 13.50 cm²

f_{yd} : Resistencia de cálculo del acero.

f_{yd} : 2669.77 kp/cm²

$$f_{yd} = f_y / \gamma_{M0}$$

Siendo:

f_y : Límite elástico. (CTE DB SE-A, Tabla 4.1)

f_y : 2803.26 kp/cm²

γ_{M0} : Coeficiente parcial de seguridad del material.

γ_{M0} : 1.05

Resistencia a pandeo: (CTE DB SE-A, Artículo 6.3.2)



Listados

FORJADORADIOQIROFANOCUBIERTADEF20220908

Fecha: 08/09/22

La resistencia de cálculo a pandeo $N_{b,Rd}$ en una barra comprimida viene dada por:

$$N_{b,Rd} = \chi \cdot A \cdot f_{yd}$$

$$N_{b,Rd} : \underline{23.396} \text{ t}$$

Donde:

A: Área de la sección bruta para las secciones de clase 1, 2 y 3.

$$A : \underline{13.50} \text{ cm}^2$$

f_{yd} : Resistencia de cálculo del acero.

$$f_{yd} : \underline{2669.77} \text{ kp/cm}^2$$

$$f_{yd} = f_y / \gamma_{M1}$$

Siendo:

f_y : Límite elástico. (CTE DB SE-A, Tabla 4.1)

$$f_y : \underline{2803.26} \text{ kp/cm}^2$$

γ_{M1} : Coeficiente parcial de seguridad del material.

$$\gamma_{M1} : \underline{1.05}$$

χ : Coeficiente de reducción por pandeo.

$$\chi = \frac{1}{\Phi + \sqrt{\Phi^2 - (\bar{\lambda})^2}} \leq 1$$

$$C_z : \underline{0.90}$$

$$C_{FT} : \underline{0.65}$$

Siendo:

$$\Phi = 0.5 \cdot \left[1 + \alpha \cdot (\bar{\lambda} - 0.2) + (\bar{\lambda})^2 \right]$$

$$f_z : \underline{0.62}$$

$$f_{FT} : \underline{0.99}$$

α : Coeficiente de imperfección elástica.

$$a_z : \underline{0.49}$$

$$a_{FT} : \underline{0.49}$$

$\bar{\lambda}$: Esbeltez reducida.

$$\bar{\lambda} = \sqrt{\frac{A \cdot f_y}{N_{cr}}}$$

$$\bar{\lambda}_z : \underline{0.39}$$

$$\bar{\lambda}_{FT} : \underline{0.82}$$

N_{cr} : Axil crítico elástico de pandeo, obtenido como el menor de los siguientes valores:

$$N_{cr} : \underline{56.179} \text{ t}$$

$N_{cr,z}$: Axil crítico elástico de pandeo por flexión respecto al eje Z.

$$N_{cr,z} : \underline{247.615} \text{ t}$$

$N_{cr,FT}$: Axil crítico elástico de pandeo por flexotorsión.

$$N_{cr,FT} : \underline{56.179} \text{ t}$$



Listados

FORJADORADIOQIROFANOCUBIERTADEF20220908

Fecha: 08/09/22

Resistencia a flexión eje Y (CTE DB SE-A, Artículo 6.2.6)

Se debe satisfacer:

$$\eta = \frac{M_{Ed}}{M_{c,Rd}} \leq 1$$

$$h : \underline{0.234} \quad \checkmark$$

Para flexión positiva:

El esfuerzo solicitante de cálculo pésimo se produce en el nudo N23, para la combinación de acciones 0.8·PP+1.5·V1(2).

M_{Ed}^+ : Momento flector solicitante de cálculo pésimo.

$$M_{Ed}^+ : \underline{0.014} \text{ t·m}$$

Para flexión negativa:

El esfuerzo solicitante de cálculo pésimo se produce en el nudo N23, para la combinación de acciones 1.35·PP+1.5·Q1.

M_{Ed}^- : Momento flector solicitante de cálculo pésimo.

$$M_{Ed}^- : \underline{0.305} \text{ t·m}$$

El momento flector resistente de cálculo $M_{c,Rd}$ viene dado por:

$$M_{c,Rd} = W_{pl,y} \cdot f_{yd}$$

$$M_{c,Rd} : \underline{1.308} \text{ t·m}$$

Donde:

Clase: Clase de la sección, según la capacidad de deformación y de desarrollo de la resistencia plástica de los elementos planos de una sección a flexión simple.

$$\text{Clase} : \underline{1}$$

$W_{pl,y}$: Módulo resistente plástico correspondiente a la fibra con mayor tensión, para las secciones de clase 1 y 2.

$$W_{pl,y} : \underline{49.00} \text{ cm}^3$$

f_{yd} : Resistencia de cálculo del acero.

$$f_{yd} : \underline{2669.77} \text{ kp/cm}^2$$

$$f_{yd} = f_y / \gamma_{M0}$$

Siendo:

f_y : Límite elástico. (CTE DB SE-A, Tabla 4.1)

$$f_y : \underline{2803.26} \text{ kp/cm}^2$$

γ_{M0} : Coeficiente parcial de seguridad del material.

$$\gamma_{M0} : \underline{1.05}$$

Resistencia a pandeo lateral: (CTE DB SE-A, Artículo 6.3.3.2)

No procede, dado que las longitudes de pandeo lateral son nulas.

**Resistencia a flexión eje Z** (CTE DB SE-A, Artículo 6.2.6)

Se debe satisfacer:

$$\eta = \frac{M_{Ed}}{M_{c,Rd}} \leq 1$$

$$h < \underline{0.001} \quad \checkmark$$

Para flexión positiva:

El esfuerzo solicitante de cálculo pésimo se produce en el nudo N46, para la combinación de acciones 0.8·PP+1.5·V1(1).

M_{Ed}^+ : Momento flector solicitante de cálculo pésimo.

$$M_{Ed}^+ : \underline{0.000} \text{ t·m}$$

Para flexión negativa:

M_{Ed}^- : Momento flector solicitante de cálculo pésimo.

$$M_{Ed}^- : \underline{0.000} \text{ t·m}$$

El momento flector resistente de cálculo $M_{c,Rd}$ viene dado por:

$$M_{c,Rd} = W_{pl,z} \cdot f_{yd}$$

$$M_{c,Rd} : \underline{0.433} \text{ t·m}$$

Donde:

Clase: Clase de la sección, según la capacidad de deformación y de desarrollo de la resistencia plástica de los elementos planos de una sección a flexión simple.

$$\text{Clase} : \underline{1}$$

$W_{pl,z}$: Módulo resistente plástico correspondiente a la fibra con mayor tensión, para las secciones de clase 1 y 2.

$$W_{pl,z} : \underline{16.20} \text{ cm}^3$$

f_{yd} : Resistencia de cálculo del acero.

$$f_{yd} : \underline{2669.77} \text{ kp/cm}^2$$

$$f_{yd} = f_y / \gamma_{M0}$$

Siendo:

f_y : Límite elástico. (CTE DB SE-A, Tabla 4.1)

$$f_y : \underline{2803.26} \text{ kp/cm}^2$$

γ_{M0} : Coeficiente parcial de seguridad del material.

$$\gamma_{M0} : \underline{1.05}$$



Listados

FORJADORADIOQIROFANOCUBIERTADEF20220908

Fecha: 08/09/22

Resistencia a corte Z (CTE DB SE-A, Artículo 6.2.4)

Se debe satisfacer:

$$\eta = \frac{V_{Ed}}{V_{c,Rd}} \leq 1$$

$$h : \underline{0.013} \quad \checkmark$$

El esfuerzo solicitante de cálculo pésimo se produce para la combinación de acciones 1.35·PP+1.5·Q1.

V_{Ed} : Esfuerzo cortante solicitante de cálculo pésimo.

$$V_{Ed} : \underline{0.120} \text{ t}$$

El esfuerzo cortante resistente de cálculo $V_{c,Rd}$ viene dado por:

$$V_{c,Rd} = A_v \cdot \frac{f_{yd}}{\sqrt{3}}$$

$$V_{c,Rd} : \underline{9.607} \text{ t}$$

Donde:

A_v : Área transversal a cortante.

$$A_v : \underline{6.23} \text{ cm}^2$$

$$A_v = A - 2 \cdot b \cdot t_f + (t_w + r) \cdot t_f$$

Siendo:

A: Área bruta de la sección transversal de la barra.

$$A : \underline{13.50} \text{ cm}^2$$

b: Ancho de la sección.

$$b : \underline{50.00} \text{ mm}$$

t_f : Espesor del ala.

$$t_f : \underline{8.50} \text{ mm}$$

t_w : Espesor del alma.

$$t_w : \underline{6.00} \text{ mm}$$

r: Radio de acuerdo entre ala y alma.

$$r : \underline{8.50} \text{ mm}$$

f_{yd} : Resistencia de cálculo del acero.

$$f_{yd} : \underline{2669.77} \text{ kp/cm}^2$$

$$f_{yd} = f_y / \gamma_{M0}$$

Siendo:

f_y : Límite elástico. (CTE DB SE-A, Tabla 4.1)

$$f_y : \underline{2803.26} \text{ kp/cm}^2$$

γ_{M0} : Coeficiente parcial de seguridad del material.

$$\gamma_{M0} : \underline{1.05}$$

Abolladura por cortante del alma: (CTE DB SE-A, Artículo 6.3.3.4)

Aunque no se han dispuesto rigidizadores transversales, no es necesario comprobar la resistencia a la abolladura del alma, puesto que se cumple:

$$\frac{d}{t_w} < 70 \cdot \varepsilon$$

$$13.83 < 64.71 \quad \checkmark$$

Donde:

I_w : Esbeltez del alma.

$$I_w : \underline{13.83}$$

$$\lambda_w = \frac{d}{t_w}$$

$I_{m\acute{a}x}$: Esbeltez máxima.

$$I_{m\acute{a}x} : \underline{64.71}$$

$$\lambda_{m\acute{a}x} = 70 \cdot \varepsilon$$

e: Factor de reducción.

$$e : \underline{0.92}$$

$$\varepsilon = \sqrt{\frac{f_{ref}}{f_y}}$$

Siendo:

f_{ref} : Límite elástico de referencia.

$$f_{ref} : \underline{2395.51} \text{ kp/cm}^2$$

f_y : Límite elástico. (CTE DB SE-A, Tabla 4.1)

$$f_y : \underline{2803.26} \text{ kp/cm}^2$$



Resistencia a corte Y (CTE DB SE-A, Artículo 6.2.4)

Se debe satisfacer:

$$\eta = \frac{V_{Ed}}{V_{c,Rd}} \leq 1$$

$$h < \underline{0.001} \quad \checkmark$$

El esfuerzo solicitante de cálculo pésimo se produce para la combinación de acciones 0.8·PP+1.5·V1(1).

V_{Ed} : Esfuerzo cortante solicitante de cálculo pésimo.

$$V_{Ed} : \underline{0.001} \text{ t}$$

El esfuerzo cortante resistente de cálculo $V_{c,Rd}$ viene dado por:

$$V_{c,Rd} = A_v \cdot \frac{f_{yd}}{\sqrt{3}}$$

$$V_{c,Rd} : \underline{13.133} \text{ t}$$

Donde:

A_v : Área transversal a cortante.

$$A_v : \underline{8.52} \text{ cm}^2$$

$$A_v = A - d \cdot t_w$$

Siendo:

A: Área de la sección bruta.

$$A : \underline{13.50} \text{ cm}^2$$

d: Altura del alma.

$$d : \underline{83.00} \text{ mm}$$

t_w : Espesor del alma.

$$t_w : \underline{6.00} \text{ mm}$$

f_{yd} : Resistencia de cálculo del acero.

$$f_{yd} : \underline{2669.77} \text{ kp/cm}^2$$

$$f_{yd} = f_y / \gamma_{M0}$$

Siendo:

f_y : Límite elástico. (CTE DB SE-A, Tabla 4.1)

$$f_y : \underline{2803.26} \text{ kp/cm}^2$$

γ_{M0} : Coeficiente parcial de seguridad del material.

$$\gamma_{M0} : \underline{1.05}$$

Resistencia a momento flector Y y fuerza cortante Z combinados (CTE DB SE-A, Artículo 6.2.8)

No es necesario reducir la resistencia de cálculo a flexión, ya que el esfuerzo cortante solicitante de cálculo pésimo V_{Ed} no es superior al 50% de la resistencia de cálculo a cortante $V_{c,Rd}$.

$$V_{Ed} \leq \frac{V_{c,Rd}}{2}$$

$$0.120 \text{ t} \leq 4.803 \text{ t} \quad \checkmark$$

Los esfuerzos solicitantes de cálculo pésimos se producen para la combinación de acciones 1.35·PP+1.5·Q1.

V_{Ed} : Esfuerzo cortante solicitante de cálculo pésimo.

$$V_{Ed} : \underline{0.120} \text{ t}$$

$V_{c,Rd}$: Esfuerzo cortante resistente de cálculo.

$$V_{c,Rd} : \underline{9.607} \text{ t}$$



Listados

FORJADORADIOQIROFANOCUBIERTADEF20220908

Fecha: 08/09/22

Resistencia a momento flector Z y fuerza cortante Y combinados (CTE DB SE-A, Artículo 6.2.8)

No es necesario reducir la resistencia de cálculo a flexión, ya que el esfuerzo cortante solicitante de cálculo pésimo V_{Ed} no es superior al 50% de la resistencia de cálculo a cortante $V_{c,Rd}$.

$$V_{Ed} \leq \frac{V_{c,Rd}}{2}$$

$$0.001 \text{ t} \leq 6.566 \text{ t} \quad \checkmark$$

Los esfuerzos solicitantes de cálculo pésimos se producen en el nudo N46, para la combinación de acciones 0.8·PP+1.5·V1(1).

V_{Ed} : Esfuerzo cortante solicitante de cálculo pésimo.

$$V_{Ed} : \underline{0.001} \text{ t}$$

$V_{c,Rd}$: Esfuerzo cortante resistente de cálculo.

$$V_{c,Rd} : \underline{13.133} \text{ t}$$

Resistencia a flexión y axil combinados (CTE DB SE-A, Artículo 6.2.8)

Se debe satisfacer:

$$\eta = \frac{N_{c,Ed}}{N_{pl,Rd}} + \frac{M_{y,Ed}}{M_{pl,Rd,y}} + \frac{M_{z,Ed}}{M_{pl,Rd,z}} \leq 1$$

$$h : \underline{0.563} \quad \checkmark$$

$$\eta = \frac{N_{c,Ed}}{\chi_y \cdot A \cdot f_{yd}} + k_y \cdot \frac{C_{m,y} \cdot M_{y,Ed}}{\chi_{LT} \cdot W_{pl,y} \cdot f_{yd}} + \alpha_z \cdot k_z \cdot \frac{C_{m,z} \cdot M_{z,Ed}}{W_{pl,z} \cdot f_{yd}} \leq 1$$

$$h : \underline{0.783} \quad \checkmark$$

$$\eta = \frac{N_{c,Ed}}{\chi_z \cdot A \cdot f_{yd}} + k_{y,LT} \cdot \frac{M_{y,Ed}}{\chi_{LT} \cdot W_{pl,y} \cdot f_{yd}} + k_z \cdot \frac{C_{m,z} \cdot M_{z,Ed}}{W_{pl,z} \cdot f_{yd}} \leq 1$$

$$h : \underline{0.594} \quad \checkmark$$

Los esfuerzos solicitantes de cálculo pésimos se producen en el nudo N23, para la combinación de acciones 1.35·PP+1.5·Q1.

Donde:

$N_{c,Ed}$: Axil de compresión solicitante de cálculo pésimo.

$$N_{c,Ed} : \underline{11.869} \text{ t}$$

$M_{y,Ed}$, $M_{z,Ed}$: Momentos flectores solicitantes de cálculo pésimos, según los ejes Y y Z, respectivamente.

$$M_{y,Ed} : \underline{0.305} \text{ t} \cdot \text{m}$$

$$M_{z,Ed} : \underline{0.000} \text{ t} \cdot \text{m}$$

Clase: Clase de la sección, según la capacidad de deformación y de desarrollo de la resistencia plástica de sus elementos planos, para axil y flexión simple.

$$\text{Clase} : \underline{1}$$

$N_{pl,Rd}$: Resistencia a compresión de la sección bruta.

$$N_{pl,Rd} : \underline{36.042} \text{ t}$$

$M_{pl,Rd,y}$, $M_{pl,Rd,z}$: Resistencia a flexión de la sección bruta en condiciones plásticas, respecto a los ejes Y y Z, respectivamente.

$$M_{pl,Rd,y} : \underline{1.308} \text{ t} \cdot \text{m}$$

$$M_{pl,Rd,z} : \underline{0.433} \text{ t} \cdot \text{m}$$

Resistencia a pandeo: (CTE DB SE-A, Artículo 6.3.4.2)

A: Área de la sección bruta.

$$A : \underline{13.50} \text{ cm}^2$$

$W_{pl,y}$, $W_{pl,z}$: Módulos resistentes plásticos correspondientes a la fibra comprimida, alrededor de los ejes Y y Z, respectivamente.

$$W_{pl,y} : \underline{49.00} \text{ cm}^3$$

$$W_{pl,z} : \underline{16.20} \text{ cm}^3$$

f_{yd} : Resistencia de cálculo del acero.

$$f_{yd} : \underline{2669.77} \text{ kp/cm}^2$$

$$f_{yd} = f_y / \gamma_{M1}$$

Siendo:

f_y : Límite elástico. (CTE DB SE-A, Tabla 4.1)

$$f_y : \underline{2803.26} \text{ kp/cm}^2$$

γ_{M1} : Coeficiente parcial de seguridad del material.

$$\gamma_{M1} : \underline{1.05}$$

k_y , k_z , $k_{y,LT}$: Coeficientes de interacción.



Listados

FORJADORADIOQIROFANOCUBIERTADEF20220908

Fecha: 08/09/22

$$k_y = 1 + (\bar{\lambda}_y - 0.2) \cdot \frac{N_{c,Ed}}{\chi_y \cdot N_{c,Rd}} \quad k_y : \underline{1.28}$$

$$k_z = 1 + (2 \cdot \bar{\lambda}_z - 0.6) \cdot \frac{N_{c,Ed}}{\chi_z \cdot N_{c,Rd}} \quad k_z : \underline{1.07}$$

$$k_{y,LT} = 1 - \frac{0.1 \cdot \bar{\lambda}_z}{C_{m,LT} - 0.25} \cdot \frac{N_{c,Ed}}{\chi_z \cdot N_{c,Rd}} \quad k_{y,LT} : \underline{0.98}$$

$C_{m,y}$, $C_{m,z}$, $C_{m,LT}$: Factores de momento flector uniforme equivalente.

$$C_{m,y} : \underline{1.00}$$

$$C_{m,z} : \underline{1.00}$$

$$C_{m,LT} : \underline{1.00}$$

c_y , c_z : Coeficientes de reducción por pandeo, alrededor de los ejes Y y Z, respectivamente.

$$c_y : \underline{0.68}$$

$$c_z : \underline{0.90}$$

c_{LT} : Coeficiente de reducción por pandeo lateral.

$$c_{LT} : \underline{1.00}$$

η_y , η_z : Esbelteces reducidas con valores no mayores que 1.00, en relación a los ejes Y y Z, respectivamente.

$$\eta_y : \underline{0.77}$$

$$\eta_z : \underline{0.39}$$

a_y , a_z : Factores dependientes de la clase de la sección.

$$a_y : \underline{0.60}$$

$$a_z : \underline{0.60}$$

Resistencia a flexión, axil y cortante combinados (CTE DB SE-A, Artículo 6.2.8)

No es necesario reducir las resistencias de cálculo a flexión y a axil, ya que se puede ignorar el efecto de abolladura por esfuerzo cortante y, además, el esfuerzo cortante solicitante de cálculo pésimo V_{Ed} es menor o igual que el 50% del esfuerzo cortante resistente de cálculo $V_{c,Rd}$.

Los esfuerzos solicitantes de cálculo pésimos se producen para la combinación de acciones 1.35·PP+1.5·Q1.

$$V_{Ed,z} \leq \frac{V_{c,Rd,z}}{2} \quad 0.120 \text{ t} \leq 4.803 \text{ t} \quad \checkmark$$

Donde:

$V_{Ed,z}$: Esfuerzo cortante solicitante de cálculo pésimo.

$$V_{Ed,z} : \underline{0.120} \text{ t}$$

$V_{c,Rd,z}$: Esfuerzo cortante resistente de cálculo.

$$V_{c,Rd,z} : \underline{9.607} \text{ t}$$

Resistencia a torsión (CTE DB SE-A, Artículo 6.2.7)

La comprobación no procede, ya que no hay momento torsor.

Resistencia a cortante Z y momento torsor combinados (CTE DB SE-A, Artículo 6.2.8)

No hay interacción entre momento torsor y esfuerzo cortante para ninguna combinación. Por lo tanto, la comprobación no procede.

Resistencia a cortante Y y momento torsor combinados (CTE DB SE-A, Artículo 6.2.8)

No hay interacción entre momento torsor y esfuerzo cortante para ninguna combinación. Por lo tanto, la comprobación no procede.

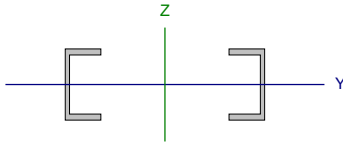


Listados

FORJADORADIOQIROFANOCUBIERTADEF20220908

Fecha: 08/09/22

Barra N47/N24

Perfil: UPN 100, Doble en cajón con presillas (Separación entre los perfiles: 180.0 / 180.0 mm)							
Material: Acero (S275)							
	Nudos		Longitud (m)	Características mecánicas			
	Inicial	Final		Área (cm ²)	I _y ⁽¹⁾ (cm4)	I _z ⁽¹⁾ (cm4)	I _t ⁽²⁾ (cm4)
	N47	N24	3.740	27.00	412.00	4243.67	5.62
	Notas:						
	⁽¹⁾ Inercia respecto al eje indicado						
	⁽²⁾ Momento de inercia a torsión uniforme						
		Pandeo		Pandeo lateral			
		Plano XY	Plano XZ	Ala sup.	Ala inf.		
	β	0.70	0.70	0.00	0.00		
	L _K	2.618	2.618	0.000	0.000		
C _m	1.000	1.000	1.000	1.000			
C ₁	-		1.000				
Notación:							
b: Coeficiente de pandeo							
L _K : Longitud de pandeo (m)							
C _m : Coeficiente de momentos							
C ₁ : Factor de modificación para el momento crítico							

Nota: El análisis de piezas compuestas se realiza mediante la verificación de cada uno de los perfiles simples que las constituyen. Las comprobaciones de dichos perfiles se realizan para los esfuerzos calculados a partir de los que actúan sobre la pieza compuesta, según sus características mecánicas. Para las comprobaciones de estabilidad se utiliza la esbeltez mecánica ideal, obtenida en función de la esbeltez de la pieza y una esbeltez complementaria que tiene en cuenta la separación de los enlaces entre los perfiles simples.

Limitación de esbeltez (CTE DB SE-A, Artículos 6.3.1 y 6.3.2.1 - Tabla 6.3)

La esbeltez reducida $\bar{\lambda}$ de las barras comprimidas debe ser inferior al valor 2.0.

$$\bar{\lambda} = \sqrt{\frac{A \cdot f_y}{N_{cr}}}$$

$$\bar{\lambda} : \underline{0.82} \quad \checkmark$$

Donde:

Clase: Clase de la sección, según la capacidad de deformación y de desarrollo de la resistencia plástica de los elementos planos comprimidos de una sección.

$$\text{Clase} : \underline{1}$$

A: Área de la sección bruta para las secciones de clase 1, 2 y 3.

$$A : \underline{13.50} \text{ cm}^2$$

f_y: Límite elástico. (CTE DB SE-A, Tabla 4.1)

$$f_y : \underline{2803.26} \text{ kp/cm}^2$$

N_{cr}: Axil crítico de pandeo elástico.

$$N_{cr} : \underline{56.179} \text{ t}$$

El axil crítico de pandeo elástico N_{cr} es el menor de los valores obtenidos en a) y b):

a) Axil crítico elástico de pandeo por flexión respecto al eje Z.

$$N_{cr,z} : \underline{247.615} \text{ t}$$

$$N_{cr,z} = \frac{\pi^2 \cdot E \cdot I_z}{L_{Kz}^2}$$

b) Axil crítico elástico de pandeo por flexotorsión.

$$N_{cr,FT} : \underline{56.179} \text{ t}$$

$$N_{cr,FT} = \frac{1}{2 \cdot \beta} \cdot \left[(N_{cr,y} + N_{cr,T}) - \sqrt{(N_{cr,y} + N_{cr,T})^2 - 4 \cdot \beta \cdot N_{cr,y} \cdot N_{cr,T}} \right]$$

Donde:



Listados

FORJADORADIOQIROFANOCUBIERTADEF20220908

Fecha: 08/09/22

$N_{cr,y}$: Axil crítico elástico de pandeo por flexión respecto al eje Y.

$N_{cr,y}$: 63.501 t

$$N_{cr,y} = \frac{\pi^2 \cdot E \cdot I_y}{L_{ky}^2}$$

$N_{cr,T}$: Axil crítico elástico de pandeo por torsión.

$N_{cr,T}$: 211.957 t

$$N_{cr,T} = \frac{1}{i_0^2} \cdot \left[G \cdot I_t + \frac{\pi^2 \cdot E \cdot I_w}{L_{kt}^2} \right]$$

I_y : Momento de inercia de la sección bruta, respecto al eje Y.

I_y : 206.00 cm⁴

I_z : Momento de inercia de la sección bruta, respecto al eje Z.

I_z : 29.30 cm⁴

I_t : Momento de inercia a torsión uniforme.

I_t : 2.81 cm⁴

I_w : Constante de alabeo de la sección.

I_w : 410.00 cm⁶

E: Módulo de elasticidad.

E : 2140673 kp/cm²

G: Módulo de elasticidad transversal.

G : 825688 kp/cm²

L_{ky} : Longitud efectiva de pandeo por flexión, respecto al eje Y.

L_{ky} : 2.618 m

L_{kz} : Longitud efectiva de pandeo por flexión, respecto al eje Z.

L_{kz} : 0.500 m

L_{kt} : Longitud efectiva de pandeo por torsión.

L_{kt} : 0.500 m

b: Constante adimensional obtenida mediante la siguiente expresión:

b : 0.64

$$\beta = 1 - \left(\frac{y_0^2 + z_0^2}{i_0^2} \right)$$

Donde:

i_0 : Radio de giro polar de la sección bruta, respecto al centro de torsión.

i_0 : 5.22 cm

$$i_0 = \left(i_y^2 + i_z^2 + y_0^2 + z_0^2 \right)^{0.5}$$

Siendo:

i_y , i_z : Radios de giro de la sección bruta, respecto a los ejes principales de inercia Y y Z.

i_y : 3.91 cm

i_z : 1.47 cm

y_0 , z_0 : Coordenadas del centro de torsión en la dirección de los ejes principales Y y Z, respectivamente, relativas al centro de gravedad de la sección.

y_0 : -31.41 mm

z_0 : 0.00 mm



Listados

FORJADORADIOQIROFANOCUBIERTADEF20220908

Fecha: 08/09/22

Abolladura del alma inducida por el ala comprimida (Criterio de CYPE, basado en: Eurocódigo 3 EN 1993-1-5: 2006, Artículo 8)

Se debe satisfacer:

$$\frac{h_w}{t_w} \leq k \frac{E}{f_{yf}} \sqrt{\frac{A_w}{A_{fc,ef}}}$$

13.83 ≤ 247.99 ✓

Donde:

h_w : Altura del alma.

t_w : Espesor del alma.

A_w : Área del alma.

$A_{fc,ef}$: Área reducida del ala comprimida.

k : Coeficiente que depende de la clase de la sección.

E : Módulo de elasticidad.

f_{yf} : Límite elástico del acero del ala comprimida.

Siendo:

$$f_{yf} = f_y$$

h_w : 83.00 mm
 t_w : 6.00 mm
 A_w : 4.98 cm²
 $A_{fc,ef}$: 4.25 cm²
 k : 0.30
 E : 2140673 kp/cm²
 f_{yf} : 2803.26 kp/cm²

Resistencia a tracción (CTE DB SE-A, Artículo 6.2.3)

La comprobación no procede, ya que no hay axil de tracción.

Resistencia a compresión (CTE DB SE-A, Artículo 6.2.5)

Se debe satisfacer:

$$\eta = \frac{N_{c,Ed}}{N_{c,Rd}} \leq 1$$

η : 0.241 ✓

$$\eta = \frac{N_{c,Ed}}{N_{b,Rd}} \leq 1$$

η : 0.372 ✓

El esfuerzo solicitante de cálculo pésimo se produce en el nudo N47, para la combinación de acciones 1.35·PP+1.5·Q1.

$N_{c,Ed}$: Axil de compresión solicitante de cálculo pésimo.

$N_{c,Ed}$: 8.702 t

La resistencia de cálculo a compresión $N_{c,Rd}$ viene dada por:

$$N_{c,Rd} = A \cdot f_{yd}$$

$N_{c,Rd}$: 36.042 t

Donde:

Clase: Clase de la sección, según la capacidad de deformación y de desarrollo de la resistencia plástica de los elementos planos comprimidos de una sección.

A : Área de la sección bruta para las secciones de clase 1, 2 y 3.

f_{yd} : Resistencia de cálculo del acero.

$$f_{yd} = f_y / \gamma_{M0}$$

Siendo:

f_y : Límite elástico. (CTE DB SE-A, Tabla 4.1)

γ_{M0} : Coeficiente parcial de seguridad del material.

Clase : 1

A : 13.50 cm²

f_{yd} : 2669.77 kp/cm²

f_y : 2803.26 kp/cm²

γ_{M0} : 1.05

Resistencia a pandeo: (CTE DB SE-A, Artículo 6.3.2)



Listados

FORJADORADIOQIROFANOCUBIERTADEF20220908

Fecha: 08/09/22

La resistencia de cálculo a pandeo $N_{b,Rd}$ en una barra comprimida viene dada por:

$$N_{b,Rd} = \chi \cdot A \cdot f_{yd}$$

$$N_{b,Rd} : \underline{23.396} \text{ t}$$

Donde:

A: Área de la sección bruta para las secciones de clase 1, 2 y 3.

$$A : \underline{13.50} \text{ cm}^2$$

f_{yd} : Resistencia de cálculo del acero.

$$f_{yd} : \underline{2669.77} \text{ kp/cm}^2$$

$$f_{yd} = f_y / \gamma_{M1}$$

Siendo:

f_y : Límite elástico. (CTE DB SE-A, Tabla 4.1)

$$f_y : \underline{2803.26} \text{ kp/cm}^2$$

γ_{M1} : Coeficiente parcial de seguridad del material.

$$\gamma_{M1} : \underline{1.05}$$

χ : Coeficiente de reducción por pandeo.

$$\chi = \frac{1}{\Phi + \sqrt{\Phi^2 - (\bar{\lambda})^2}} \leq 1$$

$$C_z : \underline{0.90}$$

$$C_{FT} : \underline{0.65}$$

Siendo:

$$\Phi = 0.5 \cdot \left[1 + \alpha \cdot (\bar{\lambda} - 0.2) + (\bar{\lambda})^2 \right]$$

$$f_z : \underline{0.62}$$

$$f_{FT} : \underline{0.99}$$

α : Coeficiente de imperfección elástica.

$$a_z : \underline{0.49}$$

$$a_{FT} : \underline{0.49}$$

$\bar{\lambda}$: Esbeltez reducida.

$$\bar{\lambda} = \sqrt{\frac{A \cdot f_y}{N_{cr}}}$$

$$\bar{\lambda}_z : \underline{0.39}$$

$$\bar{\lambda}_{FT} : \underline{0.82}$$

N_{cr} : Axil crítico elástico de pandeo, obtenido como el menor de los siguientes valores:

$$N_{cr} : \underline{56.179} \text{ t}$$

$N_{cr,z}$: Axil crítico elástico de pandeo por flexión respecto al eje Z.

$$N_{cr,z} : \underline{247.615} \text{ t}$$

$N_{cr,FT}$: Axil crítico elástico de pandeo por flexotorsión.

$$N_{cr,FT} : \underline{56.179} \text{ t}$$



Listados

FORJADORADIOQIROFANOCUBIERTADEF20220908

Fecha: 08/09/22

Resistencia a flexión eje Y (CTE DB SE-A, Artículo 6.2.6)

Se debe satisfacer:

$$\eta = \frac{M_{Ed}}{M_{c,Rd}} \leq 1$$

$$h : \underline{0.258} \quad \checkmark$$

Para flexión positiva:

El esfuerzo solicitante de cálculo pésimo se produce en el nudo N24, para la combinación de acciones 1.35·PP+1.5·V1(2)+0.75·N1.

M_{Ed}^+ : Momento flector solicitante de cálculo pésimo.

$$M_{Ed}^+ : \underline{0.338} \text{ t·m}$$

Para flexión negativa:

M_{Ed}^- : Momento flector solicitante de cálculo pésimo.

$$M_{Ed}^- : \underline{0.000} \text{ t·m}$$

El momento flector resistente de cálculo $M_{c,Rd}$ viene dado por:

$$M_{c,Rd} = W_{pl,y} \cdot f_{yd}$$

$$M_{c,Rd} : \underline{1.308} \text{ t·m}$$

Donde:

Clase: Clase de la sección, según la capacidad de deformación y de desarrollo de la resistencia plástica de los elementos planos de una sección a flexión simple.

$$\text{Clase} : \underline{1}$$

$W_{pl,y}$: Módulo resistente plástico correspondiente a la fibra con mayor tensión, para las secciones de clase 1 y 2.

$$W_{pl,y} : \underline{49.00} \text{ cm}^3$$

f_{yd} : Resistencia de cálculo del acero.

$$f_{yd} : \underline{2669.77} \text{ kp/cm}^2$$

$$f_{yd} = f_y / \gamma_{M0}$$

Siendo:

f_y : Límite elástico. (CTE DB SE-A, Tabla 4.1)

$$f_y : \underline{2803.26} \text{ kp/cm}^2$$

γ_{M0} : Coeficiente parcial de seguridad del material.

$$\gamma_{M0} : \underline{1.05}$$

Resistencia a pandeo lateral: (CTE DB SE-A, Artículo 6.3.3.2)

No procede, dado que las longitudes de pandeo lateral son nulas.

**Resistencia a flexión eje Z** (CTE DB SE-A, Artículo 6.2.6)

Se debe satisfacer:

$$\eta = \frac{M_{Ed}}{M_{c,Rd}} \leq 1$$

$$h < \underline{0.001} \quad \checkmark$$

Para flexión positiva:

El esfuerzo solicitante de cálculo pésimo se produce en el nudo N47, para la combinación de acciones 1.35·PP.

M_{Ed}^+ : Momento flector solicitante de cálculo pésimo.

$$M_{Ed}^+ : \underline{0.000} \text{ t·m}$$

Para flexión negativa:

El esfuerzo solicitante de cálculo pésimo se produce en el nudo N47, para la combinación de acciones 0.8·PP+1.5·V1(1).

M_{Ed}^- : Momento flector solicitante de cálculo pésimo.

$$M_{Ed}^- : \underline{0.000} \text{ t·m}$$

El momento flector resistente de cálculo $M_{c,Rd}$ viene dado por:

$$M_{c,Rd} = W_{pl,z} \cdot f_{yd}$$

$$M_{c,Rd} : \underline{0.433} \text{ t·m}$$

Donde:

Clase: Clase de la sección, según la capacidad de deformación y de desarrollo de la resistencia plástica de los elementos planos de una sección a flexión simple.

$$\text{Clase} : \underline{1}$$

$W_{pl,z}$: Módulo resistente plástico correspondiente a la fibra con mayor tensión, para las secciones de clase 1 y 2.

$$W_{pl,z} : \underline{16.20} \text{ cm}^3$$

f_{yd} : Resistencia de cálculo del acero.

$$f_{yd} : \underline{2669.77} \text{ kp/cm}^2$$

$$f_{yd} = f_y / \gamma_{M0}$$

Siendo:

f_y : Límite elástico. (CTE DB SE-A, Tabla 4.1)

$$f_y : \underline{2803.26} \text{ kp/cm}^2$$

γ_{M0} : Coeficiente parcial de seguridad del material.

$$\gamma_{M0} : \underline{1.05}$$



Listados

FORJADORADIOQIROFANOCUBIERTADEF20220908

Fecha: 08/09/22

Resistencia a corte Z (CTE DB SE-A, Artículo 6.2.4)

Se debe satisfacer:

$$\eta = \frac{V_{Ed}}{V_{c,Rd}} \leq 1$$

$$h : \underline{0.017} \quad \checkmark$$

El esfuerzo solicitante de cálculo pésimo se produce para la combinación de acciones 1.35·PP+1.5·V1(2)+0.75·N1.

V_{Ed} : Esfuerzo cortante solicitante de cálculo pésimo.

$$V_{Ed} : \underline{0.160} \text{ t}$$

El esfuerzo cortante resistente de cálculo $V_{c,Rd}$ viene dado por:

$$V_{c,Rd} = A_v \cdot \frac{f_{yd}}{\sqrt{3}}$$

$$V_{c,Rd} : \underline{9.607} \text{ t}$$

Donde:

A_v : Área transversal a cortante.

$$A_v : \underline{6.23} \text{ cm}^2$$

$$A_v = A - 2 \cdot b \cdot t_f + (t_w + r) \cdot t_f$$

Siendo:

A: Área bruta de la sección transversal de la barra.

$$A : \underline{13.50} \text{ cm}^2$$

b: Ancho de la sección.

$$b : \underline{50.00} \text{ mm}$$

t_f : Espesor del ala.

$$t_f : \underline{8.50} \text{ mm}$$

t_w : Espesor del alma.

$$t_w : \underline{6.00} \text{ mm}$$

r: Radio de acuerdo entre ala y alma.

$$r : \underline{8.50} \text{ mm}$$

f_{yd} : Resistencia de cálculo del acero.

$$f_{yd} : \underline{2669.77} \text{ kp/cm}^2$$

$$f_{yd} = f_y / \gamma_{M0}$$

Siendo:

f_y : Límite elástico. (CTE DB SE-A, Tabla 4.1)

$$f_y : \underline{2803.26} \text{ kp/cm}^2$$

γ_{M0} : Coeficiente parcial de seguridad del material.

$$\gamma_{M0} : \underline{1.05}$$

Abolladura por cortante del alma: (CTE DB SE-A, Artículo 6.3.3.4)

Aunque no se han dispuesto rigidizadores transversales, no es necesario comprobar la resistencia a la abolladura del alma, puesto que se cumple:

$$\frac{d}{t_w} < 70 \cdot \varepsilon$$

$$13.83 < 64.71 \quad \checkmark$$

Donde:

I_w : Esbeltez del alma.

$$I_w : \underline{13.83}$$

$$\lambda_w = \frac{d}{t_w}$$

I_{\max} : Esbeltez máxima.

$$I_{\max} : \underline{64.71}$$

$$\lambda_{\max} = 70 \cdot \varepsilon$$

e: Factor de reducción.

$$e : \underline{0.92}$$

$$\varepsilon = \sqrt{\frac{f_{ref}}{f_y}}$$

Siendo:

f_{ref} : Límite elástico de referencia.

$$f_{ref} : \underline{2395.51} \text{ kp/cm}^2$$

f_y : Límite elástico. (CTE DB SE-A, Tabla 4.1)

$$f_y : \underline{2803.26} \text{ kp/cm}^2$$



Resistencia a corte Y (CTE DB SE-A, Artículo 6.2.4)

Se debe satisfacer:

$$\eta = \frac{V_{Ed}}{V_{c,Rd}} \leq 1$$

$$h < \underline{0.001} \quad \checkmark$$

El esfuerzo solicitante de cálculo pésimo se produce para la combinación de acciones 0.8·PP+1.5·V1(1).

V_{Ed} : Esfuerzo cortante solicitante de cálculo pésimo.

$$V_{Ed} : \underline{0.002} \text{ t}$$

El esfuerzo cortante resistente de cálculo $V_{c,Rd}$ viene dado por:

$$V_{c,Rd} = A_v \cdot \frac{f_{yd}}{\sqrt{3}}$$

$$V_{c,Rd} : \underline{13.133} \text{ t}$$

Donde:

A_v : Área transversal a cortante.

$$A_v : \underline{8.52} \text{ cm}^2$$

$$A_v = A - d \cdot t_w$$

Siendo:

A: Área de la sección bruta.

$$A : \underline{13.50} \text{ cm}^2$$

d: Altura del alma.

$$d : \underline{83.00} \text{ mm}$$

t_w : Espesor del alma.

$$t_w : \underline{6.00} \text{ mm}$$

f_{yd} : Resistencia de cálculo del acero.

$$f_{yd} : \underline{2669.77} \text{ kp/cm}^2$$

$$f_{yd} = f_y / \gamma_{M0}$$

Siendo:

f_y : Límite elástico. (CTE DB SE-A, Tabla 4.1)

$$f_y : \underline{2803.26} \text{ kp/cm}^2$$

γ_{M0} : Coeficiente parcial de seguridad del material.

$$\gamma_{M0} : \underline{1.05}$$

Resistencia a momento flector Y y fuerza cortante Z combinados (CTE DB SE-A, Artículo 6.2.8)

No es necesario reducir la resistencia de cálculo a flexión, ya que el esfuerzo cortante solicitante de cálculo pésimo V_{Ed} no es superior al 50% de la resistencia de cálculo a cortante $V_{c,Rd}$.

$$V_{Ed} \leq \frac{V_{c,Rd}}{2}$$

$$0.160 \text{ t} \leq 4.803 \text{ t} \quad \checkmark$$

Los esfuerzos solicitantes de cálculo pésimos se producen para la combinación de acciones 1.35·PP+1.5·V1(2)+0.75·N1.

V_{Ed} : Esfuerzo cortante solicitante de cálculo pésimo.

$$V_{Ed} : \underline{0.160} \text{ t}$$

$V_{c,Rd}$: Esfuerzo cortante resistente de cálculo.

$$V_{c,Rd} : \underline{9.607} \text{ t}$$



Listados

FORJADORADIOQIROFANOCUBIERTADEF20220908

Fecha: 08/09/22

Resistencia a momento flector Z y fuerza cortante Y combinados (CTE DB SE-A, Artículo 6.2.8)

No es necesario reducir la resistencia de cálculo a flexión, ya que el esfuerzo cortante solicitante de cálculo pésimo V_{Ed} no es superior al 50% de la resistencia de cálculo a cortante $V_{c,Rd}$.

$$V_{Ed} \leq \frac{V_{c,Rd}}{2}$$

$$0.002 \text{ t} \leq 6.566 \text{ t} \quad \checkmark$$

Los esfuerzos solicitantes de cálculo pésimos se producen en el nudo N47, para la combinación de acciones 0.8·PP+1.5·V1(1).

V_{Ed} : Esfuerzo cortante solicitante de cálculo pésimo.

$$V_{Ed} : \underline{0.002} \text{ t}$$

$V_{c,Rd}$: Esfuerzo cortante resistente de cálculo.

$$V_{c,Rd} : \underline{13.133} \text{ t}$$

Resistencia a flexión y axil combinados (CTE DB SE-A, Artículo 6.2.8)

Se debe satisfacer:

$$\eta = \frac{N_{c,Ed}}{N_{pl,Rd}} + \frac{M_{y,Ed}}{M_{pl,Rd,y}} + \frac{M_{z,Ed}}{M_{pl,Rd,z}} \leq 1$$

$$h : \underline{0.475} \quad \checkmark$$

$$\eta = \frac{N_{c,Ed}}{\chi_y \cdot A \cdot f_{yd}} + k_y \cdot \frac{C_{m,y} \cdot M_{y,Ed}}{\chi_{LT} \cdot W_{pl,y} \cdot f_{yd}} + \alpha_z \cdot k_z \cdot \frac{C_{m,z} \cdot M_{z,Ed}}{W_{pl,z} \cdot f_{yd}} \leq 1$$

$$h : \underline{0.625} \quad \checkmark$$

$$\eta = \frac{N_{c,Ed}}{\chi_z \cdot A \cdot f_{yd}} + k_{y,LT} \cdot \frac{M_{y,Ed}}{\chi_{LT} \cdot W_{pl,y} \cdot f_{yd}} + k_z \cdot \frac{C_{m,z} \cdot M_{z,Ed}}{W_{pl,z} \cdot f_{yd}} \leq 1$$

$$h : \underline{0.496} \quad \checkmark$$

Los esfuerzos solicitantes de cálculo pésimos se producen en el nudo N24, para la combinación de acciones 1.35·PP+1.5·V1(2)+0.75·N1.

Donde:

$N_{c,Ed}$: Axil de compresión solicitante de cálculo pésimo.

$$N_{c,Ed} : \underline{7.826} \text{ t}$$

$M_{y,Ed}$, $M_{z,Ed}$: Momentos flectores solicitantes de cálculo pésimos, según los ejes Y y Z, respectivamente.

$$M_{y,Ed}^+ : \underline{0.338} \text{ t} \cdot \text{m}$$

$$M_{z,Ed}^+ : \underline{0.000} \text{ t} \cdot \text{m}$$

Clase: Clase de la sección, según la capacidad de deformación y de desarrollo de la resistencia plástica de sus elementos planos, para axil y flexión simple.

$$\text{Clase} : \underline{1}$$

$N_{pl,Rd}$: Resistencia a compresión de la sección bruta.

$$N_{pl,Rd} : \underline{36.042} \text{ t}$$

$M_{pl,Rd,y}$, $M_{pl,Rd,z}$: Resistencia a flexión de la sección bruta en condiciones plásticas, respecto a los ejes Y y Z, respectivamente.

$$M_{pl,Rd,y} : \underline{1.308} \text{ t} \cdot \text{m}$$

$$M_{pl,Rd,z} : \underline{0.433} \text{ t} \cdot \text{m}$$

Resistencia a pandeo: (CTE DB SE-A, Artículo 6.3.4.2)

A: Área de la sección bruta.

$$A : \underline{13.50} \text{ cm}^2$$

$W_{pl,y}$, $W_{pl,z}$: Módulos resistentes plásticos correspondientes a la fibra comprimida, alrededor de los ejes Y y Z, respectivamente.

$$W_{pl,y} : \underline{49.00} \text{ cm}^3$$

$$W_{pl,z} : \underline{16.20} \text{ cm}^3$$

f_{yd} : Resistencia de cálculo del acero.

$$f_{yd} : \underline{2669.77} \text{ kp/cm}^2$$

$$f_{yd} = f_y / \gamma_{M1}$$

Siendo:

f_y : Límite elástico. (CTE DB SE-A, Tabla 4.1)

$$f_y : \underline{2803.26} \text{ kp/cm}^2$$

γ_{M1} : Coeficiente parcial de seguridad del material.

$$\gamma_{M1} : \underline{1.05}$$

k_y , k_z , $k_{y,LT}$: Coeficientes de interacción.



Listados

FORJADORADIOQIROFANOCUBIERTADEF20220908

Fecha: 08/09/22

$$k_y = 1 + (\bar{\lambda}_y - 0.2) \cdot \frac{N_{c,Ed}}{\chi_y \cdot N_{c,Rd}}$$

$$k_y : 1.18$$

$$k_z = 1 + (2 \cdot \bar{\lambda}_z - 0.6) \cdot \frac{N_{c,Ed}}{\chi_z \cdot N_{c,Rd}}$$

$$k_z : 1.04$$

$$k_{y,LT} = 1 - \frac{0.1 \cdot \bar{\lambda}_z}{C_{m,LT} - 0.25} \cdot \frac{N_{c,Ed}}{\chi_z \cdot N_{c,Rd}}$$

$$k_{y,LT} : 0.99$$

$C_{m,y}$, $C_{m,z}$, $C_{m,LT}$: Factores de momento flector uniforme equivalente.

$$C_{m,y} : 1.00$$

$$C_{m,z} : 1.00$$

$$C_{m,LT} : 1.00$$

c_y , c_z : Coeficientes de reducción por pandeo, alrededor de los ejes Y y Z, respectivamente.

$$c_y : 0.68$$

$$c_z : 0.90$$

c_{LT} : Coeficiente de reducción por pandeo lateral.

$$c_{LT} : 1.00$$

η_y , η_z : Esbelteces reducidas con valores no mayores que 1.00, en relación a los ejes Y y Z, respectivamente.

$$\eta_y : 0.77$$

$$\eta_z : 0.39$$

a_y , a_z : Factores dependientes de la clase de la sección.

$$a_y : 0.60$$

$$a_z : 0.60$$

Resistencia a flexión, axil y cortante combinados (CTE DB SE-A, Artículo 6.2.8)

No es necesario reducir las resistencias de cálculo a flexión y a axil, ya que se puede ignorar el efecto de abolladura por esfuerzo cortante y, además, el esfuerzo cortante solicitante de cálculo pésimo V_{Ed} es menor o igual que el 50% del esfuerzo cortante resistente de cálculo $V_{c,Rd}$.

Los esfuerzos solicitantes de cálculo pésimos se producen para la combinación de acciones 1.35·PP+1.5·V1(2)+0.75·N1.

$$V_{Ed,z} \leq \frac{V_{c,Rd,z}}{2}$$

$$0.160 \text{ t} \leq 4.803 \text{ t} \quad \checkmark$$

Donde:

$V_{Ed,z}$: Esfuerzo cortante solicitante de cálculo pésimo.

$$V_{Ed,z} : 0.160 \text{ t}$$

$V_{c,Rd,z}$: Esfuerzo cortante resistente de cálculo.

$$V_{c,Rd,z} : 9.607 \text{ t}$$

Resistencia a torsión (CTE DB SE-A, Artículo 6.2.7)

La comprobación no procede, ya que no hay momento torsor.

Resistencia a cortante Z y momento torsor combinados (CTE DB SE-A, Artículo 6.2.8)

No hay interacción entre momento torsor y esfuerzo cortante para ninguna combinación. Por lo tanto, la comprobación no procede.

Resistencia a cortante Y y momento torsor combinados (CTE DB SE-A, Artículo 6.2.8)

No hay interacción entre momento torsor y esfuerzo cortante para ninguna combinación. Por lo tanto, la comprobación no procede.



Listados

FORJADORADIOQIROFANOCUBIERTADEF20220908

Fecha: 08/09/22

$N_{cr,y}$: Axil crítico elástico de pandeo por flexión respecto al eje Y.

$N_{cr,y}$: 63.501 t

$$N_{cr,y} = \frac{\pi^2 \cdot E \cdot I_y}{L_{ky}^2}$$

$N_{cr,T}$: Axil crítico elástico de pandeo por torsión.

$N_{cr,T}$: 211.957 t

$$N_{cr,T} = \frac{1}{i_0^2} \cdot \left[G \cdot I_t + \frac{\pi^2 \cdot E \cdot I_w}{L_{kt}^2} \right]$$

I_y : Momento de inercia de la sección bruta, respecto al eje Y.

I_y : 206.00 cm⁴

I_z : Momento de inercia de la sección bruta, respecto al eje Z.

I_z : 29.30 cm⁴

I_t : Momento de inercia a torsión uniforme.

I_t : 2.81 cm⁴

I_w : Constante de alabeo de la sección.

I_w : 410.00 cm⁶

E: Módulo de elasticidad.

E : 2140673 kp/cm²

G: Módulo de elasticidad transversal.

G : 825688 kp/cm²

L_{ky} : Longitud efectiva de pandeo por flexión, respecto al eje Y.

L_{ky} : 2.618 m

L_{kz} : Longitud efectiva de pandeo por flexión, respecto al eje Z.

L_{kz} : 0.500 m

L_{kt} : Longitud efectiva de pandeo por torsión.

L_{kt} : 0.500 m

b: Constante adimensional obtenida mediante la siguiente expresión:

b : 0.64

$$\beta = 1 - \left(\frac{y_0^2 + z_0^2}{i_0^2} \right)$$

Donde:

i_0 : Radio de giro polar de la sección bruta, respecto al centro de torsión.

i_0 : 5.22 cm

$$i_0 = \left(i_y^2 + i_z^2 + y_0^2 + z_0^2 \right)^{0.5}$$

Siendo:

i_y , i_z : Radios de giro de la sección bruta, respecto a los ejes principales de inercia Y y Z.

i_y : 3.91 cm

i_z : 1.47 cm

y_0 , z_0 : Coordenadas del centro de torsión en la dirección de los ejes principales Y y Z, respectivamente, relativas al centro de gravedad de la sección.

y_0 : -31.41 mm

z_0 : 0.00 mm



Listados

FORJADORADIOQIROFANOCUBIERTADEF20220908

Fecha: 08/09/22

Abolladura del alma inducida por el ala comprimida (Criterio de CYPE, basado en: Eurocódigo 3 EN 1993-1-5: 2006, Artículo 8)

Se debe satisfacer:

$$\frac{h_w}{t_w} \leq k \frac{E}{f_{yf}} \sqrt{\frac{A_w}{A_{fc,ef}}}$$

$$13.83 \leq 247.99 \quad \checkmark$$

Donde:

h_w : Altura del alma.

t_w : Espesor del alma.

A_w : Área del alma.

$A_{fc,ef}$: Área reducida del ala comprimida.

k : Coeficiente que depende de la clase de la sección.

E : Módulo de elasticidad.

f_{yf} : Límite elástico del acero del ala comprimida.

Siendo:

$$f_{yf} = f_y$$

$$h_w : 83.00 \text{ mm}$$

$$t_w : 6.00 \text{ mm}$$

$$A_w : 4.98 \text{ cm}^2$$

$$A_{fc,ef} : 4.25 \text{ cm}^2$$

$$k : 0.30$$

$$E : 2140673 \text{ kp/cm}^2$$

$$f_{yf} : 2803.26 \text{ kp/cm}^2$$

Resistencia a tracción (CTE DB SE-A, Artículo 6.2.3)

La comprobación no procede, ya que no hay axil de tracción.

Resistencia a compresión (CTE DB SE-A, Artículo 6.2.5)

Se debe satisfacer:

$$\eta = \frac{N_{c,Ed}}{N_{c,Rd}} \leq 1$$

$$h : 0.318 \quad \checkmark$$

$$\eta = \frac{N_{c,Ed}}{N_{b,Rd}} \leq 1$$

$$h : 0.490 \quad \checkmark$$

El esfuerzo solicitante de cálculo pésimo se produce en el nudo N50, para la combinación de acciones 1.35·PP+1.5·Q1.

$N_{c,Ed}$: Axil de compresión solicitante de cálculo pésimo.

$$N_{c,Ed} : 11.453 \text{ t}$$

La resistencia de cálculo a compresión $N_{c,Rd}$ viene dada por:

$$N_{c,Rd} = A \cdot f_{yd}$$

$$N_{c,Rd} : 36.042 \text{ t}$$

Donde:

Clase: Clase de la sección, según la capacidad de deformación y de desarrollo de la resistencia plástica de los elementos planos comprimidos de una sección.

$$\text{Clase} : 1$$

A : Área de la sección bruta para las secciones de clase 1, 2 y 3.

$$A : 13.50 \text{ cm}^2$$

f_{yd} : Resistencia de cálculo del acero.

$$f_{yd} : 2669.77 \text{ kp/cm}^2$$

$$f_{yd} = f_y / \gamma_{M0}$$

Siendo:

f_y : Límite elástico. (CTE DB SE-A, Tabla 4.1)

$$f_y : 2803.26 \text{ kp/cm}^2$$

γ_{M0} : Coeficiente parcial de seguridad del material.

$$\gamma_{M0} : 1.05$$

Resistencia a pandeo: (CTE DB SE-A, Artículo 6.3.2)



Listados

FORJADORADIOQIROFANOCUBIERTADEF20220908

Fecha: 08/09/22

La resistencia de cálculo a pandeo $N_{b,Rd}$ en una barra comprimida viene dada por:

$$N_{b,Rd} = \chi \cdot A \cdot f_{yd}$$

$$N_{b,Rd} : \underline{23.396} \text{ t}$$

Donde:

A: Área de la sección bruta para las secciones de clase 1, 2 y 3.

$$A : \underline{13.50} \text{ cm}^2$$

f_{yd} : Resistencia de cálculo del acero.

$$f_{yd} : \underline{2669.77} \text{ kp/cm}^2$$

$$f_{yd} = f_y / \gamma_{M1}$$

Siendo:

f_y : Límite elástico. (CTE DB SE-A, Tabla 4.1)

$$f_y : \underline{2803.26} \text{ kp/cm}^2$$

γ_{M1} : Coeficiente parcial de seguridad del material.

$$\gamma_{M1} : \underline{1.05}$$

χ : Coeficiente de reducción por pandeo.

$$\chi = \frac{1}{\Phi + \sqrt{\Phi^2 - (\bar{\lambda})^2}} \leq 1$$

$$C_z : \underline{0.90}$$

$$C_{FT} : \underline{0.65}$$

Siendo:

$$\Phi = 0.5 \cdot \left[1 + \alpha \cdot (\bar{\lambda} - 0.2) + (\bar{\lambda})^2 \right]$$

$$f_z : \underline{0.62}$$

$$f_{FT} : \underline{0.99}$$

α : Coeficiente de imperfección elástica.

$$a_z : \underline{0.49}$$

$$a_{FT} : \underline{0.49}$$

$\bar{\lambda}$: Esbeltez reducida.

$$\bar{\lambda} = \sqrt{\frac{A \cdot f_y}{N_{cr}}}$$

$$\bar{\lambda}_z : \underline{0.39}$$

$$\bar{\lambda}_{FT} : \underline{0.82}$$

N_{cr} : Axil crítico elástico de pandeo, obtenido como el menor de los siguientes valores:

$$N_{cr} : \underline{56.179} \text{ t}$$

$N_{cr,z}$: Axil crítico elástico de pandeo por flexión respecto al eje Z.

$$N_{cr,z} : \underline{247.615} \text{ t}$$

$N_{cr,FT}$: Axil crítico elástico de pandeo por flexotorsión.

$$N_{cr,FT} : \underline{56.179} \text{ t}$$

**Resistencia a flexión eje Y (CTE DB SE-A, Artículo 6.2.6)**

Se debe satisfacer:

$$\eta = \frac{M_{Ed}}{M_{c,Rd}} \leq 1$$

$$h : \underline{0.234} \quad \checkmark$$

Para flexión positiva:

El esfuerzo solicitante de cálculo pésimo se produce en el nudo N28, para la combinación de acciones 0.8·PP+1.5·V1(2).

M_{Ed}^+ : Momento flector solicitante de cálculo pésimo.

$$M_{Ed}^+ : \underline{0.014} \text{ t·m}$$

Para flexión negativa:

El esfuerzo solicitante de cálculo pésimo se produce en el nudo N28, para la combinación de acciones 1.35·PP+1.5·Q1.

M_{Ed}^- : Momento flector solicitante de cálculo pésimo.

$$M_{Ed}^- : \underline{0.306} \text{ t·m}$$

El momento flector resistente de cálculo $M_{c,Rd}$ viene dado por:

$$M_{c,Rd} = W_{pl,y} \cdot f_{yd}$$

$$M_{c,Rd} : \underline{1.308} \text{ t·m}$$

Donde:

Clase: Clase de la sección, según la capacidad de deformación y de desarrollo de la resistencia plástica de los elementos planos de una sección a flexión simple.

$$\text{Clase} : \underline{1}$$

$W_{pl,y}$: Módulo resistente plástico correspondiente a la fibra con mayor tensión, para las secciones de clase 1 y 2.

$$W_{pl,y} : \underline{49.00} \text{ cm}^3$$

f_{yd} : Resistencia de cálculo del acero.

$$f_{yd} : \underline{2669.77} \text{ kp/cm}^2$$

$$f_{yd} = f_y / \gamma_{M0}$$

Siendo:

f_y : Límite elástico. (CTE DB SE-A, Tabla 4.1)

$$f_y : \underline{2803.26} \text{ kp/cm}^2$$

γ_{M0} : Coeficiente parcial de seguridad del material.

$$\gamma_{M0} : \underline{1.05}$$

Resistencia a pandeo lateral: (CTE DB SE-A, Artículo 6.3.3.2)

No procede, dado que las longitudes de pandeo lateral son nulas.

**Resistencia a flexión eje Z** (CTE DB SE-A, Artículo 6.2.6)

Se debe satisfacer:

$$\eta = \frac{M_{Ed}}{M_{c,Rd}} \leq 1$$

$$h < \underline{0.001} \quad \checkmark$$

Para flexión positiva:

El esfuerzo solicitante de cálculo pésimo se produce en el nudo N50, para la combinación de acciones 0.8·PP+1.5·V1(1).

M_{Ed}^+ : Momento flector solicitante de cálculo pésimo.

$$M_{Ed}^+ : \underline{0.000} \text{ t·m}$$

Para flexión negativa:

M_{Ed}^- : Momento flector solicitante de cálculo pésimo.

$$M_{Ed}^- : \underline{0.000} \text{ t·m}$$

El momento flector resistente de cálculo $M_{c,Rd}$ viene dado por:

$$M_{c,Rd} = W_{pl,z} \cdot f_{yd}$$

$$M_{c,Rd} : \underline{0.433} \text{ t·m}$$

Donde:

Clase: Clase de la sección, según la capacidad de deformación y de desarrollo de la resistencia plástica de los elementos planos de una sección a flexión simple.

$$\text{Clase} : \underline{1}$$

$W_{pl,z}$: Módulo resistente plástico correspondiente a la fibra con mayor tensión, para las secciones de clase 1 y 2.

$$W_{pl,z} : \underline{16.20} \text{ cm}^3$$

f_{yd} : Resistencia de cálculo del acero.

$$f_{yd} : \underline{2669.77} \text{ kp/cm}^2$$

$$f_{yd} = f_y / \gamma_{M0}$$

Siendo:

f_y : Límite elástico. (CTE DB SE-A, Tabla 4.1)

$$f_y : \underline{2803.26} \text{ kp/cm}^2$$

γ_{M0} : Coeficiente parcial de seguridad del material.

$$\gamma_{M0} : \underline{1.05}$$



Listados

FORJADORADIOQIROFANOCUBIERTADEF20220908

Fecha: 08/09/22

Resistencia a corte Z (CTE DB SE-A, Artículo 6.2.4)

Se debe satisfacer:

$$\eta = \frac{V_{Ed}}{V_{c,Rd}} \leq 1$$

$$h : \underline{0.013} \quad \checkmark$$

El esfuerzo solicitante de cálculo pésimo se produce para la combinación de acciones 1.35·PP+1.5·Q1.

V_{Ed} : Esfuerzo cortante solicitante de cálculo pésimo.

$$V_{Ed} : \underline{0.120} \text{ t}$$

El esfuerzo cortante resistente de cálculo $V_{c,Rd}$ viene dado por:

$$V_{c,Rd} = A_v \cdot \frac{f_{yd}}{\sqrt{3}}$$

$$V_{c,Rd} : \underline{9.607} \text{ t}$$

Donde:

A_v : Área transversal a cortante.

$$A_v : \underline{6.23} \text{ cm}^2$$

$$A_v = A - 2 \cdot b \cdot t_f + (t_w + r) \cdot t_f$$

Siendo:

A: Área bruta de la sección transversal de la barra.

$$A : \underline{13.50} \text{ cm}^2$$

b: Ancho de la sección.

$$b : \underline{50.00} \text{ mm}$$

t_f : Espesor del ala.

$$t_f : \underline{8.50} \text{ mm}$$

t_w : Espesor del alma.

$$t_w : \underline{6.00} \text{ mm}$$

r: Radio de acuerdo entre ala y alma.

$$r : \underline{8.50} \text{ mm}$$

f_{yd} : Resistencia de cálculo del acero.

$$f_{yd} : \underline{2669.77} \text{ kp/cm}^2$$

$$f_{yd} = f_y / \gamma_{M0}$$

Siendo:

f_y : Límite elástico. (CTE DB SE-A, Tabla 4.1)

$$f_y : \underline{2803.26} \text{ kp/cm}^2$$

γ_{M0} : Coeficiente parcial de seguridad del material.

$$\gamma_{M0} : \underline{1.05}$$

Abolladura por cortante del alma: (CTE DB SE-A, Artículo 6.3.3.4)

Aunque no se han dispuesto rigidizadores transversales, no es necesario comprobar la resistencia a la abolladura del alma, puesto que se cumple:

$$\frac{d}{t_w} < 70 \cdot \varepsilon$$

$$13.83 < 64.71 \quad \checkmark$$

Donde:

I_w : Esbeltez del alma.

$$I_w : \underline{13.83}$$

$$\lambda_w = \frac{d}{t_w}$$

$I_{m\acute{a}x}$: Esbeltez máxima.

$$I_{m\acute{a}x} : \underline{64.71}$$

$$\lambda_{m\acute{a}x} = 70 \cdot \varepsilon$$

e: Factor de reducción.

$$e : \underline{0.92}$$

$$\varepsilon = \sqrt{\frac{f_{ref}}{f_y}}$$

Siendo:

f_{ref} : Límite elástico de referencia.

$$f_{ref} : \underline{2395.51} \text{ kp/cm}^2$$

f_y : Límite elástico. (CTE DB SE-A, Tabla 4.1)

$$f_y : \underline{2803.26} \text{ kp/cm}^2$$



Resistencia a corte Y (CTE DB SE-A, Artículo 6.2.4)

Se debe satisfacer:

$$\eta = \frac{V_{Ed}}{V_{c,Rd}} \leq 1$$

$$h < \underline{0.001} \quad \checkmark$$

El esfuerzo solicitante de cálculo pésimo se produce para la combinación de acciones 0.8·PP+1.5·V1(1).

V_{Ed} : Esfuerzo cortante solicitante de cálculo pésimo.

$$V_{Ed} : \underline{0.001} \text{ t}$$

El esfuerzo cortante resistente de cálculo $V_{c,Rd}$ viene dado por:

$$V_{c,Rd} = A_v \cdot \frac{f_{yd}}{\sqrt{3}}$$

$$V_{c,Rd} : \underline{13.133} \text{ t}$$

Donde:

A_v : Área transversal a cortante.

$$A_v : \underline{8.52} \text{ cm}^2$$

$$A_v = A - d \cdot t_w$$

Siendo:

A: Área de la sección bruta.

$$A : \underline{13.50} \text{ cm}^2$$

d: Altura del alma.

$$d : \underline{83.00} \text{ mm}$$

t_w : Espesor del alma.

$$t_w : \underline{6.00} \text{ mm}$$

f_{yd} : Resistencia de cálculo del acero.

$$f_{yd} : \underline{2669.77} \text{ kp/cm}^2$$

$$f_{yd} = f_y / \gamma_{M0}$$

Siendo:

f_y : Límite elástico. (CTE DB SE-A, Tabla 4.1)

$$f_y : \underline{2803.26} \text{ kp/cm}^2$$

γ_{M0} : Coeficiente parcial de seguridad del material.

$$\gamma_{M0} : \underline{1.05}$$

Resistencia a momento flector Y y fuerza cortante Z combinados (CTE DB SE-A, Artículo 6.2.8)

No es necesario reducir la resistencia de cálculo a flexión, ya que el esfuerzo cortante solicitante de cálculo pésimo V_{Ed} no es superior al 50% de la resistencia de cálculo a cortante $V_{c,Rd}$.

$$V_{Ed} \leq \frac{V_{c,Rd}}{2}$$

$$0.120 \text{ t} \leq 4.803 \text{ t} \quad \checkmark$$

Los esfuerzos solicitantes de cálculo pésimos se producen para la combinación de acciones 1.35·PP+1.5·Q1.

V_{Ed} : Esfuerzo cortante solicitante de cálculo pésimo.

$$V_{Ed} : \underline{0.120} \text{ t}$$

$V_{c,Rd}$: Esfuerzo cortante resistente de cálculo.

$$V_{c,Rd} : \underline{9.607} \text{ t}$$



Listados

FORJADORADIOQIROFANOCUBIERTADEF20220908

Fecha: 08/09/22

Resistencia a momento flector Z y fuerza cortante Y combinados (CTE DB SE-A, Artículo 6.2.8)

No es necesario reducir la resistencia de cálculo a flexión, ya que el esfuerzo cortante solicitante de cálculo pésimo V_{Ed} no es superior al 50% de la resistencia de cálculo a cortante $V_{c,Rd}$.

$$V_{Ed} \leq \frac{V_{c,Rd}}{2}$$

$$0.001 \text{ t} \leq 6.566 \text{ t} \quad \checkmark$$

Los esfuerzos solicitantes de cálculo pésimos se producen en el nudo N50, para la combinación de acciones 0.8·PP+1.5·V1(1).

V_{Ed} : Esfuerzo cortante solicitante de cálculo pésimo.

$$V_{Ed} : \underline{0.001} \text{ t}$$

$V_{c,Rd}$: Esfuerzo cortante resistente de cálculo.

$$V_{c,Rd} : \underline{13.133} \text{ t}$$

Resistencia a flexión y axil combinados (CTE DB SE-A, Artículo 6.2.8)

Se debe satisfacer:

$$\eta = \frac{N_{c,Ed}}{N_{pl,Rd}} + \frac{M_{y,Ed}}{M_{pl,Rd,y}} + \frac{M_{z,Ed}}{M_{pl,Rd,z}} \leq 1$$

$$h : \underline{0.550} \quad \checkmark$$

$$\eta = \frac{N_{c,Ed}}{\chi_y \cdot A \cdot f_{yd}} + k_y \cdot \frac{C_{m,y} \cdot M_{y,Ed}}{\chi_{LT} \cdot W_{pl,y} \cdot f_{yd}} + \alpha_z \cdot k_z \cdot \frac{C_{m,z} \cdot M_{z,Ed}}{W_{pl,z} \cdot f_{yd}} \leq 1$$

$$h : \underline{0.761} \quad \checkmark$$

$$\eta = \frac{N_{c,Ed}}{\chi_z \cdot A \cdot f_{yd}} + k_{y,LT} \cdot \frac{M_{y,Ed}}{\chi_{LT} \cdot W_{pl,y} \cdot f_{yd}} + k_z \cdot \frac{C_{m,z} \cdot M_{z,Ed}}{W_{pl,z} \cdot f_{yd}} \leq 1$$

$$h : \underline{0.580} \quad \checkmark$$

Los esfuerzos solicitantes de cálculo pésimos se producen en el nudo N28, para la combinación de acciones 1.35·PP+1.5·Q1.

Donde:

$N_{c,Ed}$: Axil de compresión solicitante de cálculo pésimo.

$$N_{c,Ed} : \underline{11.399} \text{ t}$$

$M_{y,Ed}$, $M_{z,Ed}$: Momentos flectores solicitantes de cálculo pésimos, según los ejes Y y Z, respectivamente.

$$M_{y,Ed} : \underline{0.306} \text{ t·m}$$

$$M_{z,Ed} : \underline{0.000} \text{ t·m}$$

Clase: Clase de la sección, según la capacidad de deformación y de desarrollo de la resistencia plástica de sus elementos planos, para axil y flexión simple.

$$\text{Clase} : \underline{1}$$

$N_{pl,Rd}$: Resistencia a compresión de la sección bruta.

$$N_{pl,Rd} : \underline{36.042} \text{ t}$$

$M_{pl,Rd,y}$, $M_{pl,Rd,z}$: Resistencia a flexión de la sección bruta en condiciones plásticas, respecto a los ejes Y y Z, respectivamente.

$$M_{pl,Rd,y} : \underline{1.308} \text{ t·m}$$

$$M_{pl,Rd,z} : \underline{0.433} \text{ t·m}$$

Resistencia a pandeo: (CTE DB SE-A, Artículo 6.3.4.2)

A: Área de la sección bruta.

$$A : \underline{13.50} \text{ cm}^2$$

$W_{pl,y}$, $W_{pl,z}$: Módulos resistentes plásticos correspondientes a la fibra comprimida, alrededor de los ejes Y y Z, respectivamente.

$$W_{pl,y} : \underline{49.00} \text{ cm}^3$$

$$W_{pl,z} : \underline{16.20} \text{ cm}^3$$

f_{yd} : Resistencia de cálculo del acero.

$$f_{yd} : \underline{2669.77} \text{ kp/cm}^2$$

$$f_{yd} = f_y / \gamma_{M1}$$

Siendo:

f_y : Límite elástico. (CTE DB SE-A, Tabla 4.1)

$$f_y : \underline{2803.26} \text{ kp/cm}^2$$

γ_{M1} : Coeficiente parcial de seguridad del material.

$$\gamma_{M1} : \underline{1.05}$$

k_y , k_z , $k_{y,LT}$: Coeficientes de interacción.



Listados

FORJADORADIOQIROFANOCUBIERTADEF20220908

Fecha: 08/09/22

$$k_y = 1 + (\bar{\lambda}_y - 0.2) \cdot \frac{N_{c,Ed}}{\chi_y \cdot N_{c,Rd}} \quad k_y : \underline{1.27}$$

$$k_z = 1 + (2 \cdot \bar{\lambda}_z - 0.6) \cdot \frac{N_{c,Ed}}{\chi_z \cdot N_{c,Rd}} \quad k_z : \underline{1.06}$$

$$k_{y,LT} = 1 - \frac{0.1 \cdot \bar{\lambda}_z}{C_{m,LT} - 0.25} \cdot \frac{N_{c,Ed}}{\chi_z \cdot N_{c,Rd}} \quad k_{y,LT} : \underline{0.98}$$

$C_{m,y}$, $C_{m,z}$, $C_{m,LT}$: Factores de momento flector uniforme equivalente.

$$C_{m,y} : \underline{1.00}$$

$$C_{m,z} : \underline{1.00}$$

$$C_{m,LT} : \underline{1.00}$$

c_y , c_z : Coeficientes de reducción por pandeo, alrededor de los ejes Y y Z, respectivamente.

$$c_y : \underline{0.68}$$

$$c_z : \underline{0.90}$$

c_{LT} : Coeficiente de reducción por pandeo lateral.

$$c_{LT} : \underline{1.00}$$

$\bar{\lambda}_y$, $\bar{\lambda}_z$: Esbelteces reducidas con valores no mayores que 1.00, en relación a los ejes Y y Z, respectivamente.

$$\bar{\lambda}_y : \underline{0.77}$$

$$\bar{\lambda}_z : \underline{0.39}$$

a_y , a_z : Factores dependientes de la clase de la sección.

$$a_y : \underline{0.60}$$

$$a_z : \underline{0.60}$$

Resistencia a flexión, axil y cortante combinados (CTE DB SE-A, Artículo 6.2.8)

No es necesario reducir las resistencias de cálculo a flexión y a axil, ya que se puede ignorar el efecto de abolladura por esfuerzo cortante y, además, el esfuerzo cortante solicitante de cálculo pésimo V_{Ed} es menor o igual que el 50% del esfuerzo cortante resistente de cálculo $V_{c,Rd}$.

Los esfuerzos solicitantes de cálculo pésimos se producen para la combinación de acciones 1.35·PP+1.5·Q1.

$$V_{Ed,z} \leq \frac{V_{c,Rd,z}}{2} \quad 0.120 \text{ t} \leq 4.803 \text{ t} \quad \checkmark$$

Donde:

$V_{Ed,z}$: Esfuerzo cortante solicitante de cálculo pésimo.

$$V_{Ed,z} : \underline{0.120} \text{ t}$$

$V_{c,Rd,z}$: Esfuerzo cortante resistente de cálculo.

$$V_{c,Rd,z} : \underline{9.607} \text{ t}$$

Resistencia a torsión (CTE DB SE-A, Artículo 6.2.7)

La comprobación no procede, ya que no hay momento torsor.

Resistencia a cortante Z y momento torsor combinados (CTE DB SE-A, Artículo 6.2.8)

No hay interacción entre momento torsor y esfuerzo cortante para ninguna combinación. Por lo tanto, la comprobación no procede.

Resistencia a cortante Y y momento torsor combinados (CTE DB SE-A, Artículo 6.2.8)

No hay interacción entre momento torsor y esfuerzo cortante para ninguna combinación. Por lo tanto, la comprobación no procede.

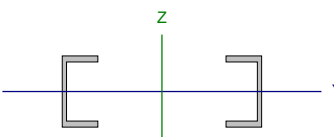


Listados

FORJADORADIOQIROFANOCUBIERTADEF20220908

Fecha: 08/09/22

Barra N51/N29

Perfil: UPN 100, Doble en cajón con presillas (Separación entre los perfiles: 180.0 / 180.0 mm)							
Material: Acero (S275)							
	Nudos		Longitud (m)	Características mecánicas			
	Inicial	Final		Área (cm²)	I _y ⁽¹⁾ (cm4)	I _z ⁽¹⁾ (cm4)	I _t ⁽²⁾ (cm4)
	N51	N29	3.740	27.00	412.00	4243.67	5.62
	Notas:						
	⁽¹⁾ Inercia respecto al eje indicado						
	⁽²⁾ Momento de inercia a torsión uniforme						
		Pandeo		Pandeo lateral			
		Plano XY	Plano XZ	Ala sup.	Ala inf.		
	β	0.70	0.70	0.00	0.00		
	L _K	2.618	2.618	0.000	0.000		
C _m	1.000	1.000	1.000	1.000			
C ₁	-		1.000				
Notación:							
b: Coeficiente de pandeo							
L _K : Longitud de pandeo (m)							
C _m : Coeficiente de momentos							
C ₁ : Factor de modificación para el momento crítico							

Nota: El análisis de piezas compuestas se realiza mediante la verificación de cada uno de los perfiles simples que las constituyen. Las comprobaciones de dichos perfiles se realizan para los esfuerzos calculados a partir de los que actúan sobre la pieza compuesta, según sus características mecánicas. Para las comprobaciones de estabilidad se utiliza la esbeltez mecánica ideal, obtenida en función de la esbeltez de la pieza y una esbeltez complementaria que tiene en cuenta la separación de los enlaces entre los perfiles simples.

Limitación de esbeltez (CTE DB SE-A, Artículos 6.3.1 y 6.3.2.1 - Tabla 6.3)

La esbeltez reducida $\bar{\lambda}$ de las barras comprimidas debe ser inferior al valor 2.0.

$$\bar{\lambda} = \sqrt{\frac{A \cdot f_y}{N_{cr}}}$$

$$\bar{\lambda} : \underline{0.82} \quad \checkmark$$

Donde:

Clase: Clase de la sección, según la capacidad de deformación y de desarrollo de la resistencia plástica de los elementos planos comprimidos de una sección.

$$\text{Clase} : \underline{1}$$

A: Área de la sección bruta para las secciones de clase 1, 2 y 3.

$$A : \underline{13.50} \text{ cm}^2$$

f_y: Límite elástico. (CTE DB SE-A, Tabla 4.1)

$$f_y : \underline{2803.26} \text{ kp/cm}^2$$

N_{cr}: Axil crítico de pandeo elástico.

$$N_{cr} : \underline{56.179} \text{ t}$$

El axil crítico de pandeo elástico N_{cr} es el menor de los valores obtenidos en a) y b):

a) Axil crítico elástico de pandeo por flexión respecto al eje Z.

$$N_{cr,z} : \underline{247.615} \text{ t}$$

$$N_{cr,z} = \frac{\pi^2 \cdot E \cdot I_z}{L_{Kz}^2}$$

b) Axil crítico elástico de pandeo por flexotorsión.

$$N_{cr,FT} : \underline{56.179} \text{ t}$$

$$N_{cr,FT} = \frac{1}{2 \cdot \beta} \cdot \left[(N_{cr,y} + N_{cr,T}) - \sqrt{(N_{cr,y} + N_{cr,T})^2 - 4 \cdot \beta \cdot N_{cr,y} \cdot N_{cr,T}} \right]$$

Donde:



Listados

FORJADORADIOQIROFANOCUBIERTADEF20220908

Fecha: 08/09/22

$N_{cr,y}$: Axil crítico elástico de pandeo por flexión respecto al eje Y.

$N_{cr,y}$: 63.501 t

$$N_{cr,y} = \frac{\pi^2 \cdot E \cdot I_y}{L_{ky}^2}$$

$N_{cr,T}$: Axil crítico elástico de pandeo por torsión.

$N_{cr,T}$: 211.957 t

$$N_{cr,T} = \frac{1}{i_0^2} \cdot \left[G \cdot I_t + \frac{\pi^2 \cdot E \cdot I_w}{L_{kt}^2} \right]$$

I_y : Momento de inercia de la sección bruta, respecto al eje Y.

I_y : 206.00 cm⁴

I_z : Momento de inercia de la sección bruta, respecto al eje Z.

I_z : 29.30 cm⁴

I_t : Momento de inercia a torsión uniforme.

I_t : 2.81 cm⁴

I_w : Constante de alabeo de la sección.

I_w : 410.00 cm⁶

E: Módulo de elasticidad.

E : 2140673 kp/cm²

G: Módulo de elasticidad transversal.

G : 825688 kp/cm²

L_{ky} : Longitud efectiva de pandeo por flexión, respecto al eje Y.

L_{ky} : 2.618 m

L_{kz} : Longitud efectiva de pandeo por flexión, respecto al eje Z.

L_{kz} : 0.500 m

L_{kt} : Longitud efectiva de pandeo por torsión.

L_{kt} : 0.500 m

b: Constante adimensional obtenida mediante la siguiente expresión:

b : 0.64

$$\beta = 1 - \left(\frac{y_0^2 + z_0^2}{i_0^2} \right)$$

Donde:

i_0 : Radio de giro polar de la sección bruta, respecto al centro de torsión.

i_0 : 5.22 cm

$$i_0 = \left(i_y^2 + i_z^2 + y_0^2 + z_0^2 \right)^{0.5}$$

Siendo:

i_y , i_z : Radios de giro de la sección bruta, respecto a los ejes principales de inercia Y y Z.

i_y : 3.91 cm

i_z : 1.47 cm

y_0 , z_0 : Coordenadas del centro de torsión en la dirección de los ejes principales Y y Z, respectivamente, relativas al centro de gravedad de la sección.

y_0 : -31.41 mm

z_0 : 0.00 mm



Listados

FORJADORADIOQIROFANOCUBIERTADEF20220908

Fecha: 08/09/22

Abolladura del alma inducida por el ala comprimida (Criterio de CYPE, basado en: Eurocódigo 3 EN 1993-1-5: 2006, Artículo 8)

Se debe satisfacer:

$$\frac{h_w}{t_w} \leq k \frac{E}{f_{yf}} \sqrt{\frac{A_w}{A_{fc,ef}}}$$

13.83 ≤ 247.99 ✓

Donde:

h_w : Altura del alma.

t_w : Espesor del alma.

A_w : Área del alma.

$A_{fc,ef}$: Área reducida del ala comprimida.

k : Coeficiente que depende de la clase de la sección.

E : Módulo de elasticidad.

f_{yf} : Límite elástico del acero del ala comprimida.

Siendo:

$$f_{yf} = f_y$$

h_w : 83.00 mm

t_w : 6.00 mm

A_w : 4.98 cm²

$A_{fc,ef}$: 4.25 cm²

k : 0.30

E : 2140673 kp/cm²

f_{yf} : 2803.26 kp/cm²

Resistencia a tracción (CTE DB SE-A, Artículo 6.2.3)

La comprobación no procede, ya que no hay axil de tracción.

Resistencia a compresión (CTE DB SE-A, Artículo 6.2.5)

Se debe satisfacer:

$$\eta = \frac{N_{c,Ed}}{N_{c,Rd}} \leq 1$$

η : 0.238 ✓

$$\eta = \frac{N_{c,Ed}}{N_{b,Rd}} \leq 1$$

η : 0.366 ✓

El esfuerzo solicitante de cálculo pésimo se produce en el nudo N51, para la combinación de acciones 1.35·PP+1.5·Q1.

$N_{c,Ed}$: Axil de compresión solicitante de cálculo pésimo.

$N_{c,Ed}$: 8.565 t

La resistencia de cálculo a compresión $N_{c,Rd}$ viene dada por:

$$N_{c,Rd} = A \cdot f_{yd}$$

$N_{c,Rd}$: 36.042 t

Donde:

Clase: Clase de la sección, según la capacidad de deformación y de desarrollo de la resistencia plástica de los elementos planos comprimidos de una sección.

Clase : 1

A : Área de la sección bruta para las secciones de clase 1, 2 y 3.

A : 13.50 cm²

f_{yd} : Resistencia de cálculo del acero.

f_{yd} : 2669.77 kp/cm²

$$f_{yd} = f_y / \gamma_{M0}$$

Siendo:

f_y : Límite elástico. (CTE DB SE-A, Tabla 4.1)

f_y : 2803.26 kp/cm²

γ_{M0} : Coeficiente parcial de seguridad del material.

γ_{M0} : 1.05

Resistencia a pandeo: (CTE DB SE-A, Artículo 6.3.2)



Listados

FORJADORADIOQIROFANOCUBIERTADEF20220908

Fecha: 08/09/22

La resistencia de cálculo a pandeo $N_{b,Rd}$ en una barra comprimida viene dada por:

$$N_{b,Rd} = \chi \cdot A \cdot f_{yd}$$

$$N_{b,Rd} : \underline{23.396} \text{ t}$$

Donde:

A: Área de la sección bruta para las secciones de clase 1, 2 y 3.

$$A : \underline{13.50} \text{ cm}^2$$

f_{yd} : Resistencia de cálculo del acero.

$$f_{yd} : \underline{2669.77} \text{ kp/cm}^2$$

$$f_{yd} = f_y / \gamma_{M1}$$

Siendo:

f_y : Límite elástico. (CTE DB SE-A, Tabla 4.1)

$$f_y : \underline{2803.26} \text{ kp/cm}^2$$

γ_{M1} : Coeficiente parcial de seguridad del material.

$$\gamma_{M1} : \underline{1.05}$$

χ : Coeficiente de reducción por pandeo.

$$\chi = \frac{1}{\Phi + \sqrt{\Phi^2 - (\bar{\lambda})^2}} \leq 1$$

$$C_z : \underline{0.90}$$

$$C_{FT} : \underline{0.65}$$

Siendo:

$$\Phi = 0.5 \cdot \left[1 + \alpha \cdot (\bar{\lambda} - 0.2) + (\bar{\lambda})^2 \right]$$

$$f_z : \underline{0.62}$$

$$f_{FT} : \underline{0.99}$$

α : Coeficiente de imperfección elástica.

$$a_z : \underline{0.49}$$

$$a_{FT} : \underline{0.49}$$

$\bar{\lambda}$: Esbeltez reducida.

$$\bar{\lambda} = \sqrt{\frac{A \cdot f_y}{N_{cr}}}$$

$$\bar{\lambda}_z : \underline{0.39}$$

$$\bar{\lambda}_{FT} : \underline{0.82}$$

N_{cr} : Axil crítico elástico de pandeo, obtenido como el menor de los siguientes valores:

$$N_{cr} : \underline{56.179} \text{ t}$$

$N_{cr,z}$: Axil crítico elástico de pandeo por flexión respecto al eje Z.

$$N_{cr,z} : \underline{247.615} \text{ t}$$

$N_{cr,FT}$: Axil crítico elástico de pandeo por flexotorsión.

$$N_{cr,FT} : \underline{56.179} \text{ t}$$



Listados

FORJADORADIOQIROFANOCUBIERTADEF20220908

Fecha: 08/09/22

Resistencia a flexión eje Y (CTE DB SE-A, Artículo 6.2.6)

Se debe satisfacer:

$$\eta = \frac{M_{Ed}}{M_{c,Rd}} \leq 1$$

$$h : \underline{0.258} \quad \checkmark$$

Para flexión positiva:

El esfuerzo solicitante de cálculo pésimo se produce en el nudo N29, para la combinación de acciones 1.35·PP+1.5·V1(2)+0.75·N1.

M_{Ed}^+ : Momento flector solicitante de cálculo pésimo.

$$M_{Ed}^+ : \underline{0.338} \text{ t·m}$$

Para flexión negativa:

M_{Ed}^- : Momento flector solicitante de cálculo pésimo.

$$M_{Ed}^- : \underline{0.000} \text{ t·m}$$

El momento flector resistente de cálculo $M_{c,Rd}$ viene dado por:

$$M_{c,Rd} = W_{pl,y} \cdot f_{yd}$$

$$M_{c,Rd} : \underline{1.308} \text{ t·m}$$

Donde:

Clase: Clase de la sección, según la capacidad de deformación y de desarrollo de la resistencia plástica de los elementos planos de una sección a flexión simple.

$$\text{Clase} : \underline{1}$$

$W_{pl,y}$: Módulo resistente plástico correspondiente a la fibra con mayor tensión, para las secciones de clase 1 y 2.

$$W_{pl,y} : \underline{49.00} \text{ cm}^3$$

f_{yd} : Resistencia de cálculo del acero.

$$f_{yd} : \underline{2669.77} \text{ kp/cm}^2$$

$$f_{yd} = f_y / \gamma_{M0}$$

Siendo:

f_y : Límite elástico. (CTE DB SE-A, Tabla 4.1)

$$f_y : \underline{2803.26} \text{ kp/cm}^2$$

γ_{M0} : Coeficiente parcial de seguridad del material.

$$\gamma_{M0} : \underline{1.05}$$

Resistencia a pandeo lateral: (CTE DB SE-A, Artículo 6.3.3.2)

No procede, dado que las longitudes de pandeo lateral son nulas.



Listados

FORJADORADIOQUIROFANOCUBIERTADEF20220908

Fecha: 08/09/22

Resistencia a flexión eje Z (CTE DB SE-A, Artículo 6.2.6)

Se debe satisfacer:

$$\eta = \frac{M_{Ed}}{M_{c,Rd}} \leq 1$$

$$h < \underline{0.001} \quad \checkmark$$

Para flexión positiva:

El esfuerzo solicitante de cálculo pésimo se produce en el nudo N51, para la combinación de acciones 1.35·PP.

M_{Ed}^+ : Momento flector solicitante de cálculo pésimo.

$$M_{Ed}^+ : \underline{0.000} \text{ t·m}$$

Para flexión negativa:

El esfuerzo solicitante de cálculo pésimo se produce en el nudo N51, para la combinación de acciones 0.8·PP+1.5·V1(1).

M_{Ed}^- : Momento flector solicitante de cálculo pésimo.

$$M_{Ed}^- : \underline{0.000} \text{ t·m}$$

El momento flector resistente de cálculo $M_{c,Rd}$ viene dado por:

$$M_{c,Rd} = W_{pl,z} \cdot f_{yd}$$

$$M_{c,Rd} : \underline{0.433} \text{ t·m}$$

Donde:

Clase: Clase de la sección, según la capacidad de deformación y de desarrollo de la resistencia plástica de los elementos planos de una sección a flexión simple.

$$\text{Clase} : \underline{1}$$

$W_{pl,z}$: Módulo resistente plástico correspondiente a la fibra con mayor tensión, para las secciones de clase 1 y 2.

$$W_{pl,z} : \underline{16.20} \text{ cm}^3$$

f_{yd} : Resistencia de cálculo del acero.

$$f_{yd} : \underline{2669.77} \text{ kp/cm}^2$$

$$f_{yd} = f_y / \gamma_{M0}$$

Siendo:

f_y : Límite elástico. (CTE DB SE-A, Tabla 4.1)

$$f_y : \underline{2803.26} \text{ kp/cm}^2$$

γ_{M0} : Coeficiente parcial de seguridad del material.

$$\gamma_{M0} : \underline{1.05}$$



Listados

FORJADORADIOQIROFANOCUBIERTADEF20220908

Fecha: 08/09/22

Resistencia a corte Z (CTE DB SE-A, Artículo 6.2.4)

Se debe satisfacer:

$$\eta = \frac{V_{Ed}}{V_{c,Rd}} \leq 1$$

$$h : \underline{0.017} \quad \checkmark$$

El esfuerzo solicitante de cálculo pésimo se produce para la combinación de acciones 1.35·PP+1.5·V1(2)+0.75·N1.

V_{Ed} : Esfuerzo cortante solicitante de cálculo pésimo.

$$V_{Ed} : \underline{0.160} \text{ t}$$

El esfuerzo cortante resistente de cálculo $V_{c,Rd}$ viene dado por:

$$V_{c,Rd} = A_v \cdot \frac{f_{yd}}{\sqrt{3}}$$

$$V_{c,Rd} : \underline{9.607} \text{ t}$$

Donde:

A_v : Área transversal a cortante.

$$A_v : \underline{6.23} \text{ cm}^2$$

$$A_v = A - 2 \cdot b \cdot t_f + (t_w + r) \cdot t_f$$

Siendo:

A: Área bruta de la sección transversal de la barra.

$$A : \underline{13.50} \text{ cm}^2$$

b: Ancho de la sección.

$$b : \underline{50.00} \text{ mm}$$

t_f : Espesor del ala.

$$t_f : \underline{8.50} \text{ mm}$$

t_w : Espesor del alma.

$$t_w : \underline{6.00} \text{ mm}$$

r: Radio de acuerdo entre ala y alma.

$$r : \underline{8.50} \text{ mm}$$

f_{yd} : Resistencia de cálculo del acero.

$$f_{yd} : \underline{2669.77} \text{ kp/cm}^2$$

$$f_{yd} = f_y / \gamma_{M0}$$

Siendo:

f_y : Límite elástico. (CTE DB SE-A, Tabla 4.1)

$$f_y : \underline{2803.26} \text{ kp/cm}^2$$

γ_{M0} : Coeficiente parcial de seguridad del material.

$$\gamma_{M0} : \underline{1.05}$$

Abolladura por cortante del alma: (CTE DB SE-A, Artículo 6.3.3.4)

Aunque no se han dispuesto rigidizadores transversales, no es necesario comprobar la resistencia a la abolladura del alma, puesto que se cumple:

$$\frac{d}{t_w} < 70 \cdot \varepsilon$$

$$13.83 < 64.71 \quad \checkmark$$

Donde:

I_w : Esbeltez del alma.

$$I_w : \underline{13.83}$$

$$\lambda_w = \frac{d}{t_w}$$

$I_{m\acute{a}x}$: Esbeltez máxima.

$$I_{m\acute{a}x} : \underline{64.71}$$

$$\lambda_{m\acute{a}x} = 70 \cdot \varepsilon$$

e: Factor de reducción.

$$e : \underline{0.92}$$

$$\varepsilon = \sqrt{\frac{f_{ref}}{f_y}}$$

Siendo:

f_{ref} : Límite elástico de referencia.

$$f_{ref} : \underline{2395.51} \text{ kp/cm}^2$$

f_y : Límite elástico. (CTE DB SE-A, Tabla 4.1)

$$f_y : \underline{2803.26} \text{ kp/cm}^2$$



Resistencia a corte Y (CTE DB SE-A, Artículo 6.2.4)

Se debe satisfacer:

$$\eta = \frac{V_{Ed}}{V_{c,Rd}} \leq 1$$

$$h < \underline{0.001} \quad \checkmark$$

El esfuerzo solicitante de cálculo pésimo se produce para la combinación de acciones 0.8·PP+1.5·V1(1).

V_{Ed} : Esfuerzo cortante solicitante de cálculo pésimo.

$$V_{Ed} : \underline{0.002} \text{ t}$$

El esfuerzo cortante resistente de cálculo $V_{c,Rd}$ viene dado por:

$$V_{c,Rd} = A_v \cdot \frac{f_{yd}}{\sqrt{3}}$$

$$V_{c,Rd} : \underline{13.133} \text{ t}$$

Donde:

A_v : Área transversal a cortante.

$$A_v : \underline{8.52} \text{ cm}^2$$

$$A_v = A - d \cdot t_w$$

Siendo:

A: Área de la sección bruta.

$$A : \underline{13.50} \text{ cm}^2$$

d: Altura del alma.

$$d : \underline{83.00} \text{ mm}$$

t_w : Espesor del alma.

$$t_w : \underline{6.00} \text{ mm}$$

f_{yd} : Resistencia de cálculo del acero.

$$f_{yd} : \underline{2669.77} \text{ kp/cm}^2$$

$$f_{yd} = f_y / \gamma_{M0}$$

Siendo:

f_y : Límite elástico. (CTE DB SE-A, Tabla 4.1)

$$f_y : \underline{2803.26} \text{ kp/cm}^2$$

γ_{M0} : Coeficiente parcial de seguridad del material.

$$\gamma_{M0} : \underline{1.05}$$

Resistencia a momento flector Y y fuerza cortante Z combinados (CTE DB SE-A, Artículo 6.2.8)

No es necesario reducir la resistencia de cálculo a flexión, ya que el esfuerzo cortante solicitante de cálculo pésimo V_{Ed} no es superior al 50% de la resistencia de cálculo a cortante $V_{c,Rd}$.

$$V_{Ed} \leq \frac{V_{c,Rd}}{2}$$

$$0.160 \text{ t} \leq 4.803 \text{ t} \quad \checkmark$$

Los esfuerzos solicitantes de cálculo pésimos se producen para la combinación de acciones 1.35·PP+1.5·V1(2)+0.75·N1.

V_{Ed} : Esfuerzo cortante solicitante de cálculo pésimo.

$$V_{Ed} : \underline{0.160} \text{ t}$$

$V_{c,Rd}$: Esfuerzo cortante resistente de cálculo.

$$V_{c,Rd} : \underline{9.607} \text{ t}$$



Listados

FORJADORADIOQIROFANOCUBIERTADEF20220908

Fecha: 08/09/22

Resistencia a momento flector Z y fuerza cortante Y combinados (CTE DB SE-A, Artículo 6.2.8)

No es necesario reducir la resistencia de cálculo a flexión, ya que el esfuerzo cortante solicitante de cálculo pésimo V_{Ed} no es superior al 50% de la resistencia de cálculo a cortante $V_{c,Rd}$.

$$V_{Ed} \leq \frac{V_{c,Rd}}{2}$$

$$0.002 \text{ t} \leq 6.566 \text{ t} \quad \checkmark$$

Los esfuerzos solicitantes de cálculo pésimos se producen en el nudo N51, para la combinación de acciones 0.8·PP+1.5·V1(1).

V_{Ed} : Esfuerzo cortante solicitante de cálculo pésimo.

$$V_{Ed} : \underline{0.002} \text{ t}$$

$V_{c,Rd}$: Esfuerzo cortante resistente de cálculo.

$$V_{c,Rd} : \underline{13.133} \text{ t}$$

Resistencia a flexión y axil combinados (CTE DB SE-A, Artículo 6.2.8)

Se debe satisfacer:

$$\eta = \frac{N_{c,Ed}}{N_{pl,Rd}} + \frac{M_{y,Ed}}{M_{pl,Rd,y}} + \frac{M_{z,Ed}}{M_{pl,Rd,z}} \leq 1$$

$$h : \underline{0.472} \quad \checkmark$$

$$\eta = \frac{N_{c,Ed}}{\chi_y \cdot A \cdot f_{yd}} + k_y \cdot \frac{C_{m,y} \cdot M_{y,Ed}}{\chi_{LT} \cdot W_{pl,y} \cdot f_{yd}} + \alpha_z \cdot k_z \cdot \frac{C_{m,z} \cdot M_{z,Ed}}{W_{pl,z} \cdot f_{yd}} \leq 1$$

$$h : \underline{0.619} \quad \checkmark$$

$$\eta = \frac{N_{c,Ed}}{\chi_z \cdot A \cdot f_{yd}} + k_{y,LT} \cdot \frac{M_{y,Ed}}{\chi_{LT} \cdot W_{pl,y} \cdot f_{yd}} + k_z \cdot \frac{C_{m,z} \cdot M_{z,Ed}}{W_{pl,z} \cdot f_{yd}} \leq 1$$

$$h : \underline{0.492} \quad \checkmark$$

Los esfuerzos solicitantes de cálculo pésimos se producen en el nudo N29, para la combinación de acciones 1.35·PP+1.5·V1(2)+0.75·N1.

Donde:

$N_{c,Ed}$: Axil de compresión solicitante de cálculo pésimo.

$$N_{c,Ed} : \underline{7.689} \text{ t}$$

$M_{y,Ed}$, $M_{z,Ed}$: Momentos flectores solicitantes de cálculo pésimos, según los ejes Y y Z, respectivamente.

$$M_{y,Ed}^+ : \underline{0.338} \text{ t} \cdot \text{m}$$

$$M_{z,Ed}^+ : \underline{0.000} \text{ t} \cdot \text{m}$$

Clase: Clase de la sección, según la capacidad de deformación y de desarrollo de la resistencia plástica de sus elementos planos, para axil y flexión simple.

$$\text{Clase} : \underline{1}$$

$N_{pl,Rd}$: Resistencia a compresión de la sección bruta.

$$N_{pl,Rd} : \underline{36.042} \text{ t}$$

$M_{pl,Rd,y}$, $M_{pl,Rd,z}$: Resistencia a flexión de la sección bruta en condiciones plásticas, respecto a los ejes Y y Z, respectivamente.

$$M_{pl,Rd,y} : \underline{1.308} \text{ t} \cdot \text{m}$$

$$M_{pl,Rd,z} : \underline{0.433} \text{ t} \cdot \text{m}$$

Resistencia a pandeo: (CTE DB SE-A, Artículo 6.3.4.2)

A: Área de la sección bruta.

$$A : \underline{13.50} \text{ cm}^2$$

$W_{pl,y}$, $W_{pl,z}$: Módulos resistentes plásticos correspondientes a la fibra comprimida, alrededor de los ejes Y y Z, respectivamente.

$$W_{pl,y} : \underline{49.00} \text{ cm}^3$$

$$W_{pl,z} : \underline{16.20} \text{ cm}^3$$

f_{yd} : Resistencia de cálculo del acero.

$$f_{yd} : \underline{2669.77} \text{ kp/cm}^2$$

$$f_{yd} = f_y / \gamma_{M1}$$

Siendo:

f_y : Límite elástico. (CTE DB SE-A, Tabla 4.1)

$$f_y : \underline{2803.26} \text{ kp/cm}^2$$

γ_{M1} : Coeficiente parcial de seguridad del material.

$$\gamma_{M1} : \underline{1.05}$$

k_y , k_z , $k_{y,LT}$: Coeficientes de interacción.



Listados

FORJADORADIOQIROFANOCUBIERTADEF20220908

Fecha: 08/09/22

$$k_y = 1 + (\bar{\lambda}_y - 0.2) \cdot \frac{N_{c,Ed}}{\chi_y \cdot N_{c,Rd}} \quad k_y : \underline{1.18}$$

$$k_z = 1 + (2 \cdot \bar{\lambda}_z - 0.6) \cdot \frac{N_{c,Ed}}{\chi_z \cdot N_{c,Rd}} \quad k_z : \underline{1.04}$$

$$k_{y,LT} = 1 - \frac{0.1 \cdot \bar{\lambda}_z}{C_{m,LT} - 0.25} \cdot \frac{N_{c,Ed}}{\chi_z \cdot N_{c,Rd}} \quad k_{y,LT} : \underline{0.99}$$

$C_{m,y}$, $C_{m,z}$, $C_{m,LT}$: Factores de momento flector uniforme equivalente.

$$C_{m,y} : \underline{1.00}$$

$$C_{m,z} : \underline{1.00}$$

$$C_{m,LT} : \underline{1.00}$$

c_y , c_z : Coeficientes de reducción por pandeo, alrededor de los ejes Y y Z, respectivamente.

$$c_y : \underline{0.68}$$

$$c_z : \underline{0.90}$$

c_{LT} : Coeficiente de reducción por pandeo lateral.

$$c_{LT} : \underline{1.00}$$

η_y , η_z : Esbelteces reducidas con valores no mayores que 1.00, en relación a los ejes Y y Z, respectivamente.

$$\eta_y : \underline{0.77}$$

$$\eta_z : \underline{0.39}$$

a_y , a_z : Factores dependientes de la clase de la sección.

$$a_y : \underline{0.60}$$

$$a_z : \underline{0.60}$$

Resistencia a flexión, axil y cortante combinados (CTE DB SE-A, Artículo 6.2.8)

No es necesario reducir las resistencias de cálculo a flexión y a axil, ya que se puede ignorar el efecto de abolladura por esfuerzo cortante y, además, el esfuerzo cortante solicitante de cálculo pésimo V_{Ed} es menor o igual que el 50% del esfuerzo cortante resistente de cálculo $V_{c,Rd}$.

Los esfuerzos solicitantes de cálculo pésimos se producen para la combinación de acciones $1.35 \cdot PP + 1.5 \cdot V1(2) + 0.75 \cdot N1$.

$$V_{Ed,z} \leq \frac{V_{c,Rd,z}}{2} \quad 0.160 \text{ t} \leq 4.803 \text{ t} \quad \checkmark$$

Donde:

$V_{Ed,z}$: Esfuerzo cortante solicitante de cálculo pésimo.

$$V_{Ed,z} : \underline{0.160} \text{ t}$$

$V_{c,Rd,z}$: Esfuerzo cortante resistente de cálculo.

$$V_{c,Rd,z} : \underline{9.607} \text{ t}$$

Resistencia a torsión (CTE DB SE-A, Artículo 6.2.7)

La comprobación no procede, ya que no hay momento torsor.

Resistencia a cortante Z y momento torsor combinados (CTE DB SE-A, Artículo 6.2.8)

No hay interacción entre momento torsor y esfuerzo cortante para ninguna combinación. Por lo tanto, la comprobación no procede.

Resistencia a cortante Y y momento torsor combinados (CTE DB SE-A, Artículo 6.2.8)

No hay interacción entre momento torsor y esfuerzo cortante para ninguna combinación. Por lo tanto, la comprobación no procede.



Listados

FORJADORADIOQIROFANOCUBIERTADEF20220908

Fecha: 08/09/22

3.1.5. Comprobaciones E.L.U. (Resumido)

Barras	COMPROBACIONES (CTE DB SE-A)													Estado
	$\bar{\lambda}$	$\lambda_{w, \max}$	N_t	N_c	M_y	M_z	V_z	V_y	$M_y V_z$	$M_z V_y$	$N M_y M_z$	$N M_y M_z V_y V_z$	M_t	
N42/N18	$\bar{\lambda} < 2.0$ Cumple	$\lambda_w \leq \lambda_{w, \max}$ Cumple	$N_{Ed} = 0.00$ N.P. ⁽¹⁾	x: 0 m $\eta = 49.5$	x: 3.74 m $\eta = 23.4$	x: 0 m $\eta < 0.1$	$\eta = 1.3$	$\eta < 0.1$	$\eta < 0.1$	x: 0 m $\eta < 0.1$	x: 3.74 m $\eta = 76.8$	$\eta < 0.1$	$M_{Ed} = 0.00$ N.P. ⁽²⁾	CUMPLE h = 76.8
N43/N19	$\bar{\lambda} < 2.0$ Cumple	$\lambda_w \leq \lambda_{w, \max}$ Cumple	$N_{Ed} = 0.00$ N.P. ⁽¹⁾	x: 0 m $\eta = 36.3$	x: 3.74 m $\eta = 25.0$	x: 0 m $\eta < 0.1$	$\eta = 1.6$	$\eta < 0.1$	$\eta < 0.1$	x: 0 m $\eta < 0.1$	x: 3.74 m $\eta = 60.5$	$\eta < 0.1$	$M_{Ed} = 0.00$ N.P. ⁽²⁾	CUMPLE h = 60.5
N46/N23	$\bar{\lambda} < 2.0$ Cumple	$\lambda_w \leq \lambda_{w, \max}$ Cumple	$N_{Ed} = 0.00$ N.P. ⁽¹⁾	x: 0 m $\eta = 51.0$	x: 3.74 m $\eta = 23.4$	x: 0 m $\eta < 0.1$	$\eta = 1.3$	$\eta < 0.1$	$\eta < 0.1$	x: 0 m $\eta < 0.1$	x: 3.74 m $\eta = 78.3$	$\eta < 0.1$	$M_{Ed} = 0.00$ N.P. ⁽²⁾	CUMPLE h = 78.3
N47/N24	$\bar{\lambda} < 2.0$ Cumple	$\lambda_w \leq \lambda_{w, \max}$ Cumple	$N_{Ed} = 0.00$ N.P. ⁽¹⁾	x: 0 m $\eta = 37.2$	x: 3.74 m $\eta = 25.8$	x: 0 m $\eta < 0.1$	$\eta = 1.7$	$\eta < 0.1$	$\eta < 0.1$	x: 0 m $\eta < 0.1$	x: 3.74 m $\eta = 62.5$	$\eta < 0.1$	$M_{Ed} = 0.00$ N.P. ⁽²⁾	CUMPLE h = 62.5
N50/N28	$\bar{\lambda} < 2.0$ Cumple	$\lambda_w \leq \lambda_{w, \max}$ Cumple	$N_{Ed} = 0.00$ N.P. ⁽¹⁾	x: 0 m $\eta = 49.0$	x: 3.74 m $\eta = 23.4$	x: 0 m $\eta < 0.1$	$\eta = 1.3$	$\eta < 0.1$	$\eta < 0.1$	x: 0 m $\eta < 0.1$	x: 3.74 m $\eta = 76.1$	$\eta < 0.1$	$M_{Ed} = 0.00$ N.P. ⁽²⁾	CUMPLE h = 76.1
N51/N29	$\bar{\lambda} < 2.0$ Cumple	$\lambda_w \leq \lambda_{w, \max}$ Cumple	$N_{Ed} = 0.00$ N.P. ⁽¹⁾	x: 0 m $\eta = 36.6$	x: 3.74 m $\eta = 25.8$	x: 0 m $\eta < 0.1$	$\eta = 1.7$	$\eta < 0.1$	$\eta < 0.1$	x: 0 m $\eta < 0.1$	x: 3.74 m $\eta = 61.9$	$\eta < 0.1$	$M_{Ed} = 0.00$ N.P. ⁽²⁾	CUMPLE h = 61.9
<p>Notación:</p> <p>$\bar{\lambda}$: Limitación de esbeltez</p> <p>I_w: Abolladura del alma inducida por el ala comprimida</p> <p>N_t: Resistencia a tracción</p> <p>N_c: Resistencia a compresión</p> <p>M_y: Resistencia a flexión eje Y</p> <p>M_z: Resistencia a flexión eje Z</p> <p>V_z: Resistencia a corte Z</p> <p>V_y: Resistencia a corte Y</p> <p>$M_y V_z$: Resistencia a momento flector Y y fuerza cortante Z combinados</p> <p>$M_z V_y$: Resistencia a momento flector Z y fuerza cortante Y combinados</p> <p>$N M_y M_z$: Resistencia a flexión y axil combinados</p> <p>$N M_y M_z V_y V_z$: Resistencia a flexión, axil y cortante combinados</p> <p>M_t: Resistencia a torsión</p> <p>$M_y V_z$: Resistencia a cortante Z y momento torsor combinados</p> <p>$M_z V_y$: Resistencia a cortante Y y momento torsor combinados</p> <p>x: Distancia al origen de la barra</p> <p>h: Coeficiente de aprovechamiento (%)</p> <p>N.P.: No procede</p>														
<p>Comprobaciones que no proceden (N.P.):</p> <p>⁽¹⁾ La comprobación no procede, ya que no hay axil de tracción.</p> <p>⁽²⁾ La comprobación no procede, ya que no hay momento torsor.</p> <p>⁽³⁾ No hay interacción entre momento torsor y esfuerzo cortante para ninguna combinación. Por lo tanto, la comprobación no procede.</p>														